

RÉPUBLIQUE DU SÉNÉGAL



ÉCOLE POLYTECHNIQUE DE THIÈS

PROJET
DE
FIN D'ÉTUDES

Sm. 0628

Titre Etude analytique et numérique de l'écou-
lement radial entre disques coaxiaux

Auteur Mohamadou L. DIALLO

Génie Mécanique

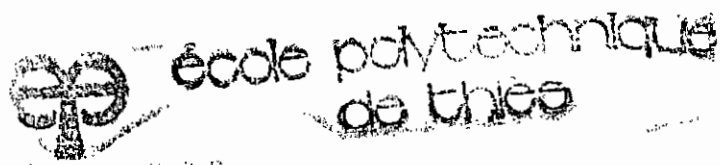
Date JUIN 1984

Gm.0618

ETUDE ANALYTIQUE
ET
NUMERIQUE DE L'ECOU-
LEMENT RADIAL ENTRE
DISQUES COAXIAUX

par Mohamadou
Lamine
DIALLO

sous la direction de
Mr Dinh VO NGOC
Professeur à L'E.P.T.



o — Mai - 1984 — o

DEDICACES

Ce travail est dédié :

- à mon père ,
- qui a toujours voulu me voir participer à l'effort
- des hommes
- à la mémoire de Mame Amy Fall ,
- brutalement ravi à notre affection, hélas Cette
perle de bonté qui a parié ma vie de tant de
tendresse maternelle
- à Pierre N'biaye, Bacary Thiaw, N'Deye
- Coumba Bā pour leur constante préoccupa-
- tion quant à ma réussite scolaire
- à Cheikh Lichia Bā , gratitude et
- attachement indéfectible.
- à ma mère, mes frères et sœurs pour
mon attachement à l'euphonie familiale
- à tous mes amis.

REMERCIEMENTS

Je tiens en premier à exprimer toute ma reconnaissance, à mon directeur de projet, Monsieur le professeur DINH VO NGOC pour son aide et pour avoir bien voulu accepter de diriger mon projet de fin d'études. Qu'il sache combien son expérience de la recherche scientifique, ses précieux remarques et conseils m'ont été utiles dans la présentation finale de cette étude.

Qu'il me soit permis de remercier Monsieur Christian Lina Diatta, professeur à l'Université de Dakar pour ses suggestions utiles, pour les échanges fructueux que nous avons eus pour le problème étudié.

SOMMAIRE

Nous présentons dans le cadre de ce projet, une étude analytique et numérique sur l'écoulement laminaire, radial d'un fluide visqueux incompressible entre deux disques coaxiaux. L'un d'eux est maintenu fixe tandis que l'autre tourne à une vitesse angulaire constante.

Par une hypothèse du type Von-Kármán sur l'indépendance de la vitesse axiale par rapport à la coordonnée radiale, nous ramenons les équations complexes du problème étudié en un système d'équations différentielles à une seule variable.

Les résultats obtenus par la méthode analytique, présentée, montrent une bonne concordance avec ceux obtenus numériquement pour des Reynolds faibles (< 10).

La méthode numérique, pas-à-pas de Runge Kutta présentée avec la méthode des "tirs" nous a permis d'atteindre des Reynolds de l'ordre 80.

II-1	Obtention du système	14
II-2	Recherche de la solution	15
II-3	Resultats et discussion	18
<u>CHAPITRE III</u> : ANALYSE DU PROBLEME PAR DEUX METHODES NUMERIQUES		26
III-1	Methode de Runge Kutta	26
III-1-1	Transformation du système	27
III-1-2	Formulation de la méthode des tirs	28
III-2	Methode des differences finies	31
III-2-1	Principe de la méthode	31
III-2-2	schema en differences finies	31
III-2-3	Méthode de Newton	33
<u>CHAPITRE IV</u> RESULTATS NUMERIQUES ET DISCUSSION		38
IV-1	RESULTATS DE LA METHODE DE RUNGE KUTTA	38
IV-2	DISCUSSION	71
CONCLUSION		78
ANNEXE		
A-	Reduction des equations de base	81
B1-	Formulation de Runge Kutta	87
B2-	ORGANIGRAMME sommaire du programme linéaire	88
B3-	Organigramme du sous programme Kutta.	89
B4-	Organigramme du sous programme Gauss	90

B5 - ORGANIGRAMME du sous programme	
Runge Kutta 4 ^e Ordre	92
C. Organigramme du programme: Methode	
iterative de Newton	93
D: Listing du programme : Methode de Runge	
Kutta avec Tirs	95
E: Listing du programme : Methode des	
différences finies	102
BIBLIOGRAPHIE	108

LISTE DES FIGURES

Figure 1: Configuration du problème

Figures 2, 3, 4: Comparaison des résultats numériques avec ceux de la méthode de développement en série

Figures 5, 6, 7: Influence du pas Δz sur les fonctions f, f', g .

Figure 8: Evolution de $f''(0), g'(0), f'''(0)$ en fonction de Reynolds.

Figure 9: Répartition de $g(z)$ en fonction de Reynolds

Figure 10: Répartition de $f(z)$ pour le Reynolds 80

Figure 11: Répartition de $f'(z)$ pour le Reynolds 80

Figure 12: Répartition de $g(z)$ pour le Reynolds 80

Figure 13: Répartition de $f''(z)$ en fonction de Reynolds

Figures 14, 15: évolution de l'épaisseur de la couche limite au voisinage des disques

Figure 16: Direction de l'écoulement radial dans un plan.

NOTATIONS

a distance entre les disques

$\bar{r}, \bar{\theta}, \bar{z}$ coordonnées cylindrique.

Ω vitesse de rotation du disque tournant

$\bar{u}, \bar{v}, \bar{w}$ composante radiale, tangentielle, axiale de la vitesse dimensionnelle.

u, v, w , composante radiale, tangentielle et axiale de la vitesse adimensionnelle respectivement égale à: $\frac{\bar{u}a}{\nu}, \frac{\bar{v}a}{\nu}, \frac{\bar{w}a}{\nu}$

Re ρ nombre de Reynolds de rotation

f, g solution du problème, fonction de z

\bar{P} pression dimensionnelle

P pression adimensionnelle, $P = \frac{a^2}{\rho \nu^2} \bar{P}$

ρ masse volumique du fluide

μ, ν coefficient de viscosité dynamique et cinématique

∂ dérivée partielle

MRK Méthode de Runge Kutta avec "Tirs"

MDF Méthode des différences finies

MDS Méthode de développement en série

Φ, Ψ, ξ fonction déterminant la répartition de pression

δ_0, δ_1 épaisseur de la couche limite

ϵ_1, ϵ_2 critère d'arrêt

Δz accroissement de z

\bar{f}, \bar{g} fonctions exactes

INTRODUCTION

Nous nous proposons d'étudier l'écoulement laminaire radial d'un fluide visqueux incompressible entre deux disques coaxiaux ; l'un des disques tourne à une vitesse angulaire constante, et l'autre fixe.

En plus d'un intérêt pratique dans l'étude des pompes et compresseurs à entraînement visqueux, les paliers à air et lubrifiés fluides pour ne citer ceux-là, ce type de problème est d'un grand intérêt théorique car il permet d'obtenir des solutions dites "exactes" des équations de Navier-Stokes, d'où les techniques de résolution analytique et numérique d'un système d'équations différentielles non linéaires.

Les problèmes d'écoulements radiaux ont été étudiés pour différentes configurations limites. Les résultats fournis par ces auteurs [1] à [3] nous informent sur une multiplicité des solutions obtenues.

Nous notons que ces solutions sont fonction de l'algorithme numérique utilisé.

Dans le premier chapitre, nous nous intéresserons à la formulation du problème. Les équations complexes de Navier-Stokes seront transformées en équations

réduites moyennant l'hypothèse de Von Kármán

Dans les chapitres qui suivent le premier, l'étude a été conduite analytiquement, puis numériquement dans le cas stationnaire :

- analytiquement par une méthode de développement en série

- numériquement, d'une part par la méthode des différences finies, et d'autre part par la méthode de Runge Kutta, présentée avec la méthode dite des "tirs" pour obtenir les conditions initiales manquantes,

On discutera plus particulièrement cette dernière méthode, des solutions qu'elle fournit en comparant les résultats à ceux du développement en série.

CHAPITRE - I.

FORMULATION^{DU} PROBLEME

CHAPITRE- I

FORMULATION DU PROBLEME

I-1. GENERALITES

- On considère un fluide visqueux isotherme et incompressible entre deux disques parallèles, coaxiaux, de côtes respectives $z = 0$ et $z = a$ (a est la distance entre les deux disques). Le disque inférieur est supposé fixe et le disque supérieur tourne avec une vitesse angulaire constante Ω .

I-2. MODELISATION - EQUATIONS DE BASE REGISSANT LE PROBLEME

L'écoulement global supposé laminaire est régi par les équations de Navier-Stokes en stationnaire.

En tenant compte de la symétrie de révolution du problème, nous utilisons les coordonnées cylindriques $(\bar{r}, \bar{\theta}, \bar{z})$ comme système de référence, fixe par rapport au fluide, son origine coïncidera avec le centre du disque fixe (fig 1)

On appelle respectivement $\bar{u}, \bar{v}, \bar{w}$, les composantes radiale, tangentielle et axiale de la vitesse ; \bar{p} sera la pression statique.

En négligeant les forces extérieures, les équations de Navier-Stokes peuvent s'écrire, dans le cas stationnaire comme suit :

$$\bar{u} \frac{\partial \bar{u}}{\partial \bar{r}} + \bar{w} \frac{\partial \bar{u}}{\partial \bar{z}} - \frac{v^2}{r} = -\frac{1}{\rho} \frac{\partial \bar{p}}{\partial \bar{r}} + \nu \left[\frac{\partial^2 \bar{u}}{\partial \bar{r}^2} + \frac{\partial}{\partial \bar{r}} \left(\frac{\bar{u}}{\bar{r}} \right) + \frac{\partial^2 \bar{u}}{\partial \bar{z}^2} \right] \quad (I-1-1)$$

$$\bar{u} \frac{\partial \bar{v}}{\partial \bar{r}} + \bar{w} \frac{\partial \bar{v}}{\partial \bar{z}} - \frac{\bar{u}\bar{v}}{\bar{r}} = \nu \left[\frac{\partial^2 \bar{v}}{\partial \bar{r}^2} + \frac{\partial}{\partial \bar{r}} \left(\frac{\bar{v}}{\bar{r}} \right) + \frac{\partial^2 \bar{v}}{\partial \bar{z}^2} \right] \quad (I-1-2)$$

$$\bar{u} \frac{\partial \bar{w}}{\partial \bar{r}} + \bar{w} \frac{\partial \bar{w}}{\partial \bar{z}} = -\frac{1}{\rho} \frac{\partial \bar{p}}{\partial \bar{z}} + \nu \left[\frac{\partial^2 \bar{w}}{\partial \bar{r}^2} + \frac{1}{\bar{r}} \frac{\partial \bar{w}}{\partial \bar{r}} + \frac{\partial^2 \bar{w}}{\partial \bar{z}^2} \right] \quad (I-1-3)$$

- Equation de continuité :

$$\frac{\partial \bar{r}\bar{u}}{\partial \bar{r}} + \frac{\partial \bar{r}\bar{w}}{\partial \bar{z}} = 0 \quad (I-2)$$

avec les conditions aux limites (conditions de non glissement aux parois):

$$z = 0 \quad \bar{u} = \bar{v} = \bar{w} = 0 \quad (I-3-1)$$

$$z = a \quad \bar{u} = \bar{w} = 0 \text{ et } \bar{v} = \bar{r}\Omega \quad (I-3-2)$$

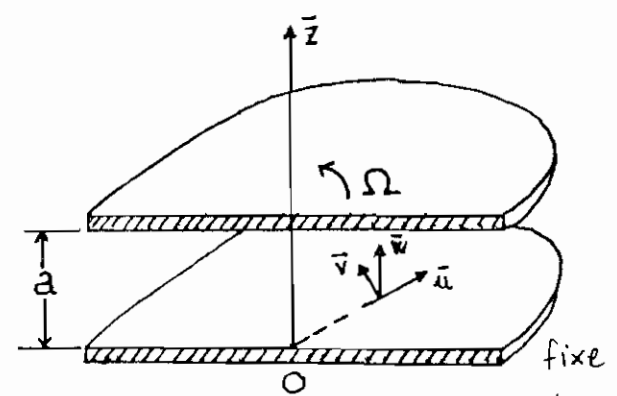


Fig. 1 Configuration du problème

Il serait très fastidieux de travailler directement sur les équations de Navier-Stokes dimensionnelles. Donc il va falloir d'abord rendre les équations ci-dessus adimensionnelles, ensuite les réduire par l'introduction de certaines hypothèses que nous préciserons plus loin.

I-3 OBTENTION DES EQUATIONS ADIMENSIONNELLES

Les équations adimensionnelles s'obtiennent en rapportant les variables du problème à des grandeurs de référence choisies convenablement. Selon le choix de ces grandeurs le nombre de Reynolds intervient soit dans le système d'équations, soit dans les conditions aux limites.

I-3-1 Grandeurs de Référence :

Nous avons choisi : a (la distance entre les disques) comme longueur de référence, $\frac{V}{a}$ comme vitesse de référence et $\rho \frac{V^2}{a^2}$ comme pression de référence.

Nous prenons donc pour les variables sans dimensions :

$$r = \frac{\bar{r}}{a}, \quad z = \frac{\bar{z}}{a}$$

$$u = \bar{u} \frac{a}{V}, \quad v = \bar{v} \frac{a}{V}, \quad w = \bar{w} \frac{a}{V} \quad (\text{I-4})$$

$$p = \bar{p} \frac{a^2}{\rho V^2}$$

I-3-2 Equations adimensionnelles

Avec nos nouvelles variables, le système d'équations (I-1) et l'équation (I-2) s'écrivent :

$$u \frac{\partial u}{\partial r} + w \frac{\partial u}{\partial z} - \frac{V^2}{r} = - \frac{\partial p}{\partial r} + \frac{\partial^2 u}{\partial r^2} + \frac{\partial}{\partial r} \left(\frac{u}{r} \right) + \frac{\partial^2 u}{\partial z^2} \quad (\text{I-5-1})$$

$$u \frac{\partial v}{\partial r} + w \frac{\partial v}{\partial z} + \frac{u v}{r} = \frac{\partial^2 v}{\partial r^2} + \frac{\partial}{\partial r} \left(\frac{v}{r} \right) + \frac{\partial^2 v}{\partial z^2} \quad (\text{I-5-2}) \quad (\text{I-5})$$

$$u \frac{\partial w}{\partial r} + w \frac{\partial w}{\partial z} = - \frac{\partial p}{\partial z} + \frac{\partial^2 w}{\partial r^2} + \frac{1}{r} \frac{\partial w}{\partial r} + \frac{\partial^2 w}{\partial z^2} \quad (\text{I-5-3})$$

et l'équation de continuité :

$$\frac{\partial r u}{\partial r} + \frac{\partial w}{\partial z} = 0 \quad (\text{I-6})$$

Les conditions aux limites (I-3) s'écrivent alors:

$$\begin{aligned} z=0 & \quad u=v=w=0 \\ z=1 & \quad u=w=0 \quad \text{et} \quad v = r \frac{\partial^2 \Omega}{\partial r^2} = r Rero \end{aligned} \quad (I-7)$$

Ce choix de grandeurs adimensionnelles fait intervenir le paramètre $Rero$ appelé: Nombre de Reynolds de Rotation:

$$Rero = \frac{\partial^2 \Omega}{\partial r^2}$$

L'étude théorique de ce problème revient à résoudre un système d'équations aux dérivées partielles dépendant des variables spatiales r et z . Ce qui nécessite la connaissance des fonctions inconnues sur le contour du domaine.

Or, dans notre cas, on ne connaît rien sur le contour extérieur des disques en ce qui concerne la vitesse.

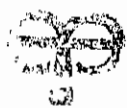
Par une hypothèse du type von-Kármán sur l'indépendance de la vitesse axiale par rapport à la coordonnée radiale, le problème se ramène, comme nous allons le voir dans les paragraphes suivants, à la seule variable z .

I-4 REDUCTION DES EQUATIONS ADIMENSIONNELLES

I-4-1 Hypothese de von-Kármán

On introduit l'hypothèse de von-Kármán en supposant la composante axiale de la vitesse, w , ne dépend que de la variable z , donc indépendante de la coordonnée radiale r , soit:

$$w = f(z). \quad (I-8)$$



I-4-2 Equations reduites et conditions aux limites

De l'équation (I-8) soit $w = f(z)$,
 - on tire de l'équation de continuité (I-6), l'expression de u est:

$$u = -\frac{r}{2} \frac{\partial w}{\partial z} \implies u = -\frac{r}{2} f'(z) \quad (\text{I-9})$$

[ANNEXE A]

La vitesse tangentielle, d'après (I-5-2) est alors de la forme :

$$v = r g(z) \quad (\text{I-10})$$

- En introduisant (I-8), (I-9) et (I-10) dans le système (I-5) et après élimination de la pression p dans (I-5-1) et (I-5-3) on obtient le système suivant :

$$f f_{z^3}''' + 4g g_z' - \frac{p}{r} \frac{\bar{v}}{z^4} = 0 \quad (\text{I-11-1})$$

$$f g_z' - f g_z' - g_{z^2}'' = 0 \quad (\text{I-11-2})$$

avec les conditions aux limites:

$$z=0 \quad f(0) = g(0) = f'(0) = 0 \quad (\text{I-12-1})$$

$$z=1 \quad f(1) = f'(1) = 0 \text{ et } g(1) = 0 \quad (\text{I-12-2})$$

I-4-3 Calcul de la pression et du frottement

I-4-3-1 Repartition des pressions

La connaissance de f et g permettra de déterminer la pression p .

En effet, en introduisant, les valeurs de u, v, w en fonction de $f(z), g(z)$ dans l'équation (I-5-3) que nous rappelons :

$$u \frac{\partial w}{\partial r} + \bar{w} \frac{\partial u}{\partial z} = -\frac{\partial P}{\partial z} + \frac{\partial^2 w}{\partial r^2} + \frac{1}{r} \frac{\partial w}{\partial r} + \frac{\partial^2 w}{\partial z^2}$$

nous obtenons vu que $\frac{\partial w}{\partial r} = \frac{\partial^2 w}{\partial r^2} = 0$:

$$f f' = -\frac{\partial P}{\partial z} + f''$$

$$\hookrightarrow \frac{\partial P}{\partial z} = f'' - f f'$$

$$\text{Finalement } \frac{\partial^2 P}{\partial r \partial z} = 0 \quad (\text{I-13})$$

$$\text{Soit } P = \phi(r) + \psi(z)$$

- De l'équation (I-5-1), dans laquelle, on remplace les composantes u, v, w par leurs valeurs en fonction de $f(z), g(z)$, on tire

$$\cdot u \frac{\partial u}{\partial r} = \left(-\frac{r}{2} f'\right) \left(-\frac{1}{2} f'\right) = \frac{r}{4} (f')^2$$

$$\cdot w \frac{\partial u}{\partial z} = -f f''$$

$$\cdot \frac{v^2}{r} = r g^2$$

$$\cdot \frac{\partial}{\partial r} \left[\frac{\partial u}{\partial r} + \frac{u}{r} \right] = 0$$

$$\cdot \frac{\partial^2 u}{\partial z^2} = -\frac{v}{2} f''$$

$$\text{Finalement } \frac{\partial P}{\partial r} = \phi' = \frac{r}{2} \left[f f'' + 2g^2 - \frac{1}{2} (f')^2 - f''' \right]$$

Soit le produit de r par une expression indépendante de r .

$$\frac{\partial P}{\partial r} = \phi' = r \xi(z)$$

- avec $\xi(z) = \frac{1}{2} [ff'' + 2g^2 - \frac{1}{2}(f')^2 - f''']$

- En intégrant par rapport à r , on arrive à :

$$\phi(r) = \frac{r^2}{2} \xi(z) + \text{cte}, \quad (\text{I-14})$$

$\xi(z) = \text{cte}$ - compte tenu du fait ϕ n'est fonction que de r .

En effet :

$$\frac{\partial \xi}{\partial z}(z) = \frac{1}{2} [f'f'' + ff''' + 4gg' - ff'' - f^{IV}]$$

$$\hookrightarrow \xi' = \frac{1}{2} (ff''' + 4gg' - f^{IV})$$

- donc ξ' est le produit de $\frac{1}{2}$ et du premier membre de l'équation (I-11-1)

- d'où $\xi' = 0$

- Ce qui implique $\xi(z)$ est une constante qui ne pourrait dépendre que du nombre de Reynolds.

- De la même manière que ci-dessus, de l'équation (I-5-3), on tire :

$$\frac{\partial P}{\partial z} = \psi' = f'' - ff' = f'' - \frac{1}{2}(f^2)' = \frac{\partial}{\partial z} (f' - \frac{1}{2}f^2)$$

- Et par intégration par rapport à z , on obtient :

$$\psi = f' - \frac{1}{2}f^2 + \text{cte}_2$$

Ainsi la pression p a pour expression :

$$P(r, z) = \frac{r^2}{2} \xi(\text{Re}_0) + \psi(z) + \text{cte}$$

- avec $\xi(\text{Re}_0) = \frac{1}{2} [ff'' + 2g' - \frac{1}{2}(f')^2 - f''']$

Cette pression s'écrit :

$$P(r, z) = \frac{r^2}{2} \{ (R_{\text{ero}}) + P(0, z) \}$$

En appelant $P(0, z)$, la pression en $r=0$ à la côte z .

Cette loi, parabolique de la pression reste la même quelle que soit la côte z .

I - 4 - 3 - 2 Frottement pariétal

Les composantes du frottement pariétal sont déterminées à partir des fonctions f et g . En effet, la composante tangentielle $\tau_{z\bar{\theta}} = \mu \frac{\partial v}{\partial z}$ est proportionnelle à g'

et la composante radiale $\tau_{z\bar{r}} = \mu \frac{\partial u}{\partial z}$ proportionnelle à f'' .

Compte tenu du fait que $r = \frac{z}{a}$, $v = \frac{\sqrt{a}}{r}$, $u = \frac{\bar{u}a}{r}$

$$\text{et } \mu = \nu \rho$$

$$\tau_{z\bar{\theta}} = \rho \frac{\nu^2}{a^2} \frac{\partial v}{\partial z} = \rho \frac{\nu^2}{a^2} r g'(z) \text{ à } z=0 \text{ ou } z=1$$

$$\tau_{z\bar{r}} = \rho \frac{\nu^2}{a^2} \frac{\partial u}{\partial z} = -\frac{1}{2} \rho \frac{\nu^2}{a^2} r f''(z) \text{ à } z=0 \text{ ou } z=1$$

Donc les moments des forces agissant sur les disques sont respectivement proportionnels à $g'(0)$ et $g'(1)$ [4]

Évaluons, ces moments :

La contribution d'un anneau élémentaire de largeur dr et de rayon r est :

$$dM = -2\pi r dr (r \tau_{z\bar{\theta}})$$

$$\text{d'où } M = -2\pi \int_0^R r^2 \tau_{z\bar{\theta}} dr$$

avec $\tau_{z\theta} = \rho \frac{v^2}{a^2} r g'(z)$

Par suite $M = -2\pi \rho \frac{v^2}{a^2} g'(z) \int_0^R r^3 dr$

$$M = -\frac{\pi R^4 \rho v^2}{2 a^2} g'(z)$$

Soit pour le disque fixe :

$$M = -\frac{\pi R^4 \rho v^2}{2 a^2} g'(0)$$

CHAPITRE - II

RESOLUTION ANALYTIQUE
DU SYSTEME D'EQUATIONS
REDUITES

CHAPITRE - II

RESOLUTION ANALYTIQUE DU SYSTEME D'EQUATIONS REDUITES

METHODE DE DEVELOPPEMENT EN SERIE ENTIERE

Le travail se ramenera à supposer une solution sous forme d'un développement en série entière du nombre de Reynolds de rotation pour les fonctions $f(z)$ et $g(z)$, soit :

$$f(z) = \sum_{i=1}^{\infty} \text{Re} \rho^i f_i(z) \quad (\text{II-1})$$

$$\text{et } g(z) = \sum_{i=1}^{\infty} \text{Re} \rho^i g_i(z)$$

Les conditions aux limites (I-12) s'expriment alors par :

$$f_i(0) = g_i(0) = f_i'(0) = 0 \quad \forall i \geq 1$$

$$f_i(1) = f_i'(1) = 0 \quad \forall i \geq 1$$

$$g_1(1) = 1 \quad \text{et} \quad g_i(1) = 0 \quad \forall i \geq 2$$

II-1 OBTENTION DES SYSTEMES :

On substitue (II-1) dans (I-12)

- En utilisant le résultat du produit de deux séries,

- c'est à dire pour $A = a_1 + a_2 + \dots$

et $B = b_1 + b_2 + \dots$, $AB = a_1 b_1 + (a_1 b_2 + a_2 b_1) + \dots$

il vient:

$$f^{IV} = \text{Rero } f_1^{IV} + \text{Rero}^2 f_2^{IV} + \text{Rero}^3 f_3^{IV} + \dots$$

$$ff''' = \text{Rero}^2 (f_1 f_1''') + \text{Rero}^3 (f_1 f_2''' + f_2 f_1''') + \text{Rero}^4 (f_1 f_3''' + f_2 f_2''' + f_3 f_1''') + \dots$$

$$gg' = \text{Rero}^2 (g_1 g_1') + \text{Rero}^3 (g_1 g_2' + g_2 g_1') + \text{Rero}^4 (g_1 g_3' + g_2 g_2' + g_3 g_1') + \dots$$

$$fg' = \text{Rero}^2 (f_1 g_1') + \text{Rero}^3 (f_1 g_2' + f_2 g_1') + \text{Rero}^4 (f_1 g_3' + f_2 g_2' + f_3 g_1') + \dots$$

$$g'' = \text{Rero } g_1'' + \text{Rero}^2 g_2'' + \text{Rero}^3 g_3'' + \dots$$

Ainsi le système (I-12) devient:

$$\text{Rero } f_1^{IV} + \text{Rero}^2 (f_2^{IV} - f_1 f_1''' - 4gg_1') + \text{Rero}^3 (f_3^{IV} - f_1 f_2''' - f_2 f_1''' - 4gg_2' - 4g_2 g_1') + \text{Rero}^4 (\quad) + \dots = 0 \quad (\text{II-3-1})$$

$$- \text{Rero} (g_1'') + \text{Rero}^2 (f_1 g_1' - f_1' g_1 - g_2'') + \text{Rero}^3 (f_1 g_2' + f_2 g_1' - f_1' g_2 - f_2' g_1 - g_3'') + \text{Rero}^4 (\quad) + \dots = 0 \quad (\text{II-3-2})$$

II-2 RECHERCHE DE LA SOLUTION

ORDRE 1:

$$\begin{cases} \text{Rero } f_1^{IV} = 0 \\ - \text{Rero } g_1'' = 0 \end{cases}$$

Avec les conditions initiales précises dans II-2, c'est à

- dire :

$$f_1(0) = f_1'(0) = g_1(0) = f_1(1) = f_1'(1) = 0$$

et $g_1(1) = 1$

- d'où
$$\begin{cases} f_1^{IV} = 0 \\ g_1'' = 0 \end{cases}$$

- Le système fournit comme solution, en tenant compte des conditions aux limites :

$$\begin{cases} f_1 = 0 \\ g_1 = 0 \end{cases}$$

ORDRE 2:

Le système est le suivant :

$$\begin{cases} \text{Re} \sigma^2 (f_2^{IV} - f_1 f_1''' - 4g_1 g_1') = 0 \\ \text{Re} \sigma^2 (f_1 g_1' - f_1' g_1 - g_2'') = 0 \end{cases}$$

- avec les conditions aux limites :

$$\begin{cases} f_2(0) = f_2(1) = f_2'(0) = f_2'(1) = 0 \\ g_2(0) = g_2(1) = 0 \end{cases}$$

d'où
$$\begin{cases} f_2^{IV} - 4z = 0 \\ g_2'' = 0 \end{cases}$$

et par suite, en tenant compte des conditions aux limites :

$$\begin{cases} f_2 = \frac{z^5}{30} - \frac{3z^3}{30} + \frac{2z^2}{30} \\ g_2 = 0 \end{cases}$$

Ce qui équivaut à :

$$\begin{cases} f_2 = \frac{z^2}{30} (z-1)(z^2+z-2) \\ g_2 = 0 \end{cases}$$

- car $\frac{z^2}{30} (z^3 - 3z + 2) = \frac{z^2}{30} (z^3 - 2z - z + 2) = \frac{z^2}{30} (z-1)(z^2+z-2)$

ORDRE 3 :

Le système à résoudre est le suivant :

$$\begin{cases} f_3'' = 0 \\ f_2 g_1' - f_2' g_1 - g_3'' = 0 \end{cases}$$

- avec les conditions aux limites :

$$\begin{cases} f_3(0) = f_3'(0) = f_3(1) = f_3'(1) = 0 \\ g_3(0) = g_3(1) = 0 \end{cases}$$

Le système fournit la solution suivante :

$$\begin{cases} f_3 = 0 \\ g_3 = \frac{z}{5} \left(-\frac{z^6}{63} + \frac{z^4}{20} - \frac{z^3}{36} - \frac{2}{315} \right) = \frac{z}{5} (z-1) \left(-\frac{z^5}{63} - \frac{z^4}{63} + \frac{43z^3}{1260} + \frac{2}{315} (z^2+z+1) \right) \end{cases}$$

En calculant de proche en proche les fonctions f_i et g_i nous pouvons exprimer les grandeurs caractéristiques de l'écoulement. Ces grandeurs dépendent du nombre de Reynolds de rotation. Soit :

$$f = \frac{Re_0^2}{30} z^2 (z-1) (z^2 + z - 2) + Re_0^4 (\quad) + \dots$$

$$g = Re_0 z + \frac{Re_0^3}{5} z (z-1) \left(-\frac{z^5}{63} - \frac{z^4}{63} + \frac{43z^3}{1260} + \frac{2}{315} (z^2 + z + 1) \right) + \dots$$

II-3 RESULTATS* ET DISCUSSION

L'étude analytique, présentée, bien que fournissant une solution mathématiquement exacte ne donne des résultats convenables que pour de faibles Reynolds ($Re_0 < 10$), ceci en raison du nombre limité de termes calculables (on s'est limité au calcul jusqu'à la 3^e puissance).

Ainsi pour des Reynolds inférieurs à 10, ces résultats concordent avec les résultats numériques parfaitement (cf. Figures 2, 3, 4).

Pour ces faibles Reynolds, la fonction g varie linéairement

(*) Le listing du programme et les résultats tabulés se trouvent aux pages suivantes.

```

00010 BEGIN
00020 REM METHODE DE DEVELOPPEMENT EN SERIE
00030 PRECISION 6
00040 LET Z=0
00050 CLOSE (6)
00060 OPEN (6) "LP"
00070 PRINT (6) "METHODE DE DEVELOPPEMENT EN SERIE"
00080 PRINT (6) "===== == ====="
00090 INPUT (0,ERR=00090) "REYNOLDS",R0
00100 PRINT (6) à(2),"Rero=",à(7),R0
00110 PRINT (6)
00120 PRINT (6)
00130 PRINT (6) à(1),"-----"
00140 PRINT (6) "!",à(3),"Z",à(6),"!",à(12),"f",à(17),"!",à(23),"f",à(28),"!"
00140 " ",à(33),"g",à(40),"!"
00150 PRINT (6) à(1),"-----"
00160 DEF FNF(Z)=R0**2*Z**2*(Z-1)*(Z**2+Z-2)/30
00170 LET F=FNF(Z)
00180 DEF FNP(Z)=R0**2*(5*Z**4-9*Z**2+4*Z)/30
00190 LET F1=FNP(Z)
00200 DEF FNG(Z)=R0*Z+R0**3*Z*(Z-1)*((-Z**5/63))-Z**4/63+43*Z**3/1260+2*(Z**
00200 2+Z+1)/315)/5
00210 LET G=FNG(Z)
00220 PRINT (6) "!",à(1),Z,à(6),"!",à(7),F,à(17),"!",à(18),F1,à(28),"!",à(29)
00220 " ",G,à(40),"!"
00230 LET Z=Z+.025
00240 IF Z<=1 THEN GOTO 00160
00250 PRINT (6) à(1),"-----"
00260 CLOSE (6)
00270 END

```

METHODE DE DEVELOPPEMENT EN SERIE

=====

Rero= 10

Z	f	f'	g
0	0	0	0
.025	.00401	.314583	.218249
.05	.015418	.591767	.436473
.075	.033289	.831783	.654623
.1	.0567	1.035	.87256
.125	.084737	1.201983	1.090203
.15	.116503	1.333433	1.307475
.175	.15112	1.430217	1.524197
.2	.187733	1.493333	1.740288
.225	.225516	1.523967	1.955725
.25	.263672	1.523433	2.17045
.275	.301441	1.493233	2.384386
.3	.3381	1.435	2.597724
.325	.372972	1.350533	2.810372
.35	.405424	1.241767	3.022659
.375	.434876	1.110833	3.234797
.4	.4608	.96	3.44704
.425	.482730	.791667	3.659785
.45	.500259	.608433	3.873429
.475	.51305	.413033	4.088508
.5	.520833	.208333	4.30555
.525	.523415	-.0026	4.525216
.55	.520678	-.216567	4.748144
.575	.512589	-.4302	4.975136
.6	.4992	-.64	5.206848
.625	.480652	-.842283	5.444031
.65	.45718	-1.033233	5.687552
.675	.429118	-1.20885	5.938093
.7	.3969	-1.365	6.196456
.725	.361066	-1.497383	6.463226
.75	.322266	-1.601567	6.739087
.775	.281261	-1.672917	7.024426
.8	.238933	-1.706667	7.319616
.825	.196282	-1.697917	7.62477
.85	.154434	-1.641567	7.939969
.875	.114644	-1.532383	8.264747
.9	.0783	-1.365	8.598636
.925	.046926	-1.13385	8.940657
.95	.022186	-.833233	9.28948
.975	.005892	-.457283	9.643354
1	0	0	10

Tableau II-1

METHODE DE DEVELOPPEMENT EN SERIE

Re₀ = 1

z	f	f'	g
0	0	0	0
.025	.000004	.003146	.024968
.05	.000154	.005918	.049936
.075	.000333	.008318	.074905
.1	.000567	.01035	.099873
.125	.000847	.012020	.12484
.15	.001165	.013334	.149807
.175	.001511	.014302	.174774
.2	.001877	.014933	.19974
.225	.002255	.015240	.224706
.25	.002637	.015234	.24967
.275	.003014	.014932	.274634
.3	.003381	.01435	.299598
.325	.003730	.013505	.32456
.35	.004054	.012418	.349523
.375	.004349	.011108	.374485
.4	.004608	.0096	.399447
.425	.004827	.007917	.42441
.45	.005003	.006084	.449373
.475	.005131	.00413	.474339
.5	.005208	.002083	.499306
.525	.005234	-.000026	.524275
.55	.005207	-.002166	.549248
.575	.005126	-.004302	.574225
.6	.004992	-.0064	.599207
.625	.004807	-.008423	.624194
.65	.004572	-.010332	.649188
.675	.004291	-.012089	.674188
.7	.003969	-.01365	.699196
.725	.003611	-.014974	.724213
.75	.003223	-.016016	.749239
.775	.002813	-.016729	.774274
.8	.002389	-.017067	.79932
.825	.001963	-.016979	.824375
.85	.001544	-.016416	.84944
.875	.001146	-.015324	.874515
.9	.000783	-.01365	.899599
.925	.000469	-.011339	.924691
.95	.000222	-.008332	.949789
.975	.000059	-.004573	.974893
1	0	0	1

Tableau II-2

21 bis

METHODE DE DEVELOPPEMENT EN SERIE

=====
 Rero= 2

Z	f	f'	g
0	0	0	0
.025	.00016	.012583	.049746
.05	.000617	.023671	.099492
.075	.001332	.033271	.149237
.1	.002268	.0414	.19898
.125	.003390	.048079	.248722
.15	.00466	.053337	.29846
.175	.006045	.057209	.348194
.2	.007509	.059733	.397922
.225	.009021	.060959	.447646
.25	.010547	.060937	.497364
.275	.012058	.059729	.547075
.3	.013524	.0574	.596782
.325	.014919	.054021	.646483
.35	.016217	.049671	.696181
.375	.017395	.044433	.745878
.4	.018432	.0384	.795576
.425	.019309	.031667	.845278
.45	.02001	.024337	.894987
.475	.020522	.016521	.944708
.5	.020833	.008333	.994444
.525	.020937	-.000104	1.044202
.55	.020827	-.008663	1.093985
.575	.020504	-.017208	1.143801
.6	.019968	-.0256	1.193655
.625	.019226	-.033691	1.243552
.65	.018287	-.041329	1.2935
.675	.017165	-.048354	1.343505
.7	.015876	-.0546	1.393572
.725	.014443	-.059895	1.443706
.75	.012891	-.064063	1.493913
.775	.01125	-.066917	1.544195
.8	.009557	-.068267	1.594557
.825	.007851	-.067917	1.644998
.85	.006177	-.065663	1.69552
.875	.004586	-.061295	1.746118
.9	.003132	-.0546	1.796789
.925	.001877	-.045354	1.847525
.95	.000887	-.033329	1.898316
.975	.000236	-.018291	1.949147
1	0	0	2

Tableau II-3

METHODE DE DEVELOPPEMENT EN SERIE

=====

Reto= 3

z	f	f'	g
0	0	0	0
.025	.000361	.028313	.074143
.05	.001388	.053259	.148285
.075	.002996	.074861	.222425
.1	.005103	.09315	.296559
.125	.007626	.108179	.370685
.15	.010485	.120009	.444802
.175	.013601	.128720	.518903
.2	.016896	.1344	.592988
.225	.020296	.137157	.667055
.25	.02373	.137109	.741102
.275	.027130	.134391	.815128
.3	.030429	.12915	.889139
.325	.033567	.121548	.96313
.35	.036488	.111759	1.037112
.375	.039139	.099975	1.11109
.4	.041472	.0864	1.18507
.425	.043446	.07125	1.259064
.45	.045023	.054759	1.333083
.475	.046175	.037173	1.40714
.5	.046875	.01875	1.48125
.525	.047107	-.000234	1.555431
.55	.046861	-.019491	1.6297
.575	.046133	-.038718	1.704079
.6	.044928	-.0576	1.778585
.625	.043259	-.075806	1.853239
.65	.041146	-.092991	1.928064
.675	.038621	-.108797	2.003079
.7	.035721	-.12285	2.078304
.725	.032496	-.134765	2.153757
.75	.029004	-.144141	2.229455
.775	.025314	-.150563	2.305409
.8	.021504	-.1536	2.38163
.825	.017665	-.152813	2.458119
.85	.013899	-.147741	2.534879
.875	.010318	-.137915	2.611898
.9	.007047	-.12285	2.689163
.925	.004223	-.102047	2.766648
.95	.001997	-.074991	2.844316
.975	.00053	-.041156	2.922121
1	0	0	3

Tableau II-4

METHODE DE DEVELOPPEMENT EN SERIE

=====

Rero= 4

Z	f	f'	g
0	0	0	0
.025	.000642	.050333	.097968
.05	.002467	.094683	.195934
.075	.005326	.133085	.293896
.1	.009072	.1656	.391844
.125	.013558	.192317	.489773
.15	.018641	.213349	.587678
.175	.024179	.228835	.685549
.2	.030037	.238933	.783378
.225	.036083	.243835	.881166
.25	.042188	.243749	.978909
.275	.04823	.238917	1.076601
.3	.054096	.2296	1.174254
.325	.059676	.216085	1.271864
.35	.064868	.198683	1.36945
.375	.06958	.177733	1.467027
.4	.073728	.1536	1.564611
.425	.077237	.126667	1.662226
.45	.080042	.097349	1.759899
.475	.082088	.066085	1.857665
.5	.083333	.033333	1.955555
.525	.083746	-.000416	2.053614
.55	.083309	-.034651	2.151881
.575	.082014	-.068832	2.250409
.6	.079872	-.1024	2.349238
.625	.076904	-.134765	2.448418
.65	.073149	-.165317	2.548003
.675	.068659	-.193416	2.648038
.7	.063504	-.2184	2.748573
.725	.057771	-.239581	2.849646
.75	.051563	-.256251	2.951302
.775	.045002	-.267667	3.053563
.8	.038229	-.273067	3.156455
.825	.031405	-.271667	3.259985
.85	.024710	-.262651	3.364158
.875	.018343	-.245181	3.468944
.9	.012528	-.2184	3.574313
.925	.007508	-.181416	3.680202
.95	.003550	-.133317	3.786527
.975	.000943	-.073165	3.893175
1	0	0	4

Tableau II-5

METHODE DE DEVELOPPEMENT EN SERIE

=====

Rero= 5

Z	f	f'	g
0	0	0	0
.025	.001003	.078646	121031
.05	.003854	.147942	242059
.075	.008322	.207946	363078
.1	.014175	.25875	48407
.125	.021184	.300496	605025
.15	.029126	.333358	725934
.175	.03778	.357554	846775
.2	.046933	.373333	967536
.225	.056379	.380992	1.088216
.25	.065918	.380858	1.208806
.275	.07536	.373308	1.329298
.3	.084525	.35875	1.449715
.325	.093243	.337633	1.570047
.35	.101356	.310442	1.690332
.375	.108719	.277708	1.8106
.4	.1152	.24	1.93088
.425	.120682	.197917	2.051223
.45	.125065	.152108	2.171679
.475	.128263	.103258	2.292313
.5	.130208	.052083	2.413194
.525	.130854	-.00065	2.534402
.55	.130170	-.054142	2.656018
.575	.128147	-.10755	2.778142
.6	.1248	-.16	2.900856
.625	.120163	-.210571	3.024254
.65	.114295	-.258308	3.148444
.675	.107280	-.302213	3.273512
.7	.099225	-.34125	3.399557
.725	.090267	-.374346	3.526653
.75	.080566	-.400392	3.654886
.775	.070315	-.418229	3.784303
.8	.059733	-.426667	3.914952
.825	.049071	-.424479	4.046846
.85	.038609	-.410392	4.179996
.875	.028661	-.383096	4.314343
.9	.019575	-.34125	4.449829
.925	.011731	-.283463	4.586332
.95	.005547	-.208308	4.723685
.975	.001473	-.114321	4.861669
1	0	0	5

Tableau II-6

CHAPITRE - III

ANALYSE DU PROBLEME PAR
DEUX METHODES NUMERI-
QUES

CHAPITRE : III.

ANALYSE DU PROBLEME PAR DEUX METHODES NUMERIQUES

Il y a à notre connaissance diverses méthodes numériques possibles pour résoudre le système d'équations (I-11) avec les conditions aux limites (I-12). Par exemple, la méthode des éléments finis [1] ou encore, celle du traitement direct des équations de Navier - Stokes dans un domaine borné.

Nous présenterons deux méthodes à savoir celle pas à pas basée sur le principe de Runge - Kutta et celle globale relativement simple basée sur la méthode itérative de Newton.

III-1 METHODE DE RUNGE-KUTTA

Cette méthode s'applique généralement pour la résolution d'un système d'équations du premier ordre à conditions initiales.

La méthode sera appliquée au système d'équations différentielles (I-11) avec les conditions aux limites (I-12) que nous rappelons :

$$\begin{cases} f^{IV} - f f^{III} - \Delta g g' = 0 & (\text{III-1-1}) \\ f g' - f' g - g'' = 0 & (\text{III-1-2}) \end{cases} \quad (\text{III-1})$$

avec les conditions aux limites :

$$\begin{cases} f(0) = g(0) = f'(0) = 0 & (\text{III-2-1}) \\ f(1) = f'(1) = 0, \quad g(1) = \text{Rero} & (\text{III-2-2}) \end{cases} \quad \text{III-2}$$

Afin de pouvoir appliquer la méthode, il faut ramener le système (III-1) à un système d'équations du premier ordre équivalent.

III-1-1 - Transformation du système

Nous posons les équivalences suivantes :

$$f \longrightarrow F_0 \quad (\text{III-3-1})$$

$$f' \longrightarrow \frac{dF_0}{dz} = F_1 \quad (\text{III-3-2})$$

$$f'' \longrightarrow \frac{dF_1}{dz} = F_2 \quad (\text{III-3-3})$$

$$f''' \longrightarrow \frac{dF_2}{dz} = F_3 \quad (\text{III-3-4}) \quad (\text{III-3})$$

$$f^{(IV)} \longrightarrow \frac{dF_3}{dz} = F_0 F_3 + 4 F_1 F_2 \quad (\text{III-3-5})$$

$$g \longrightarrow F_4 \quad (\text{III-3-6})$$

$$g' \longrightarrow \frac{dF_4}{dz} = F_5 \quad (\text{III-3-7})$$

$$g'' \longrightarrow \frac{dF_5}{dz} = F_0 F_5 - F_1 F_4 \quad (\text{III-3-8})$$

(III-3-5) et (III-3-8) sont obtenus en reportant (III-3) dans (II-1)

Avec la transformation précédente, les conditions aux limites s'écrivent :

$$z=0 \quad \begin{cases} F_0 = F_1 = F_4 = 0 \\ F_2, F_3, F_5 \text{ inconnues} \end{cases} \quad (\text{III-4})$$

$$z=1 \quad \begin{cases} F_0 = F_1 = 0 \\ F_4 = \text{Re} 0 \end{cases}$$

- avec une certaine erreur ϵ près que l'on impose à l'avance.

La résolution du système (II-3) par la méthode de Runge-Kutta nécessite en outre la connaissance des six conditions initiales $f(0), f'(0), f''(0), f'''(0), g(0), g'(0)$.

Or les conditions aux limites ne nous fournissent que trois de ces conditions à savoir $f(0), f'(0), g(0)$. Il nous faudra donc choisir convenablement les trois conditions manquantes afin d'atteindre les trois conditions finales ($x=1$) soit

$$f(1) = f'(1) = 0 \text{ et } g(1) = \text{Zero à l'erreur } \epsilon \text{ près.}$$

C'est la raison pour laquelle, nous avons besoin d'une méthode itérative supplémentaire, appelée, méthode des Tirs.

La résolution du système différentiel a été faite en utilisant la formule de Runge Kutta du 4^e Ordre [ANNEXE B1]

III-1-2 Formulation de la méthode des Tirs:

La méthode des tirs décrite ci-dessous permet des itérations successives, systématiques des conditions initiales manquantes $F_2(0), F_3(0)$ et $F_5(0)$ en approchant ces valeurs inconnues par des relations linéaires en vue de satisfaire les conditions finales $F_0(1), F_1(1)$ et $F_4(1)$.

Pour cela, on pose :

$$F_0(1) = a_0 F_2(0) + b_0 F_3(0) + c_0 F_5(0)$$

$$F_1(1) = a_1 F_2(0) + b_1 F_3(0) + c_1 F_5(0) \quad (\text{III-5})$$

$$F_4(1) = a_4 F_2(0) + b_4 F_3(0) + c_4 F_5(0)$$

On a 9 inconnues : $a_0, b_0, c_0, a_1, b_1, c_1, a_4, b_4, c_4$.
Il nous faut donc 9 équations qui sont données par trois

itérations consécutives, soit par exemple pour déterminer a_0, b_0, c_0 :

$$F_0^i(1) = a_0 F_2^i(0) + b_0 F_3^i(0) + c_0 F_5^i(0)$$

$$F_0^{i+1}(1) = a_0 F_2^{i+1}(0) + b_0 F_3^{i+1}(0) + c_0 F_5^{i+1}(0)$$

$$F_0^{i+2}(1) = a_0 F_2^{i+2}(0) + b_0 F_3^{i+2}(0) + c_0 F_5^{i+2}(0)$$

Pour commencer les calculs, il nous faut donner $F_2(0)$, $F_3(0)$ et $F_5(0)$ pour les trois premières itérations. Ces valeurs peuvent être fournies, approximativement par la méthode analytique. Les trois premières valeurs de $F_0(1)$ sont alors obtenues par la méthode de Runge Kutta. Les coefficients a_0, b_0, c_0 sont trouvés en résolvant le système (II-6)

De la même manière avec $F_1^i(1)$, $F_1^{i+1}(1)$, $F_1^{i+2}(1)$ on détermine a_1, b_1, c_1 ; avec $F_4^i(1)$, $F_4^{i+1}(1)$, $F_4^{i+2}(1)$ on trouve a_4, b_4, c_4 .

À partir de la 4^e itération $F_2(0)$, $F_3(0)$, $F_5(0)$ c'est à dire $f''(0)$, $f'''(0)$, $g'(0)$ seront calculés par la résolution du système ci-dessous étant donné la connaissance des a_i, b_i et c_i i variant de 1 à 3

$$F_0(1) = 0 = a_0 F_2^{i+3}(0) + b_0 F_3^{i+3}(0) + c_0 F_5^{i+3}(0)$$


$$F_1(1) = 0 = a_1 F_2^{i+3}(0) + b_1 F_3^{i+3}(0) + c_1 F_5^{i+3}(0)$$

$$F_4(1) = \text{Zero} = a_4 F_2^{i+3}(0) + b_4 F_3^{i+3}(0) + c_4 F_5^{i+3}(0)$$

où tous les coefficients $a_0, b_0, c_0, a_1, b_1, c_1, a_4, b_4, c_4$ sont déjà connus.

Ce processus itératif sera poursuivi jusqu'à ce que les valeurs de $F_0(1)$, $F_1(1)$ et $F_4(1)$ soient respectivement

égales à 0, 0 et R_{ero} à une constante E prés fixée à l'avance
L'organigramme sommaire se trouve en [ANNEXE B2]

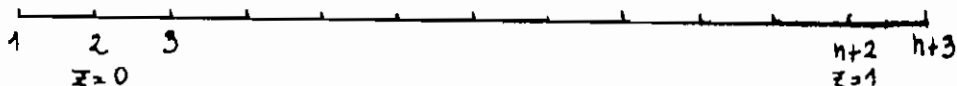
 école polytechnique
de thèss

III-2 METHODE DES DIFFERENCES FINIES:

III-2-1 Principe de la méthode

La méthode des différences finies consiste, à partir du système (I-11) avec les conditions aux limites (I-12), en le calcul des valeurs f_j et g_j de $f(z)$ et $g(z)$ respectivement au point $z = z_j$.

L'espace z compris entre 0 et 1 est découpé en n éléments d'égale longueur $\Delta z = \frac{1}{n}$.



III-2-2 Schema en différences finies:

On remplace chaque terme du système (I-11) par son expression en différences finies centrales suivantes [5]:

$$f_j' = \frac{f_{j+1} - f_{j-1}}{2(\Delta z)}$$

$$f_j''' = \frac{f_{j+2} - 2f_{j+1} + 2f_{j-1} - f_{j-2}}{2(\Delta z)^3}$$

$$f_j^{IV} = \frac{f_{j+2} - 4f_{j+1} + 6f_j - 4f_{j-1} + f_{j-2}}{(\Delta z)^4}$$

$$g_j' = \frac{g_{j+1} - g_{j-1}}{2(\Delta z)}$$

$$g_j'' = \frac{g_{j+1} - 2g_j + g_{j-1}}{(\Delta z)^2}$$

En introduisant les expressions ci-dessus dans le système (I-11), on obtient:

$$F_{1j} = \frac{f_j}{2(\Delta z)^3} [f_{j-2} - f_{j+2} + 2(f_{j+1} - f_{j-1})] + \frac{2g_j}{(\Delta z)^3} [g_{j-1} - g_{j+1}] + \frac{1}{(\Delta z)^4} [f_{j-2} + f_{j+2} - 4(f_{j-1} + f_{j+1}) + 6f_j] = 0$$

$$F_{2j} = \frac{f_j}{2(\Delta z)^2} [g_{j+1} - g_{j-1}] + \frac{g_j}{12(\Delta z)^2} [f_{j+2} - f_{j-2} + 8(f_{j-1} - f_{j+1})] + \frac{1}{(\Delta z)^2} [2g_j - g_{j-1} - g_{j+1}] = 0 \quad (\text{III-7-1})$$

pour $3 \leq j \leq n+1$

L'utilisation des formules de différences finies centrales selon z , dans le schéma explicite ci-dessus assure une précision convenable et nécessite l'introduction des points fictifs $z_1 = -\frac{1}{m}$ et $z_{n+3} = 1 + \frac{1}{m}$

Les inconnues f_1 et f_{n+3} sont déduites en ces points des conditions aux limites (I-12)

- En effet,

$$f'(0) = 0 \implies f_1 = f_3 \quad (f \text{ symétrique par rapport au point } z=0)$$

$$f'(1) = 0 \implies f_{n+1} = f_{n+3} \quad (f \text{ symétrique par rapport au point } z=1)$$

Les conditions aux limites (I-12) s'écrivent maintenant:

$$\begin{cases} f_2 = 0 & f_1 = f_3 & g_3 = 0 & (\text{II-8-1}) \\ f_{n+2} = 0 & f_{n+1} = f_{n+3} & g_{n+2} = \text{Zero} & (\text{II-8-2}) \end{cases} \quad (\text{II-8})$$

Il y a donc un ensemble de $(n+3)$ inconnues $f_j : f_1, \dots, f_{n+3}$; et $n+1$ inconnues $g_j : g_2, \dots, g_{n+2}$.

Or le système (II-7) fournit $2(n-1)$ équations et les conditions aux limites donnent 6 équations soit au total $2(n+2)$ équations.

Ainsi, en substituant (II-8) dans (II-7), les $2(n-1)$ fonctions F_{1j} et F_{2j} dépendent des $2(n-1)$ variables f_3, \dots, f_{n+1} ; g_3, \dots, g_{n+1} .

II-2-3 Méthode de Newton:

Le système (II-7) étant non linéaire, on adopte l'itérative dite de Newton qui consiste à supposer au départ que ces variables sont connues comme première approximation de la solution du système et que cette approximation est située à une distance $(\Delta f_3, \dots, \Delta f_{n+1}, \Delta g_3, \dots, \Delta g_{n+1})$ de la solution exacte $(\bar{f}_3, \dots, \bar{f}_{n+1}, \bar{g}_3, \dots, \bar{g}_{n+1})$.

En d'autres termes, on a:

$$\begin{cases} \bar{f}_j = f_j + \Delta f_j \\ \bar{g}_j = g_j + \Delta g_j \end{cases} \quad (\text{II-9})$$

pour $3 \leq j \leq n+1$

Écrivons les développements en série de Taylor des fonctions F_{1j} et F_{2j} en négligeant les termes d'ordre supérieur à 1.

$$\begin{aligned}
 F_{1j}(\bar{f}_3, \dots, \bar{f}_{n+1}, \bar{g}_3, \dots, \bar{g}_{n+1}) &= F_{1j}(f_3, \dots, f_{n+1}, g_3, \\
 &\dots, g_{n+1}) + \left[\frac{\partial F_{1j}}{\partial f_3} (f_3, \dots, f_{n+1}, g_3, \dots, g_{n+1}) \right] \Delta f_3 + \\
 &\dots \dots \dots \left[\frac{\partial F_{1j}}{\partial f_{n+1}} (f_3, \dots, f_{n+1}, g_3, \dots, g_{n+1}) \right] \Delta f_{n+1} \\
 &+ \left[\frac{\partial F_{1j}}{\partial g_3} (f_3, \dots, f_{n+1}, g_3, \dots, g_{n+1}) \right] \Delta g_3 + \dots \dots \dots \\
 &+ \left[\frac{\partial F_{1j}}{\partial g_{n+1}} (f_3, \dots, f_{n+1}, g_3, \dots, g_{n+1}) \right] \Delta g_{n+1}
 \end{aligned}$$

$$\begin{aligned}
 F_{2j}(\bar{f}_3, \dots, \bar{f}_{n+1}, \bar{g}_3, \dots, \bar{g}_{n+1}) &= F_{2j}(f_3, \dots, f_{n+1}, \\
 &g_3, \dots, g_{n+1}) + \left[\frac{\partial F_{2j}}{\partial f_3} (f_3, \dots, f_{n+1}, g_3, \dots, g_{n+1}) \right] \Delta f_3 + \\
 &\dots \dots \dots \left[\frac{\partial F_{2j}}{\partial f_{n+1}} (f_3, \dots, f_{n+1}, g_3, \dots, g_{n+1}) \right] \Delta f_{n+1} + \\
 &\left[\frac{\partial F_{2j}}{\partial g_3} (f_3, \dots, f_{n+1}, g_3, \dots, g_{n+1}) \right] \Delta g_3 + \dots \dots \dots \left[\frac{\partial F_{2j}}{\partial g_{n+1}} (f_3, \dots, f_{n+1}, g_3, \dots, g_{n+1}) \right] \Delta g_{n+1}
 \end{aligned}$$

pour $3 \leq j \leq n+1$

Les développements de série de Taylor précédents des fonctions F_{1j} et F_{2j} , j variant de 3 à $n+1$, et en négligeant les termes d'ordre supérieur à 1, permettent

- d'obtenir, approximativement les distances Δf_j et Δg_j , j variant de 3 à $n+1$, par la solution du système linéaire suivant :

$$\begin{bmatrix} \frac{\partial F_{13}}{\partial f_3} & \dots & \frac{\partial F_{13}}{\partial f_{n+1}} & \frac{\partial F_{13}}{\partial g_3} & \dots & \frac{\partial F_{13}}{\partial g_{n+1}} \\ \vdots & & & & & \\ \frac{\partial F_{1n+1}}{\partial f_3} & \dots & \frac{\partial F_{1n+1}}{\partial f_{n+1}} & \dots & \dots & \frac{\partial F_{1n+1}}{\partial g_{n+1}} \\ \frac{\partial F_{23}}{\partial f_3} & \dots & \dots & \frac{\partial F_{2n+1}}{\partial f_{n+1}} & \dots & \dots \\ \vdots & & & & & \\ \frac{\partial F_{2n+1}}{\partial f_3} & \dots & \dots & \frac{\partial F_{2n+1}}{\partial f_{n+1}} & \dots & \frac{\partial F_{2n+1}}{\partial g_{n+1}} \end{bmatrix} \begin{bmatrix} \Delta f_3 \\ \vdots \\ \Delta f_{n+1} \\ \Delta g_3 \\ \vdots \\ \Delta g_{n+1} \end{bmatrix} + \begin{bmatrix} F_{13} \\ \vdots \\ F_{1n+1} \\ F_{23} \\ \vdots \\ F_{2n+1} \end{bmatrix} = \begin{bmatrix} 0 \\ \vdots \\ 0 \\ 0 \\ \vdots \\ 0 \end{bmatrix}$$

Les valeurs ainsi calculées par (III-9) constituent une approximation meilleure que l'approximation originale. On utilise ces nouvelles valeurs comme prochaine approximation, et on poursuit le processus itératif jusqu'à ce que toutes les fonctions F_{1j} et F_{2j} soient individuellement, plus faibles, en valeur absolue, qu'un certain ϵ positif fixé à l'avance.

L'organigramme se trouve en [ANNEXE C]

Remarque :

Pour ce qui de la méthode des différences finies, l'on s'est limité à l'analyse sommaire de l'algorithme et à un listing sommaire que nous

m'avons mis au net.

L'analyse complète et la mise au net pourra faire l'objet d'une autre étude.

CHAPITRE - IV

RESULTATS NUMERIQUES
ET DISCUSSION

CHAPITRE - IV

RESULTATS NUMERIQUES ET DISCUSSION

IV-1 RESULTATS DE LA METHODE DE RUNGE KUTTA

Dans ce paragraphe, nous présenterons les divers résultats : tableaux et graphiques en fonction des divers paramètres, pour soutenir la discussion dans le paragraphe suivant. Il s'agit des résultats de la MRK. C'est ainsi que, pour les Reynolds inférieurs à 14, nous avons utilisé, pour démarrer les calculs, les valeurs $f''(0)$, $f'''(0)$ et $g'(0)$ suivantes :

1^{ere} iteration :

$$f''(0) = 0.02$$

$$f'''(0) = 0.05$$

$$g'(0) = 5$$

2^e itération :

$$f''(0) = 0.01$$

$$f'''(0) = 0.03$$

$$g'(0) = 6$$

3^e iteration

$$f''(0) = 0.04$$

$$f'''(0) = 0.08$$

$$-g'(0) = 8$$

Pour les Reynolds supérieurs à 13, nous utilisons les valeurs $f''(0)$, $f'''(0)$ et $g'(0)$ acquises à un Reynolds donné pour le Reynolds suivant (cf Tableau IV-1)

Sauf indication contraire, nous avons fixé :

- pour la précision de la machine : 14 chiffres significatifs
- pour le pas de discrétisation : $\Delta Z = 0.025$
- pour les critères d'arrêt : $\varepsilon_1 (f \text{ et } f') = 0.1$ et $\varepsilon_2 (g) = 0.02$.

Revo	1 ^{ere} iteration			2 ^e iteration			3 ^e iteration		
	$f''(0)$	$f'''(0)$	$g'(0)$	$f''(0)$	$f'''(0)$	$g'(0)$	$f''(0)$	$f'''(0)$	$g'(0)$
20	10.7935	-47.4448	9.0315	10.944	-48.15	9.0455	11	-48.5	9.05
30	30.0208	-125.4289	15.046	30.5	-125.5	15.5	31.0	-126.0	16.0
50	47.2666	-189.1509	19.3582	47.5	-189.5	19.5	48	-190	20
70	74.378	-286.364	27.2982	74.5	-286.5	27.5	75	-287	28
75	101.1038	-401.95	37.9955	101.5	-402	38	102	-403	39
80	109.153	-442.4895	41.567	109.5	-442.5	42.0	110.0	-443.0	43.0

Tableau IV-1

Revo = 1

z	f	f'	f''	f'''	g	g'
0	0	0	.13180043134845	- 5956122440817	0	.99880777388048
.025	.00003315972383	.00313993590299	.11691791849013	- 5945732101759	.0249701922649	.99880761215257
.05	.00014094503191	.00590827435958	.10208735236975	- 5910410968418	.04994036333543	.9988056063365
.075	.00031408438481	.00830696319289	.08737104887025	- 5850169533495	.07491045201743	.99880035592298
.1	.00054337116478	.01033950786128	.07283129917446	- 5765016810811	.09988036677079	.99879091845459
.125	.00081970261046	.0120109708799	.05853037353284	- 5654960267018	.12484999726278	.9987768007512
.15	.00113411873819	.0133279713382	.04453052520696	- 5520005748612	.14981922537849	.99875794625171
.175	.00147784125224	.01429868451803	.0308939945996	- 5360157405041	.17478793598764	.99873471847898
.2	.001842312444661	.01493284161696	.01768301358022	- 5175417608989	.1997560272388	.99870788063274
.225	.00221923410105	.01524172958185	.00495981001142	- 4965786875207	.22472342030316	.99867857131306
.25	.00260060637412	.01523819105772	-.0072133875216	- 4731263779525	.24969006847104	.99864827637525
.275	.00297876669621	.0149366244569	-.0187743447812	- 4471844879963	.27465596550448	.99861879691481
.3	.00334642866558	.01435298415351	-.0296608167543	- 4187524642152	.29962115314915	.998592213337959
.325	.00369672095064	.01350478080787	-.0398105423494	- 3878295371528	.32458572770863	.99857084580447
.35	.00402322620171	.01241108182518	-.0491612389341	- 3544147155054	.34954984558415	.99855721016257
.375	.00432001997568	.01109251195224	-.0576505967396	- 3185067815501	.37451372768256	.99855397082571
.4	.00458170967707	.00957125401504	-.0652162731664	- 2801042881588	.39947766259523	.99856388912585
.425	.004803473519	.00787104979945	-.0717958870360	- 2392055577543	.42444200845029	.99858976800846
.45	.00498109950769	.00601720107561	-.0773270128394	- 1958086835953	.4494071933404	.99863439276928
.475	.00511102445404	.00403657076564	-.0817471750461	- 1499115337995	.47437371422801	.9987004678576
.5	.00519037301593	.00195758425231	-.0849938425466	- 1015117585453	.49934213422982	.99879054975725
.525	.0052169967746	-.0001897691754	-.0870044233116	- 0506068009167	.52431307818194	.99890697590067
.55	.00518951334858	-.0023739347469	-.0877162593653	.0028060881154	.54928722638693	.99905178964187
.575	.00510734554828	-.0045617905119	-.0870666221808	.05872983005512	.57426530644376	.99922666125891
.6	.00497076057417	-.0067186455344	-.0849927086199	.1171674940411	.59924808306148	.99943280498508
.625	.00478090926115	-.0088082379907	-.0814316375538	.17812226622831	.62423634575723	.99967089206137
.65	.00453986537125	-.0107927331922	-.0763204473144	.24159741279112	.6492308943391	.99994095980456
.675	.0042506649364	-.0126327215542	-.0695960941432	.307596233591835	.67423252207409	1.0002423166866
.7	.00391734565222	-.0142872165381	-.0611954518190	.37612202214362	.69924199644152	1.0005734434225
.725	.00354498632334	-.0157136525987	-.0510553126635	.44717798232616	.72426003737201	1.0009318900638
.75	.00313974635957	-.0168678831724	-.0391123901408	.52076718256941	.7492872928722	1.001314169097
.775	.00270890532162	-.0177041787496	-.0253033232859	.59689246533622	.77432431193531	1.0017156445469
.8	.00226090251364	-.0181752250788	-.0095646832131	.67555635999116	.79937151463763	1.0021304170835
.825	.00180537661884	-.0182321215580	.00816701802051	.75676098197219	.8244291593211	1.0025512051336
.85	.00135320537276	-.0178243798746	.02795531590543	.84050791976525	.84949730676202	1.0029692219947
.875	.00091654526738	-.016899229631	.04986377900939	.92679810882734	.87457578122594	1.00337404895
.9	.00050887127721	-.0154050843595	.07395599121114	1.0156316915758	.89966412830876	1.0037535043789
.925	.00014501659665	-.0132846080365	.10029553028044	1.1070078625342	.92476156946378	1.004093508856
.95	-.00015878762441	-.0104816488162	.12894594242351	1.2009246976992	.94986695311433	1.0043779462246
.975	-.0003848725623	-.006937734646	.15997071238944	1.2973789671668	.97497870225113	1.0045885206282
1	-.00051409703678	-.0025929625838	.19243322820889	1.39243609073347	1.0000947584131	1.0047046094724

NOMBRE D'ITERATIONS NECESSAIRES: I= 8

Tableau IV-2

Rero = 2

z	f	f'	f''	f'''	g	g'
0	0	0	.51908654413516	-2.343766239373	0	1.9905668843071
.025	.0001306011191	.01236693679484	.46052333416029	-2.339641116166	.04976415576461	1.990565614829
.05	.00055513610111	.02327164065578	.40216630351287	-2.325625026839	.09952814530749	1.9905498695212
.075	.0012371221279	.03272184052469	.34426255425566	-2.301734235118	.149291748778548	1.9905086509141
.1	.00214033392338	.04073143883644	.28705880557483	-2.267982714789	.19905346489502	1.9904345526561
.125	.00322895799556	.0473205025514	.23080145211685	-2.224382044370	.24881320995977	1.9903236896665
.15	.00446774666994	.05251525567439	.17573662503509	-2.170941294531	.29856979495361	1.9901755977457
.175	.00582217195191	.05634807332962	.12211025591839	-2.107666909207	.34832231469779	1.9899931028524
.2	.00725857925794	.05885747746521	.07016814374446	-2.034562581875	.39806996747534	1.9897821601956
.225	.00874434105706	.06008813426407	.02015602495901	-1.951629128966	.44781213130922	1.9895516632246
.25	.0102480104661	.06009085333976	-.0276803532724	-1.858864362855	.4975484351519	1.9893132225385
.275	.01173947484417	.05892258879663	-.0730951566599	-1.756262967397	.54727882423398	1.989080914679
.3	.01319010943375	.05664644223205	-.1158423843305	-1.643816379427	.59700361881818	1.9888710007141
.325	.0145729310978	.05333166775532	-.1556757865046	-1.521512680164	.64672356560191	1.9887016144724
.35	.01586275220393	.04905367909192	-.1923487796011	-1.389336500889	.69643988100794	1.9885924202412
.375	.01703633470852	.04389405883326	-.2256143591766	-1.247268947783	.74615428559734	1.9885642397055
.4	.01807254449489	.03794056988077	-.2552250112342	-1.095287551237	.79586902883322	1.988638647872
.425	.0189525060207	.03128716911819	-.2809326225731	-.9333662454118	.84558690341687	1.9888375377
.45	.0196597573306	.02403402332775	-.3024883909975	-.7614753842862	.89531124841107	1.9891826531422
.475	.0201804054901	.01628752734369	-.3196427363700	-.5795818008688	.94504594035753	1.9896950902928
.5	.02050328249629	.00816032441026	-.3321452136580	-.3876489166835	.99479537158799	1.9903947663372
.525	.02062010171997	-.0002286713193	-.3397444293108	-.1856369090946	1.0445644149209	1.9912998560043
.55	.02052561493161	-.0087542502419	-.3421879624957	.02649705553158	1.0943583739284	1.9924261952377
.575	.02021776996096	-.0172848808608	-.3392222929254	.24879851438555	1.1441829179509	1.99378665182
.6	.01969786903585	-.0256826816238	-.330592737227	.481315317605	1.1940440010311	1.9953904627133
.625	.01897072784081	-.0338033912799	-.3160433960278	.72409714515168	1.2439477639327	1.9972425379072
.65	.01804483532965	-.0414963380460	-.2953171141731	.97719492136881	1.2939004184048	1.9993427306009
.675	.01693251431797	-.0486044079409	-.2681554567387	1.2406601169396	1.343908112849	2.001685073581
.7	.01565008287224	-.0549640127102	-.2342987037674	1.5145439274838	1.39397677785427	2.0042569816928
.725	.01421801650041	-.0604050578437	-.1934858669278	1.7988963175324	1.4441119555704	2.0070384203348
.75	.01266113113589	-.0647509112702	-.1454547315836	2.0937649181137	1.4943185976131	2.0100010399343
.775	.01100864689097	-.0678183734026	-.0899419280611	2.3991937656661	1.5446008547447	2.0131072763812
.8	.00929455253805	-.0694176493066	-.0266830362141	2.7152218694668	1.5949618333848	2.0163094174069
.825	.00755757065656	-.0693523238702	.04458727228893	3.0418815942396	1.645403332556	2.0195486348863
.85	.00584142336037	-.0674193409676	.12413504919051	3.3791968440804	1.6959255555931	2.0227539830184
.875	.00419497849435	-.0634089877313	.21222683726619	3.7271810333293	1.7465267964508	2.0258413622898
.9	.00267241615963	-.0571048851795	.30912938486356	4.0858348295931	1.7972030997524	2.0287124490507
.925	.00133339539429	-.0482839865869	.41510930150061	4.4551436531971	1.8479478937172	2.0312535904215
.95	.00024322080016	-.0367165851359	.53043264828064	4.8350749186385	1.8987515950953	2.0333346641001
.975	-.00052699113381	-.0221663325478	.65536445648497	5.2255749999492	1.9496011852267	2.034807902446
1	-.00090014630534	-.0042902705616	.79014816730264	5.6265659058802	2.0004797563221	2.0355066799705

NOMBRE D'ITERATIONS NECESSAIRES I = 8

Tableau IV-3

Rev0 = 3

Z	f	f'	f''	f'''	g	g'
0	0	0	1.1460534256348	-5.166135533611	0	2.9682666578958
.025	.00028836130446	.02730627464927	1.0169688219789	-5.156969164652	.07420661263952	2.9682624780584
.05	.00122578875399	.05138953804944	.8883421628205	-5.125848919030	.14841267795002	2.9682106311657
.075	.00273186917517	.07226694957364	.7607214573894	-5.072853966866	.22261661237193	2.9680748814567
.1	.00472676093858	.08996934906711	.63465285084694	-4.998052357246	.29681604958579	2.9678307918956
.125	.00713153550702	.1045412131804	.51068090753414	-4.901500512951	.37100813316917	2.9674654904932
.15	.00986851796689	.11604061891811	.38934890721787	-4.783242690236	.44518980236539	2.9669773363979
.175	.01286162672642	.12453921473709	.27119915518707	-4.643310406089	.51935806847487	2.9663754872893
.2	.0160367125733	.13012219954847	.15677330695947	-4.481721838344	.59351027941333	2.9656793691403
.225	.01932189729308	.13288830999522	.04661270819507	-4.298481206907	.66764437000293	2.9649180489572
.25	.02264791205925	.13294981638959	-.0587412498236	-4.093578147181	.74175909557306	2.9641295106608
.275	.0259484358155	.13043252770054	-.1587467590917	-3.866987089682	.81585424644707	2.9633598338487
.3	.02916043388061	.12547580597877	-.2528612084881	-3.618666662541	.88993084088069	2.9626622747834
.325	.03222449701564	.11823259059433	-.3405407828585	-3.348559136369	.96399129399744	2.9620962485904
.35	.03508518120262	.10886943263715	-.4212400488630	-3.056589933573	1.0380395602379	2.9617262113276
.375	.03769134839198	.09756653979271	-.4944115294517	-2.742667226838	1.1120812468031	2.9616204403104
.4	.03999650848347	.08451783195183	-.5595052694795	-2.406681653964	1.1861236955291	2.9618497108479
.425	.04195916281092	.06993100774362	-.6159683956737	-2.048506178749	1.2601760305827	2.9624858673674
.45	.0435431494052	.05402762209213	-.6632446749380	-1.667996129956	1.3342491693153	2.9636002867795
.475	.0447179903109	.03704317478944	-.7007740757997	-1.264989452802	1.4083557935581	2.96522231869
.5	.04545924123105	.01922720994828	-.7279923386925	-.8393072096773	1.4825102785861	2.9675370924814
.525	.04574884376894	.00084342604553	-.7443305617110	-.3907543691403	1.5567285769226	2.9704845123174
.55	.04557548052728	-.0178302039085	-.7492148094698	.08087907547523	1.6310280541026	2.9741563992392
.575	.04493493331117	-.0365013027422	-.7420657537608	.57581661418326	1.7054272734627	2.9785948171344
.6	.04383044466228	-.0548629509307	-.7222983558164	1.0942933091427	1.7799457269769	2.9838297575669
.625	.0422730829267	-.0725935409948	-.6893216011641	1.6365534156359	1.8546035091175	2.9898767896602
.65	.04028211102706	-.0893566259297	-.6425382992966	2.2028474841866	1.9294209306819	2.9967345869034
.675	.03788535907025	-.1048007634238	-.5813449616849	2.7934288901203	2.0044180694979	3.0043823298235
.7	.03511960087449	-.1185593579797	-.5051317730330	3.4085497340858	2.0796142548953	3.0127769837211
.725	.03203093444259	-.1302505034367	-.4132826721155	4.0484560541431	2.1550274828135	3.0218504509015
.75	.02867516634157	-.1394768288189	-.3051755600555	4.7133822869776	2.2306737584044	3.0315065970284
.775	.02511819987071	-.1458253508939	-.1801826554942	5.403544912647	2.3065663629803	3.0416181513614
.8	.02143642681049	-.1488673373353	-.0376710177760	6.119135214033	2.3827150421522	3.0520234806881
.825	.01771712244175	-.1481581849218	.12299673896971	6.8603110789167	2.4591251119982	3.0625232366955
.85	.01405884340759	-.1492373178043	.30246151613811	7.6271877693936	2.5357964800938	3.0728768763124
.875	.01057182785809	-.1336281115025	.50136655871799	8.4198275803036	2.6127225782194	3.0827990541716
.9	.00737839716937	-.1188378489857	.72035601250691	9.2382283056073	2.6898892035343	3.0919558857217
.925	.00461335836198	-.0983577159244	.96007317980391	10.082310429366	2.7672732649597	3.0999610786702
.95	.00242440615827	-.0716628429891	1.2211584408125	10.9519029564	2.8448414314449	3.1063719272579
.975	.00097252341288	-.0382124039166	1.5042468058546	11.846727797059	2.9225486786866	3.1106851783711
1	.00043237842214	.00255022104578	1.8099450613623	12.76638212119	3.000336730728	3.11203327205098

NOMBRE D'ITERATIONS NECESSAIRES: I = 8

Tableau IV-4

Rero = 4

Z	f	f'	f''	f'''	g	g'
0	0	0	1.9661469718266!	-8.861295556619!	0	3.9267205630768!
025!	0004947102227!	04684654716941!	1.7447349031129!	-8.845267347863!	09816789195695!	3.9267110766488!
05!	0021029685493!	08816496625197!	1.5241231444238!	-8.790905063042!	19633454170189!	3.9265934050009!
075!	00468685498281!	12398522901307!	1.3052675826031!	-8.698441677671!	29449635509186!	3.9262852965618!
1!	00810944730465!	15436114624451!	1.0891186189762!	-8.568077450278!	39264796093795!	3.9257312551276!
125!	01223541568617!	1793702392598!	.876622002507!	-8.399978449145!	49078287447362!	3.9249019928085!
15!	01693161430743!	19911363261001!	.6687197008466!	-8.194274976792!	58889414475282!	3.9237936539497!
175!	02206767052378!	21371596899422!	46635081185408!	-7.951059891214!	68697498031629!	3.9224268159802!
2!	02751657214594!	22332534740287!	27045251808376!	-7.670386833341!	78501934759475!	3.9208452713348!
225!	03315525342569!	22811328559112!	08196108638851!	-7.352268380680!	88302253660251!	3.9191145928101!
25!	03886518036733!	22827470802728!	-0981870858176!	-6.996674157346!	98098168851603!	3.9173204829918!
275!	04453293601404!	22402796049111!	-2690543769561!	-6.603528940863!	1.0788962797307!	3.9155669067484!
3!	05005080638764!	2156148525027!	-4297008007694!	-6.172710815913!	1.1767685569479!	3.9139740042555!
325!	0553173677897!	2033007287379!	-5791828206802!	-5.704049434811!	1.2746039177662!	3.9126757806141!
35!	06023807620011!	18737457052554!	-7165521224008!	-5.197324453670!	1.372411231139!	3.9118175668757!
375!	06472585953573!	16814912841851!	-8408543499842!	-4.65226422217!	1.4702030919194!	3.9115532462048!
4!	06870171355492!	14596108667996!	-9511278125477!	-4.068544813359!	1.5679960035474!	3.9120422380095!
425!	07209530221275!	12117126032208!	-1.046402171147!	-3.445789488248!	1.6658104827473!	3.9134462321651!
45!	07484556328509!	09416482507259!	-1.125697117732!	-2.783568697900!	1.7636710799006!	3.9159256649569!
475!	07690132008563!	06535158031843!	-1.188021060757!	-2.081400733531!	1.8616063085476!	3.9196359280777!
5!	07822190009728!	03516624468244!	-1.232369834882!	-1.338753142776!	1.9596484772525!	3.9247233019402!
525!	07877776132601!	00406878342168!	-1.257725455195!	-5550450378202!	2.0578334168509!	3.9313206046983!
55!	0785511271592!	-0274552337084!	-1.263054939659!	27034957127108!	2.1562000958848!	3.9395425487085!
575!	0775366304704!	-0588942461072!	-1.247309226852!	1.1380972769593!	2.2547901168297!	3.9494807966865!
6!	07574196765538!	-0897102901973!	-1.209422219710!	2.0488994592918!	2.3536470855325!	3.961198710505!
625!	07318856320873!	-119338565012!	-1.148309989786!	3.0034849981273!	2.4528158461094!	3.9747257864049!
65!	06991224535319!	-1471869799128!	-1.062870180562!	4.0026013461515!	2.5523415734083!	3.9900517713124!
675!	06596393311347!	-172635689852!	-9519816526212!	5.0470037868108!	2.6522687150162!	4.0071204559223!
7!	0614103350993!	-1950366247144!	-8145044179775!	6.1374426911275!	2.7526397746951!	4.0258231911618!
725!	05633465992642!	-2137130205045!	-6492799156326!	7.2746485765029!	2.8534939290527!	4.0459917755124!
75!	05083733855626!	-2279589614958!	-4551316854610!	8.4593147590828!	2.9548654692005!	4.0673917613668!
775!	04503675747165!	-2370389439471!	-2308665028722!	9.6920773791744!	3.0567820591097!	4.0897144290254!
8!	03907000272422!	-2401874736049!	02472395766909!	10.973492566753!	3.1592628023417!	4.1125691769937!
825!	03309361344548!	-2366087109780!	31286085622276!	12.304010501613!	3.262316108794!	4.1354752768027!
85!	02728434360409!	-2254761802859!	63477523775256!	13.68394611064!	3.3659373530456!	4.1578533395075!
875!	02183993021289!	-2059325600560!	99170431244801!	15.113446133649!	3.4701063157978!	4.1790164391721!
9!	01697986573682!	-1770895755902!	1.3848868723192!	16.592452280016!	3.5747843997617!	4.1981608858671!
925!	01294617192225!	-1380280159323!	1.8155577433815!	18.120660191957!	3.6799116111161!	4.2143566367969!
95!	01000417167585!	-0877979005625!	2.2849411656127!	19.697473928029!	3.7854032973234!	4.2265373289439!
975!	00844325496169!	-0254188238122!	2.7942429857325!	21.321955683796!	3.8911466316071!	4.2334899098284!
1!	00857763395504!	0501194920587!	3.3446415408822!	22.992776007498!	3.9969968397212!	4.2338438343686!

NOMBRE D'ITERATIONS NECESSAIRES: I= 7

Tableau IV-5

Revo = 5

Z	f	f'	f''	f'''	g	g'
0	0	0	3.1337836969989!	-14.11786723817!	0	4.8914337457739
.025!	.00078851554498	.07466884334355!	2.781023578844!	-14.09302898121!	1222856011779	4.8914149104423
.05!	.00335195545225	.14052979480108!	2.4295025789862!	-14.00891825436!	.24456873590121!	4.8911812679244
.075!	.00747056067473	.19762922007575!	2.0806962480714!	-13.86612682570!	.3668422675662	4.8905694761981
.1!	.01292611443658	.24605022592339!	1.7360661998243!	-13.66516372314!	.48909553014923!	4.8894692871527
.125!	.01950285729278	.28591233354386!	1.3970622155039!	-13.40645175886!	.61131564488863!	4.8878224707706
.15!	.02698839457847	.3173712055071!	1.0651244377499!	-13.09032380804!	.73348880552922!	4.8856213058106
.175!	.03517459761004	.34061842851617!	.7416856603918!	-12.71701880432!	.8556015214956	4.8829066558632
.2!	.04385850005954	.35588135448121!	.42817372140563!	-12.28667744591!	.97764180877269!	4.8797656439658
.225!	.05284319098761	.363423002557	.12601400602063!	-11.79933763813!	1.0996003185435!	4.8763289333798
.25!	.06193870608813	.36354202496261!	-.1633679339882!	-11.25492972904!	1.2214713937675!	4.8727676167317
.275!	.07096291876987	.35657273953549!	-.4385436405183!	-10.65327162515!	1.3432540438844!	4.8692897105806
.3!	.07974243277501	.34288523205501!	-.6980788870436!	-9.994063903243!	1.4649528277033!	4.8661362476664
.325!	.08811347811062	.32288553138349!	-.9405306955740!	-9.276885062294!	1.5865786342985!	4.8635769546673
.35!	.0959228121447	.29701586039913!	-1.164444237923!	-8.501187086642!	1.7081493513855!	4.8619054993151
.375!	.103028627791	.2657549655171!	-1.368349631083!	-7.666291516677!	1.8296904102102!	4.8614342872202
.4!	.10930147077392!	.22961852729737!	-1.550758641653!	-6.771386248120!	1.9512351954625!	4.8624887858005
.425!	.11462516802278	.18915965420421!	-1.710161320076!	-5.815523304038!	2.0728253081333!	4.8654013503208
.45!	.11889776929054	.14496946099889!	-1.845022591725!	-4.797617846128!	2.1945106685911!	4.8705045252712
.475!	.1220325041216	.09767773249915!	-1.953778838818!	-3.716448713245!	2.3163494464719!	4.8781237931771
.5!	.12395875630205	.04795367251365!	-2.034834514506!	-2.570660796050!	2.4384078032724!	4.8885697424488
.525!	.12462305790978	-.0034932633568!	-2.086558838480!	-1.358769577257!	2.5607594328278!	4.9021296260635
.55!	.12399010503545	-.0559124536800!	-2.107282631823!	-.0791681876052!	2.683484884159!	4.9190582837139
.575!	.12204379716411	-.1085111200794!	-2.095295357864!	1.2698626511632!	2.8066706505032!	4.9395684015307
.6!	.11878830208473	-.1604532649805!	-2.048842445269!	2.6901414029455!	2.9304080077169!	4.9638200855384
.625!	.11424914802628	-.2108585461585!	-1.966122979694!	4.1835687966192!	3.0547915846684!	4.9919097275655
.65!	.10847434449687	-.2588010982973!	-1.845287861011!	5.7521067656388!	3.1799176477372!	5.0238581452838
.675!	.10153553302127	-.3033083143157!	-1.684438534455!	7.3977527775045!	3.3058820811111!	5.0595979812632
.7!	.09352916862396	-.3433596020444!	-1.481626416142!	9.1225090519473!	3.4327780442299!	5.098960349211
.725!	.08457773248295	-.3778851349892!	-1.234853146258!	10.928346132852!	3.5606932874604!	5.1416607187062
.75!	.07483097567555	-.4057646193830!	-.9420718169848!	12.817160242042!	3.6897073068993!	5.1872840324655
.775!	.06446719334259	-.4258261035636!	-.6011893369430!	14.790723803353!	3.8198869190752!	5.2352690521981
.8!	.05369452790348	-.4368448599181!	-.2100701096535!	16.850628483607!	3.9512844362313!	5.2848919300613
.825!	.04275229915094	-.4375423742469!	.23345877972126!	18.998220054293!	4.0839314227946!	5.3352490022353
.85!	.03191235813094	-.4265854824405!	.73160065721938!	21.234524335643!	4.2178350135274!	5.3852387987567
.875!	.02148046065904	-.4025856998634!	1.2865804015179!	23.560163445706!	4.3529725736631!	5.4335432590035
.9!	.01179765512874	-.3640987948152!	1.9006333831879!	25.97526154401!	4.4892860809896!	5.4786081345856
.925!	.00324167791491	-.3096246639268!	2.5759919304695!	28.479339236352!	4.6266760092733!	5.5186225502667
.95!	-.00377165184222!	-.2376075743455!	3.3148690293306!	31.071195798958!	4.7649946915313!	5.5514976782632
.975!	-.0087870479866!	-.1464368450887!	4.1194389446278!	33.748778392696!	4.9040391403371!	5.5748444610681
1!	-.01130839543615!	-.0344481779916!	4.991814426641!	36.509037478553!	5.043548706669!	5.5859502911135

OMBRE D'ITERATIONS NECESSAIRES: I = 7

Tableau IV - 6

45

Rero = 10

Z	f	f'	f''	f'''	g	g'
0	0	0	10.793493440352	-47.44485462738	0	9.0314678144147
.025	.00271813985173	.25748456030542	9.60800515262	-47.36087044919	.22578515232632	9.0313478588018
.05	.01156490216519	.48536936438552	8.4266836685225	-47.07926064962	.45155458268269	9.0298580048308
.075	.02580176176527	.6838094922588	7.2543968677817	-46.60690607651	.67726269393521	9.0259472915565
.1	.04469532501184	.85308000060207	6.0958501914295	-45.94976381872	.90284104178469	9.0188930012292
.125	.06752028872787	.99357210453329	4.9556100273069	-45.11283919754	1.1282064653528	9.0082931038251
.15	.09356230981689	1.1057899514077	3.838127811244	-44.10015590673	1.3532690033408	8.9940563041056
.175	.12212080056123	1.1903480052377	2.747764920536	-42.91472148219	1.5779395402324	8.9763901005725
.2	.15251166508284	1.2479690629323	1.6888184984673	-41.55848608035	1.8021371360267	8.9557871490656
.225	.18406999301816	1.2794829274885	.6655483911333	-40.03229331078	2.025795999128	8.9330101109783
.25	.21615272713638	1.2858257680656	-.3177945984216	-38.33582259276	2.2488720653872	8.9090750583523
.275	.24814132243271	1.2680402020842	-1.256938927605	-36.46752318556	2.4713491470284	8.8852334060312
.3	.27944441516148	1.22727261396804	-2.147560802505	-34.42454067998	2.6932446134375	8.8629522448156
.325	.30950052133256	1.1647924356107	-2.985250762215	-32.20263734036	2.9146145616908	8.8438928591673
.35	.33778078536467	1.0819593976648	-3.765478225262	-29.79610825903	3.1355584284013	8.8298871284619
.375	.36379180084637	.9802622034381	-4.483553918930	-27.19769583442	3.3562229861107	8.8229114321705
.4	.38707852666741	.86130527860192	-5.134590180615	-24.3985056183	3.5768056572016	8.8250576069734
.425	.40722732310835	.72681768924476	-5.713459201953	-21.38792709924	3.7975570663122	8.8385004382286
.45	.42386913376496	.57865959812179	-6.214749380989	-18.15356350469	4.0187827386841	8.8654611102848
.475	.43668284037882	.41882982941445	-6.632720055042	-14.68117521443	4.2408438369616	8.9081659907638
.5	.44539881868037	.24947457854943	-6.961255007067	-10.95464188907	4.4641568129225	8.9688000864695
.525	.44980272415205	.07289729243785	-7.193815271246	-6.955948932137	4.689191833726	9.0494544754517
.55	.44973953710495	-.1084302691527	-7.323391909491	-2.665204432241	4.9164698248124	9.1520670163877
.575	.44511789654337	-.2918557988150	-7.342459589915	1.9393067159621	5.1465579539196	9.2783556220372
.6	.43591475186868	-.4745330635973	-7.242931971916	6.8810242211399	5.3800633631588	9.4297434092473
.625	.42218036044085	-.6534074413279	-7.016120091502	12.184961388668	5.6176249390867	9.6072750619038
.65	.40404365725538	-.8252004604907	-6.652695146800	17.877493008186	5.8599028945933	9.8115237884503
.675	.38171802037868	-.9863934702954	-6.142657309729	23.986072583116	6.1075659215267	10.042488310979
.7	.35550745217649	-1.133210610801	-5.475312438969	30.538868339201	6.3612756595573	10.299479386781
.725	.32581319161398	-1.261601302670	-4.639258845554	37.564306263908	6.6216682150017	10.580995430026
.75	.29314076683332	-1.367222533077	-3.622386570214	45.090507052837	6.8893324531775	10.884586863605
.775	.25810748963483	-1.445421279302	-2.411891975763	53.144602273523	7.1647847791389	11.206708879751
.8	.22145038419012	-1.491217485598	-1.9943108429479	61.751913325933	7.448440113889	11.542562311462
.825	.18403453106338	-1.499288093031	.6444264122629	70.934974938505	7.74057876561	11.885922301426
.85	.14686179414558	-1.463952717345	2.5189133060349	80.712383082969	8.0413088869702	12.228954385553
.875	.11107988212418	-1.379161677649	4.6441550235936	91.097445458105	8.3505241986126	12.562017466388
.9	.07799167729625	-1.238487199876	7.0354201490563	102.09661126841	8.6678566434934	12.87345291715
.925	.04906474253971	-1.035118754563	9.7080506197798	113.70765414903	8.9926236142507	13.149358705602
.95	.02594089171989	-.7618636389687	12.67722353173	125.91759806897	9.3237693630202	13.373346928857
.975	.01044537935062	-.4111540791653	15.952157929273	139.79030127354	9.6598001560277	13.50428946727
1	.0045976315805	.02493769295973	19.563258368175	152.01388632858	9.9987126687363	13.58599954614

NOMBRE D'ITERATIONS NECESSAIRES: I= 11

Tableau IV-7

Précision : 4 chiffres SIGNIFICATIFS

Revo = 10

z	f	f'	f''	f'''	g	g'
0	0	0	10 7417	-47.2892	0	9.0188
.025	.0027	.2562	9 5601	-47.2055	.2255	9.0187
.05	.0115	.4829	8.3826	-46.9246	.451	9.0172
.075	.0257	.6803	7.2142	-46.4533	.6764	9.0133
.1	.0445	.8486	6.0595	-45.7977	.9017	9.0063
.125	.0672	.9882	4.923	-44.9627	1.1268	8.9958
.15	.0931	1.0997	3.8092	-43.9522	1.3516	8.9817
.175	.1215	1.1836	2.7225	-42.7691	1.576	8.9642
.2	.1517	1.2406	1.6672	-41.4155	1.7999	8.9437
.225	.1831	1.2716	.6475	-39.8922	2.0233	8.9211
.25	.215	1.2775	-.3324	-38.1988	2.2461	8.8974
.275	.2468	1.2594	-1.2682	-36.3338	2.4683	8.8738
.3	.2779	1.2184	-2.1555	-34.2944	2.6899	8.8518
.325	.3077	1.1557	-2.99	-32.0763	2.911	8.833
.35	.3358	1.0728	-3.7671	-29.6738	3.1317	8.8193
.375	.3616	.9711	-4.4822	-27.0797	3.3521	8.8126
.4	.3847	.8522	-5.1303	-24.2852	3.5724	8.815
.425	.4046	.7178	-5.7064	-21.2797	3.7929	8.8287
.45	.421	.5698	-6.205	-18.0508	4.0139	8.8559
.475	.4336	.4102	-6.6205	-14.5844	4.2357	8.8988
.5	.4421	.2412	-6.9467	-10.8645	4.4588	8.9596
.525	.4463	.065	-7.1771	-6.8731	4.6836	9.0403
.55	.446	-.1159	-7.3047	-2.5905	4.9107	9.1429
.575	.4412	-.2988	-7.322	2.0049	5.1406	9.2691
.6	.4318	-.481	-7.2209	6.9363	5.3739	9.4203
.625	.4179	-.6593	-6.9928	12.2287	5.6112	9.5975
.65	.3996	-.8305	-6.6284	17.9081	5.8532	9.8013
.675	.3771	-.9911	-6.1177	24.0016	6.1006	10.0317
.7	.3508	-1.1373	-5.4501	30.5373	6.354	10.2879
.725	.321	-1.2651	-4.6143	37.5432	6.6141	10.5685
.75	.2882	-1.3701	-3.5982	45.0473	6.8814	10.871
.775	.2531	-1.4477	-2.389	53.0763	7.1565	11.1918
.8	.2164	-1.493	-.9734	61.6551	7.4398	11.5262
.825	.1789	-1.5006	.6626	70.8061	7.7315	11.868
.85	.1417	-1.4648	2.5335	80.5475	8.0318	12.2093
.875	.1059	-1.3797	4.6542	90.8923	8.3405	12.5405
.9	.0728	-1.2388	7.0399	101.8467	8.6573	12.85
.925	.0439	-1.0354	9.7058	113.408	8.9815	13.1239
.95	.0208	-.7623	12.6669	125.5633	9.312	13.346
.975	.0053	-.4119	15.9379	138.2862	9.6475	13.4972
1	-.0006	.0236	19.5325	151.5346	9.9855	13.5553

NOMBRE D'ITERATIONS NECESSAIRES = 14

Tableau IV - 8

$E_1 = E_2 = 1$

$Rero = 10$

Z	f	f'	f''	f'''	g	g'
0	0	0	12.053453304854	-53.80128558303	0	9.4568279699927
.025	.00303383949557	.28732849235218	10.709114572181	-53.70937070910	236418889572048	9.4566878281809
.05	.01290105406148	.54108947536215	9.369330589602	-53.40183877663	47281943373843	9.4549485902035
.075	.02876406023716	.76145226637443	8.0393998287339	-52.88738377323	7091484465709	9.4503898531783
1	.04979087070573	.94871647210953	6.7244156788727	-52.17351761463	.94532632579733	9.4421809903253
.125	.0751583004406	1.1033071718985	5.4292963262294	-51.26653871785	1.1812566783095	9.4298723419112
.15	.1040550602755	1.2257708561728	4.1588154374012	-50.17149825646	1.4168357339922	9.4133837568862
.175	.13568475699469	1.3167721412618	2.9176337493805	-48.89215996908	1.6519614443918	9.3929910226667
2	.16926881960094	1.377091285099	1.7103317600245	-47.43095050216	1.8865422237452	9.3693105654592
.225	.20404937208992	1.4076225339852	541443772818	-45.78889832679	2.1205052917374	9.3432826540492
.25	.23929207388356	1.4093733374478	-.5845063759334	-43.96556026235	2.353804581685	9.3161531974361
.275	.2742889500811	1.3834644758362	-1.662967689884	-41.95893556726	2.5864281786858	9.2894540915393
3	.30836123488178	1.331131153016	-2.689322025949	-39.76536842558	2.8184052498154	9.2649819423756
.325	.3408622529206	1.259725113828	-3.658841630415	-37.37944047729	3.0498124228708	9.2447748723137
.35	.37118036481732	1.1527178523321	-4.566643879598	-34.79385582403	3.2807795616288	9.2310870019753
.375	.39874200494321	1.0297049817792	-5.407643100453	-31.99932170025	3.5114948742771	9.2263600930201
.4	.42301484121758	.8864118402599	-6.176499398368	-28.98442874434	3.7422092777507	9.2331917367326
.425	.44351108860472	.72470040660447	-6.867564529836	-25.73553554032	3.9732399243575	9.2542993808211
.45	.45979100982718	.5465775989269	-7.474824982162	-22.23666283514	4.204972778504	9.2924794034479
.475	.47146663856711	.35420502241294	-7.991842565086	-18.46940357105	4.4378641107902	9.3505603710733
.5	.47820576200681	.14991022463231	-8.411692980405	-14.41285561134	4.6724407545197	9.4313495574991
.525	.47973620086365	-.0638004987630	-8.726903015391	-10.04358478455	4.9092989461353	9.5375717581464
.55	.47585042599265	-.28422727208866	-8.929387204369	-5.335626636505	5.1491015466562	9.6717994088375
.575	.46641055104028	-.5084629212161	-9.010385020783	-.2605360747113	5.3925734163593	9.8363730147462
.6	.45135374040095	-.7333709702016	-8.960399900465	5.2125050598082	5.6404946902633	10.033310914827
.625	.43069807070671	-.9555711226233	-8.769141657338	11.116511522594	5.8936916780356	10.264207451122
.65	.40454888210961	-1.171416623367	-8.425474137933	17.486437263029	6.153025089357	10.530118680723
.675	.37310565251978	-1.376973078676	-7.917370274652	24.358823815252	6.4193752651448	10.83143485888
.7	.33666942354702	-1.567995803501	-7.231877044491	31.771339743769	6.6936240768584	11.167739030571
.725	.29565080094598	-1.739906422204	-6.355093226187	39.762194666839	6.9766331407881	11.537651187974
.75	.25057854464742	-1.887769076647	-5.272163281549	48.369409337615	7.2692179819309	11.938657572895
.775	.20210875370441	-2.006266683833	-3.967291173941	57.629920907554	7.572117772708	12.366924813533
.8	.15103463939346	-2.089677786235	-2.423778485901	67.578499859415	7.8859602649163	12.817098668093
.825	.09829686494945	-2.131854653335	-.6240918151162	78.246452258049	8.2112215280754	13.282087184944
.85	.04499441260109	-2.126203424472	1.4500348829951	89.660078064867	8.5481801023507	13.752828058814
.875	-.00760408271289	-2.065667232633	3.8174565773958	101.83885349928	8.8968651675772	14.218039840931
.9	-.05804861879518	-1.942713418080	6.4974248139868	114.79330307627	9.2569983190156	14.663956421463
.925	-.10469564633643	-1.749326131146	9.509338607208	129.52252533647	9.6279285220899	15.074043814945
.95	-.14569697395589	-1.477005836269	12.872429533232	143.01133581295	10.008559788409	15.428697708124
.975	-.17898574856126	-1.14777464679	16.60537108567	158.22699192216	10.397071068844	15.704919430008
1	-.20226674779506	-.6592092206363	20.725801503912	174.11546781945	10.79182778997	15.875966917656

NOMBRE D'ITERATIONS NECESSAIRES I= 8

Tableau IV-9

$\Delta Z = -1$

Revo = 10

Z	f	f'	f''	f'''	g	g'
0	0	0	10.158640958579	-45.60564922325	0	9.1325405693494
1	.03662696450784	.82653558490482	5.63881249443	-44.2691921813	.91291063727502	9.1265396228294
2	.1373079789822	1.2105432823899	1.3805286749627	-39.89155778342	1.823076881799	9.0652713083051
3	.25925437638773	1.1905509482003	-2.320670001467	-32.64936645934	2.7253944009987	8.9671459443593
4	.3647448661156	.8342304349692	-5.175664205901	-22.44025808903	3.6193391301327	8.9142157600452
5	.42404942089081	.23900500687523	-6.870864963624	-8.810018783627	4.51448016855	9.0307065221688
6	.41855202333746	-.4639386285445	-7.029846496204	9.119577703508	5.4334176225255	9.4505924032844
7	.34444294120953	-1.10154687592	-5.169696514129	32.666848723166	6.4107614213016	10.266884920331
8	.21740313686679	-1.446508441717	-.6611838137733	63.461634273919	7.4859295847026	11.453124072114
9	.07867328500458	-1.201706019613	7.2876620686012	103.0424657471	8.6865995863733	12.748069575033
1	.00268795028258	.014788608857	19.589448131513	151.98496354033	9.9988222457713	13.496424275264

NOMBRE D'ITERATIONS NECESSAIRES: I= 11

Tableau IV-10

$\epsilon_1 = \epsilon_2 = 0.005$

Revo = 10

Z	f	f'	f''	f'''	g	g'
0	0	0	10.806287026549	-47.49575000099	0	9.0279875151771
025	00272137210978	25779114391082	9.619525854027	-47.41183351438	22569814360678	9.0278674628737
05	01157869960527	4859506787776	8.4369280270169	-47.13046280320	45138055250976	9.0263763999074
075	02583265975021	68463355226603	7.2633569742273	-46.65853444326	67700159220001	9.0224624738834
1	04474905684528	85411457347421	6.1035133117939	-46.00201940123	90249276113391	9.0154023080654
125	06760177818177	99478458584699	4.9619582745885	-45.16593506981	1.12777082718	9.0047934510588
15	0936756604748	1.107147233237	3.8431378620611	-44.15431545503	1.3527457498099	8.9905444331914
175	12226928179543	1.1918163376939	2.7514077752766	-42.97017668427	1.5773283326169	8.9728628398188
2	15269769451085	1.249513910154	1.6910592842331	-41.6154758034	1.8014375597834	8.952241694983
225	18429511531103	1.2810688191484	.6663462072962	-40.09106159945	2.0250075762699	8.929444335919
25	21641758907776	1.2874161474651	-.3184867914318	-38.39661691091	2.2479942748822	8.9054878510268
275	24844564415481	1.2695972719314	-1.259174374680	-36.53059256836	2.4703814541154	8.8816250516935
3	27978695751181	1.2287607066998	-2.151398972664	-34.49013374781	2.6921865089233	8.859324851948
325	30987904935497	1.1661637552138	-2.990757315834	-32.27100012137	2.9134656124604	8.8402508393774
35	33819202791	1.0831750200249	-3.772724924357	-29.86748176348	3.1343183405393	8.8262377360032
375	36423140636317	9812778224632	-4.492618473673	-27.27231332183	3.3548916821864	8.8192653690083
4	38754101526241	.86207458548324	-5.145556023771	-24.47658949679	3.5753833694119	8.821429698614
425	40770603501057	.72729223248446	-5.726415181417	-21.46968539651	3.7960444472979	8.8349103845996
45	42435617437761	.57878865220309	-6.229789359087	-18.23918585111	4.0171809919291	8.8619343147758
475	43716902216031	.41856027457671	-6.649942401806	-14.77082828138	4.2391548687488	8.9047344693013
5	4458736001608	.24875079446504	-6.980761973304	-11.04846422930	4.4623834078442	8.9655034554012
525	4502541464651	.07166106895562	-7.215712225942	-7.054045174354	4.6873378557258	9.0463410192653
55	45015415849857	-1.102398006345	-7.347786424968	-2.767638788559	4.9145404456644	9.1491948271087
575	4454807254259	-1.2943022093582	-7.369460357209	1.8325176635238	5.1445599109215	9.2757938067858
6	43620917905154	-4776826416809	-7.272647528060	6.7699194801458	5.3780052476279	9.4275733557541
625	42238809135452	-6573291738562	-7.048657339909	12.069644277374	5.6155175169948	9.605591750684
65	40414464504277	-8299659744787	-6.688157651624	17.758140643633	5.8577594603665	9.8104371377365
675	38169040090935	-9920769293835	-6.181143345074	23.862946130521	6.1054026856632	10.042124538373
7	35532748217625	-1.139888560272	-5.516912774093	30.41232400484	6.3591121702987	10.299982369884
725	32545519126758	-1.269352456177	-4.684054247775	37.434806999979	6.6195278138374	10.58252804725
75	29257706839227	-1.376127493842	-3.670445008204	44.958634926542	6.8872427634881	10.887332296194
775	25730839374793	-1.455562188130	-2.463265507303	53.011071432534	7.1627782268198	11.210871857003
8	22038412586969	-1.502677587666	-1.049032173169	61.617583466649	7.4465544783667	11.548370283483
825	18266725740445	-1.512151215088	.5863477134373	70.800865149848	7.7388577593129	11.893626527785
85	14515755612718	-1.478302646735	2.4574949349161	80.579685894128	8.0398027610831	12.238830934193
875	10900064303847	-1.395081434383	4.5794464249943	90.967540860422	8.3492903728877	12.574368125462
9	07549734057023	-1.25605819303	6.9675073460765	101.97108040563	8.6669603580682	12.888606033421
925	04611320193155	-1.054419814398	9.637061378737	113.58829427175	8.992138601906	13.167669977226
95	022488107082	-.7829699166565	12.603332838471	125.80642622191	9.3237785411914	13.39520019835
975	00644578134815	-4341358066933	15.881093638158	138.59959601928	9.6603963392556	13.552090583241
1	00000000000000	00001658833459	19.484307565415	151.82210859455	9.9999993042528	13.616205391291

NOMBRE D'ITERATIONS NECESSAIRES := 13

Tableau IV-11

Rero = 20


z	f	f'	f''	f'''	g	g'
0	0	0	30.020779145795!	-125.4289132560!	0	15 046027553954!
025!	00757293288968!	71786306838758!	26 88679428765!	-125.2003242347!	37614352882818!	15 045470110382!
05!	03227692356649!	1 3574776729176!	23.763999736219!	-124 4521922481!	75221386700203!	15 038529360826!
075!	07215967184489!	1 919254759347!	20 664844709252!	-123 2355827891!	1.12799775856!	15 020221734461!
1!	12528229546148!	2 4039036933385!	17.600566859795!	-121.5953098096!	1 503172307781!	14 986994297152!
125!	18972648727052!	2 8124035983252!	14 581348348682!	-119.5699622717!	1 8773402888302!	14 936679645441!
15!	26360099646323!	3 1459785856375!	11 616470995586!	-117.1919477561!	2 2500642356383!	14 868442631734!
175!	34504753086561!	3 4060768543461!	8 714470720921!	-114 4874933605!	2 6208991627014!	14 782724033599!
2!	43224617697322!	3 5943536581061!	5 8832928484627!	-111.4765570566!	2 9894238815559!	14 681184972374!
225!	52342043481!	3 7126581868238!	3.1304508908429!	-108.1726138377!	3.3552709602148!	14 566654689337!
25!	61684196664305!	3 763024485048!	4631922331632!	-104.5822902448!	3.7181554266246!	14 443083202539!
275!	71023516257108!	3 7476666206334!	-2.111325289728!	-100.7048283687!	4 0779023448736!	14 315499377334!
3!	80378163241814!	3 6689784215308!	-4.585841519513!	-96 53136657441!	4 4344733965383!	14 189974020834!
325!	89412474248039!	3 5295382115296!	-6 952782138010!	-92.04402945520!	4 7879925805343!	14 07358672128!
35!	98037432767248!	3 3321190939983!	-9.204022065717!	-87.21482443157!	5.138771103611!	13 974394262191!
375!	1 0611117246001!	3 0797054530172!	-11 33061928038!	-82 00434747744!	5.4873314697867!	13 901397514044!
4!	1 1349952890681!	2 775516460593!	-13.32251436109!	-76 36030617136!	5.8344306893466!	13 864502713062!
425!	2007665824538!	2 4230374933709!	-15.16819133737!	-70.21587505599!	6 1810824146088!	13 874471953664!
45!	2572574350821!	2 0260604682603!	-16 85429588076!	-63 48790650271!	6.5285776680887!	13 942856533011!
475!	303398120956!	1 5887341986743!	-18.36520755723!	-56.07503019574!	6.8785036562651!	14 081905488221!
5!	3392269065265!	1 1156259456183!	-19 68256380733!	-47.85568617593!	7 2327599562025!	14 304440267332!
525!	1.360901266056!	6117953834445!	-20.78473458628!	-38.68615026579!	7.593571120478!	14 623684996501!
55!	1 3707110867839!	08288221026025!	-21.64624823104!	-28.39862675783!	7 9634944666087!	15 053040286201!
575!	1 3670942175538!	- 464791402093!	-22 23717118235!	-16.79950165098!	8 3454214999722!	15 605787011614!
6!	1 349654743559!	-1 024102415144!	-22 52244673677!	-3.667870746646!	8.7425710650484!	16 294705073313!
625!	1 3181843958721!	-1 586991645608!	-22 46120110944!	11 245518923493!	9 1584719314141!	17 131590868278!
65!	1 2726875255448!	-2 144310904707!	-22.00602883677!	28.21874772708!	9.5969321029021!	18 12665615306!
675!	1 2134100860284!	-2 685652204437!	-21.10227405456!	47.558422120137!	10 06199169707!	19 287790223054!
7!	1 1408730717197!	-3 199159148634!	-19.68732959684!	69.598353041575!	10.557855785274!	20 619666899216!
725!	1 0559108512916!	-3.671321241637!	-17 68998237201!	94.696924250565!	11 088803119275!	22 122677693431!
75!	1 9597148081535!	-4 086752638672!	-15.02984133355!	123.23280018673!	11.659066205501!	23 79167263475!
775!	1 85388265211883!	-4 427957866768!	-11 61689387430!	155 59854916524!	12.272677726918!	25 614490409191!
8!	1 74047369034763!	-4 675088307823!	-7.351247975448!	192.19166994946!	12.933277853673!	27 570259414397!
825!	1 62207023487983!	-4 805694909620!	-2.123131276161!	233.40240881515!	13.643876517606!	29 627450650854!
85!	1 50184517016571!	-4 794483737899!	4.1867653031127!	279.59764347351!	14.406564231164!	31 741661519914!
875!	1 38363549690054!	-4 613086170748!	11.706492471758!	331.09999610815!	15 222164471914!	33 85310580014!
9!	1 2720213964246!	-4 229852836155!	20.571467025001!	388.16123022122!	16 089819974047!	35 883779249016!
925!	1 17241000945955!	-3 609690871792!	30.922362281827!	450.92889854678!	17 006504388072!	37 734257701166!
95!	1 09112267994568!	-2 713962598849!	42 907084554704!	519.4051590058!	17 26644957492!	39 290073249427!
975!	1 03548385296775!	-1 500471282729!	56.651628689675!	593.39669399112!	18 960477152787!	40 36758504511!
1!	1 01390916347213!	076435706452!	72.304579993995!	672 45475929504!	19 975220498664!	40 809231020959!

NOMBRE D'ITERATIONS NECESSAIRES: I = 12

Tableau IV - 12

Rero= 30

Z	f	f'	f''	f'''	g	g'
0	0	0	47.266633128693!	-189.1509054454!	0	19.358176140582!
.025!	01193958368173!	1 1324199784588!	42 540715382677!	-188.7777236518!	.48393988279608!	19 357044281276!
.05!	05095997454314!	2.1468562374092!	37.83288727942!	-187.5781701033!	.96773094333128!	19 342923054685!
.075!	11411786280355!	3.043966408386!	33 162519268012!	-185.6743856621!	1.4509379293485!	19.305528694546!
.1!	19849118984058!	3 8248616614364!	28 546072459638!	-183.1747060571!	1.9328971971629!	19.237321237454!
.125!	30118975583731!	4 4910375293004!	23.997438370952!	-180.1742085717!	2.4127841333992!	19.133389071963!
.15!	.41936418536325!	5.0443130673406!	19.528263266677!	-176.7553982702!	2.8896775137826!	18.991318583398!
.175!	55021345507418!	5 4867779450804!	15 148255839096!	-172.9888257029!	3.3626205941219!	18.811064533792!
.2!	.69099117767413!	5.8207470840745!	10.865481673998!	-168.9334740250!	3.8306790797147!	18.594893045065!
.225!	83901082785227!	6 0487225822449!	6.68665161411!	-164.6367897216!	4.2929963816749!	18.346985810508!
.25!	.99165009149891!	6 1733628731458!	2.6174139959963!	-160.1342568559!	4.7488467553811!	18.073971438607!
.275!	1.1463545210029!	6.1974593426613!	-1 337336938317!	-155.4484307095!	5.1976870396363!	17.784287551605!
.3!	1.3006406883604!	6.1239209543336!	-5 173122140131!	-150.5873544931!	5.6392077848746!	17.488475288151!
.325!	1.4520990454786!	5.9557678120322!	-8 885492164633!	-145.5422846004!	6.0733845809309!	17.199146035162!
.35!	1.5983967286434!	5 6961350131533!	-12.46957681402!	-140.2846479550!	6.5005303713999!	16.931038362071!
.375!	1.7372805828039!	5.3482886176774!	-15.91954998890!	-134.7621517837!	6.9213494698217!	16.701101064113!
.4!	1.866580732335!	4.9156560799804!	-19 22798770707!	-128.8939641016!	7.3369938654779!	16.528595747218!
.425!	1.9842150895089!	4.401874062565!	-22.38509521671!	-122.5648848725!	7.7491222112268!	16.435209309041!
.45!	2 0881952713087!	3.8108571730795!	-25 37777720351!	-115.6184358675!	8.1599616054158!	16.445162793272!
.475!	2.1766344906633!	3 1468918336105!	-28.18852345760!	-107.8488144808!	8.5723718925228!	16.585298229974!
.5!	2.2477581006947!	2 4147601943387!	-30.79408128493!	-98.99168609169!	8.9899116863348!	16.885119054829!
.525!	2 2999176008963!	1 6198997250065!	-33 16388575420!	-88.71383406249!	9.4169046348353!	17.376752391619!
.55!	2.3316090624627!	.7686048308974!	-35 25821997658!	-76.60174937315!	9.8585035644321!	18.094792808118!
.575!	2 3414970957179!	- 1317224924035!	-37.02608051827!	-62.14932678968!	10.320749028505!	19.075977120286!
.6!	2 328445664072!	-1.072265380262!	-38.40272833863!	-44.7449455601!	10.810617408442!	20.358628533743!
.625!	2.2915572430862!	-2.042420203706!	-39 30691403733!	-23.65835536035!	11.336052045408!	21.981796111188!
.65!	2 2302220250882!	-3.029351907522!	-39.63777855055!	1.972029855897!	11.905968896322!	23.984002607087!
.675!	2 1441790719865!	-4.017468634081!	-39.27144784619!	33.15059545817!	12.530225896627!	26.401500594504!
.7!	2.0335915110801!	-4 987808388104!	-38.05736403625!	71.033615140502!	13.21954257668!	29.26592405317!
.725!	1.8991380364064!	-5.917331868081!	-35.81442749576!	116.93444985789!	13.985353532012!	32.60121066416!
.75!	1 7421231021839!	-6 778117987485!	-32.32706746029!	172.32284644463!	14.83957611414!	36.419659209074!
.775!	1 5646082493494!	-7.536461759261!	-27 34141524058!	238.81569200429!	15.794269213403!	40.716976491694!
.8!	1.3695669569218!	-8.151880030733!	-20 56182837323!	318.15578361923!	16.861156261478!	45.466158157241!
.825!	1.1610652122063!	-8.576036841335!	-11 64810993847!	412.17420170512!	18.050981568469!	50.610035741801!
.85!	.944469589796!	-8.751610728687!	- 213889201141!	522.73074065953!	19.372664745762!	56.052305023508!
.875!	.7266839452496!	-8 611139146488!	14 173218662998!	651.62559679803!	20.83221307304!	61.646823494732!
.9!	.51641477343437!	-8.075892575145!	31.988872566471!	800.47422481237!	22.431345928903!	67.184920838729!
.925!	.3244637424672!	-7.054853125783!	53 745669167946!	970.53607351939!	24.165778308722!	72.380396322408!
.95!	.16404376107742!	-5.443900338986!	79.981951653694!	1162.4869612436!	26.02310121359!	76.85176726805!
.975!	.05111202170776!	-3 125341057266!	111 24424349039!	1376.12436861!	27.980184100655!	80.101161233537!
1!	.00470962286081!	.0320389622251!	148.06152142776!	1609.9952724992!	30.000006721179!	81.488972820577!


 code de l'Etat

NOMBRE D'ITERATIONS NECESSAIRES: != 1:

Tableau N-13

Rero = 50

Z	f	f'	f''	f'''	g	g'
0	0	0	74.378046419793	-286.3640290940	0	27.298231875868
025	0188099781775	1.7849014521845	67.224594183066	-285.6287204648	.6824235430077	27.295715181076
05	08038161325515	3.3912889631452	60.10654767083	-283.2941676153	1.3645157632644	27.264260779475
075	18026430090515	4.8204406703822	53.060801162209	-279.6531676352	2.0453043705909	27.180666779639
1	31404843645068	6.0744832421958	46.117249442559	-274.9679779063	2.7232970815066	27.027459075874
125	47738486426177	7.1562246486022	39.299523593588	-269.4731111778	3.3966210444315	26.792520843801
15	66600033221907	8.0690045240473	32.625647992803	-263.3788975758	4.0631524746197	26.468678037556
175	87570936927057	8.8165600087363	26.108606567301	-256.8751439888	4.7206359384334	26.053291099526
2	1.1024229494046	9.4029048153874	19.756821078013	-250.1344089797	5.3667938476932	25.547890511632
225	1.3421542506443	9.8322194512445	13.574554747418	-243.3145502462	5.9994275590099	24.95788390724
25	1.5910217700167	10.108750939597	7.56226216023	-236.5602876204	6.6165120876605	24.29235524122
275	1.8452500199891	10.236720971507	1.7169123626088	-230.0035603141	7.2162869050639	23.563971681759
3	2.1011680125757	10.220242149099	-3.967682338152	-223.7624480471	7.7973456481506	22.7890109696
325	2.3552057377739	10.06324285735	-9.500493156373	-217.9383776719	8.3587278700831	21.987520431552
35	2.6038888670644	9.769402347515	-14.89281070178	-212.6112549494	8.9000162325779	21.183618027962
375	2.8438319651276	9.3420988796229	-20.15763331334	-207.8320491791	9.4214427925065	20.405945096597
4	3.0717305798307	8.7843753205987	-25.30883800043	-203.6122196375	9.9240082641022	19.6882790800
425	3.2843527098831	8.0989285122386	-30.36004719885	-199.9092105080	10.409618317527	19.07031160418
45	3.4785303315873	7.2881311083399	-35.32308334517	-196.6070595682	10.881241055135	18.598591725376
475	3.6511519136421	6.3540975438106	-40.20587739368	-193.4909721874	11.343089708967	18.327624623706
5	3.7991571776988	5.2988094599451	-45.00966664423	-190.2145170021	11.800834209993	18.321100801762
525	3.9195357910329	4.1243203903756	-49.72528174388	-186.2579196267	12.261844428201	18.65320787303
55	4.0093322279556	2.8330649245436	-54.32828309436	-180.8757906342	12.735466353738	19.409943822699
575	4.0656597327329	1.4283040000985	-58.77266449409	-173.0325595998	13.233329998072	20.690304363747
6	4.0857271849234	-.0852545216107	-62.98279907071	-161.3239496715	13.769683982313	22.607154622962
625	4.0668837347223	-1.700612300936	-66.84326333163	-143.8830910731	14.361746211743	25.287513782522
65	4.0066873657337	-3.407356857932	-70.18614558377	-118.2704456515	15.030052200867	28.871877679381
675	3.903005074697	-5.190190685188	-72.77543438454	-81.34775874915	15.798771938457	33.512076626497
7	3.7541541400503	-7.027036085075	-74.28810521136	-29.13800776548	16.695952051709	39.367012835053
725	3.5590959723134	-8.886629842241	-74.29160036293	43.323873501287	17.753621814605	46.595444000997
75	3.3176962554193	-10.72551576514	-72.21755953112	142.14036267454	19.007678635697	55.344778037908
775	3.0310674047772	-12.48434240374	-67.33195153574	274.68514548089	20.497440471908	65.734619576245
8	2.7020116127562	-14.08338176392	-58.70224352815	449.69622523777	22.264718566784	77.833560200075
825	2.3355846382775	-15.41720823152	-45.16300330587	677.2901286783	24.352223326288	91.627423780775
85	1.9398015737612	-16.34852302303	-25.28245990471	968.8417656696	26.801068043472	106.97684692328
875	1.5265054174773	-16.70118863222	2.665849478314	1336.6532273414	29.647077946838	123.56165676206
9	1.1124164351884	-16.25266277619	40.720049208601	1793.3103944745	32.915542923924	140.80894449133
925	7203737117206	-14.72620710375	91.226418955654	2350.6004651827	36.613966669508	157.80092822742
95	38076828755047	-11.78350824671	156.80288774291	3017.8387871199	40.722255371004	173.15749672448
975	13314777107327	-7.018703076162	240.25277225466	3799.4323805843	45.179642683932	184.88643986286
1	02794287176205	0447404418913	344.40930285934	4691.4943824838	49.867442013371	190.19121641886

NOMBRE D'ITERATIONS NECESSAIRES: I= 11

Tableau IV - 14

Revo = 70

Z	f	f'	f''	f'''	g	g'
0	0	0	101.10379639656	-401.9500586486	0	37.9954999948782
025	02554405493664	2.4229674095503	91.0659927902	-400.5243107979	9498265218845	37.990746086911
05	10905215978927	4.5956150359181	81.096888466777	-395.9917587227	1.899027770955	37.931406292953
075	24429008904222	6.5204248098204	71.268289473285	-388.9084870443	2.8457726178164	37.774025226129
1	42510329884592	8.2015337417154	61.638725566049	-379.7710440682	3.7872585899187	37.486094274032
125	64545496110415	9.6444170367547	52.254869949299	-369.0233816745	4.7199757566785	37.045089641937
15	89945643069572	10.855604704493	43.152762642257	-357.0657784790	5.639945149011	36.437390716209
175	1.1813909287779	11.8424263706	34.358804748542	-344.2641991327	6.5429300267565	35.657199588441
2	1.4857310870973	12.612778535655	25.890523514144	-330.9591089544	7.4246209490567	34.70554706278
225	1.8071508560891	13.17490874332	17.757128083765	-317.4731766596	8.280797445192	33.589443594578
25	2.1405321472947	13.537211742671	9.959887190453	-304.1175550732	9.107470344019	32.321215292145
275	2.4809664664271	13.708033579457	2.4923663940413	-291.1965466647	9.9010097029083	30.918054335215
3	2.8237517019451	13.695480539758	-4.659432799216	-279.0104589035	10.658263956463	29.401808569081
325	3.1643841685069	13.507230984775	-11.51698377401	-267.8563516583	11.376676521423	27.799035240552
35	3.4985459688177	13.150349410416	-18.10913809155	-258.0261855630	12.054406753544	26.141347561422
375	3.8220877367425	12.631103651158	-24.47194861633	-249.801598344	12.690462930024	24.466088805354
4	4.1310068680688	11.954788191527	-30.64831675831	-243.4441595558	13.284855872047	22.81737572253
425	4.4214214467025	11.125559276539	-36.68733447673	-239.1794706615	13.838782937913	21.247559740075
45	4.6895402534207	10.146291216303	-42.64314471001	-237.1728701723	14.354853379166	19.819158800331
475	4.9316295297038	9.01846832734	-48.57308027275	-237.4937540427	14.837367376116	18.607312113874
5	5.1439775988345	7.7421337984398	-54.53475725276	-240.0646122981	15.292662293577	17.702800789619
525	5.3228590709584	6.3159259644806	-60.58169041633	-244.5898018770	15.729540550788	17.215653923231
55	5.4645012436258	4.7372446755343	-66.75686076322	-250.4578218643	16.15979355614	17.279314933025
575	5.5650565375315	3.0026064259701	-73.08349500288	-256.6094496952	16.59883478321	18.055266892948
6	5.6205864819653	1.1082675209519	-79.55211000835	-261.3625900280	17.066451349668	19.737895589812
625	5.6270650113825	-.9487792672958	-86.10263087823	-262.1832002702	17.587676144004	22.559189165236
65	5.5804118022976	-3.169296441266	-92.60011182376	-255.3904241320	18.19376993707	26.792614595127
675	5.4765702390099	-5.549603882418	-98.80228539774	-235.7835388477	18.92328282699	32.75515251699
7	5.3116495338188	-8.078465727582	-104.3168633287	-196.1793406234	19.82313405561	40.805990154179
725	5.0821567293848	-10.73278177967	-108.5462645033	-126.8526493563	20.949605384337	51.339744162268
75	4.7853519342788	-13.47174380081	-110.6173530449	-14.88222794757	22.369081934405	64.7712884277
775	4.4197692543641	-16.22905845799	-109.2940100985	156.57645739783	24.158291214819	81.508272592877
8	3.9859563546068	-18.90279216665	-102.8712315591	409.03591039375	26.40368086696	101.90620536404
825	3.4874969215634	-21.34237878754	-89.05139223634	769.32645916798	29.199432409373	126.19949399252
85	2.9323913633062	-23.33238243319	-64.80697644414	1269.9531402829	32.643424345225	154.39999103786
875	2.334879736109	-24.57277540242	-26.24023302442	1948.8416323413	36.83022296765	186.15225114922
9	1.7177934968939	-24.65584680802	31.540289366379	2848.003052362	41.839877932756	220.53160125202
925	1.1155136217334	-23.04049209280	114.49281942385	4010.4728712594	47.720909636652	255.76690226908
95	5775838321469	-19.02565324135	229.61355452962	5474.6989571632	54.465362452721	288.86391637553
975	17296834668502	-11.72619513492	384.73207755226	7265.384191048	61.973107000216	315.09628473702
1	-.00515979542423	056621227483	588.03079760789	9379.644180523	70.001605457006	327.31639195963

NOMBRE D'ITERATIONS NECESSAIRES: I = 20

Tableau 15

Rero = 75

Z	f	f'	f''	f'''	g	g'
0	0	0	109.15297219607	-442.489512465	0	41.566982213938
.025	.02756101584703	2.6136489049763	98.10383987277	-440.7824532587	1.0391025715051	41.561373186973
.05	.11759051715676	4.9518183243893	87.136988786772	-435.3522512686	2.0774678295448	41.491416946433
.075	.2632299913465	7.0174819573848	76.338546601219	-426.8578955737	3.1129396074828	41.306147634951
.1	.45771643455742	8.8156008293266	65.778924418502	-415.8862608208	4.142225431624	40.967707587059
.125	.69442808054074	10.352748558137	55.514534227257	-402.9607408406	5.1612117139717	40.450117230946
.15	.96692119046332	11.636777071589	45.589262292217	-388.5523216923	6.1652463888689	39.737892604192
.175	1.2689588473333	12.676516206626	36.035658693167	-373.0911547269	7.1493868305361	38.824662522848
.2	1.5945325276767	13.48150069287	26.875843604407	-356.9774459400	8.1086141856197	37.711890398371
.225	1.9378770473193	14.061713309994	18.1221545405	-340.5910256818	9.0380174982173	36.407770450807
.25	2.2934793144105	14.427351209844	9.777570920533	-324.2993026320	9.9329524878339	34.926344285113
.275	2.6560811801868	14.588588443916	1.8359578603647	-308.4634642727	10.789180835207	33.286869990559
.3	3.0206765607861	14.555352467887	-5.717825707732	-293.4427949109	11.602996566914	31.513470221431
.325	3.3825029140974	14.337098642019	-12.90790521130	-279.5968676697	12.371346790561	29.635086295859
.35	3.7370270968755	13.942585519759	-19.76739725141	-267.2851436762	13.091954758066	27.685770588617
.375	4.0799256040513	13.379650314736	-26.33837243820	-256.8631826718	13.763454126494	25.70535796003
.4	4.4070592131039	12.654986614716	-32.67167727763	-248.6742258465	14.385544410513	23.740567271194
.425	4.7144421359165	11.773929200152	-38.82648134655	-243.034335879	14.959179007937	21.846594620883
.45	4.9982059405741	10.740254695516	-44.86936319993	-240.2085457759	15.486798816588	20.089268754615
.475	5.2545587775965	9.556012177014	-50.87267541194	-240.3745474799	15.972626273616	18.547843229609
.5	5.4797408729097	8.2214053379878	-56.91183085564	-243.5693121574	16.42303647834	17.318495124271
.525	5.6699778925092	6.7347580638816	-63.06102300314	-249.6126477782	16.847023622253	16.518580212894
.55	5.8214347191541	5.0926091340937	-69.38672626090	-258.0000449439	17.25678178145	16.291650893599
.575	5.9301735102042	3.2900002551587	-75.93811135105	-267.7552341041	17.668418513539	16.813163820259
.6	5.9921217554637	1.3210459143934	-82.73324889723	-277.2307033949	18.102816590532	18.296673280965
.625	6.0030585832684	-.8200950445448	-89.73965633882	-283.8420966238	18.586652096105	21.000103563127
.65	5.9586309651277	-3.137686251019	-96.84736720309	-283.7201424992	19.153563967871	25.231393856964
.675	5.8544159228833	-5.632109231556	-103.8322735656	-271.2620284322	19.84544814943	31.352383301791
.7	5.686051109011	-8.296516613326	-110.3070345536	-238.5638782401	20.713815336644	39.779218683519
.725	5.449462241486	-11.11209997988	-115.6564106214	-174.7190490929	21.821100513355	50.976787849525
.75	5.1412280984498	-14.04154733725	-118.9535896007	-64.97660607349	23.241739831632	65.44367129334
.775	4.7591318042348	-17.02017920503	-118.8541342736	110.22400268483	25.062729706942	83.682822404088
.8	4.3029635489973	-19.94417502365	-113.4649844959	376.28419272391	27.38324697476	106.15158296249
.825	3.7756537285785	-22.65525741009	-100.1881042285	765.41271371376	30.312728781288	133.18263769615
.85	3.1848315231932	-24.92123364190	-75.54277237885	1317.2811602013	33.966575307459	164.86498051023
.875	2.5449173298995	-26.41196978148	-34.97834046613	2078.955235716	38.458332088533	200.87068877702
.9	1.8798641287161	-26.67079203993	27.298184088895	3103.4727639546	43.886809550127	240.2089407555
.925	1.2266553423456	-25.08210265030	118.43696830061	4446.1756567583	50.316073181344	280.88275586954
.95	.6396341134705	-20.83731828969	246.93488317901	6157.65069282	57.745540681878	319.41558179694
.975	.19566624715705	-12.90325287212	422.40047449109	8271.8576647617	66.066477393983	350.20251502219
1	.00000733854375	.000066739735	654.95749487054	10787.813839114	74.999852770493	364.62072846675

NOMBRE D'ITERATIONS NECESSAIRES: I = 16

Tableau IV-10

Revo = 80

Z	f	f'	f''	f'''	g	g'
0	0	0	118.25516757841	-490.9874350080	0	45.662583433524
0.025	0.02983665672288	2.8285857516823	105.99629881636	-488.9269339380	1.1414789683807	45.655916487
0.05	0.12720114565741	5.3516037559443	93.83676880508	-482.3697354943	2.2820822162293	45.572852944449
0.075	0.28448865582595	7.5726450890538	81.880666714506	-472.1051619433	3.4192534672389	45.353277122083
0.1	0.49420974793538	9.4977045781063	70.213281849479	-458.8337838588	4.5491006760084	44.952956300644
0.125	0.74904572284556	11.134733162878	58.903215029919	-443.1782759849	5.666776948573	44.341952990263
0.15	1.0418933263132	12.493239921513	48.004183774419	-425.6972668983	6.7668194750419	43.502843568883
0.175	1.365899946984	13.583935540572	37.556473518542	-406.8997123022	7.8434437334343	42.42893673209
0.2	1.7144902511335	14.418408373974	27.588037875537	-387.2583448469	8.8907943829903	41.122622068296
0.225	2.0813849796047	15.008824624437	18.115279136741	-367.2214870697	9.9031570155175	39.593932229991
0.25	2.4606124300618	15.3676451064	9.143553027471	-347.2229660612	10.875136676742	37.859370885805
0.275	2.8465129710291	15.507352197071	0.6674457943868	-327.6900818375	11.801810172696	35.941040669349
0.3	3.2337367869346	15.440181791541	-7.329127545886	-309.0496049128	12.678859944201	33.866098036293
0.325	3.6172349365598	15.177856312274	-14.87295319374	-291.7316509324	13.502697965849	31.666562819686
0.35	3.9922437220993	14.731316145559	-22.00161986714	-276.1710237141	14.270588886845	29.379517239135
0.375	4.3542623160749	14.11044843412	-28.76362047816	-262.8052375534	14.980782613392	27.04774043261
0.4	4.6990235867425	13.323814171355	-35.21835833999	-252.0679142959	15.632667828376	24.720838674715
0.425	5.0224581139695	12.378377327655	-41.43592265015	-244.3755763964	16.226959606412	22.456946642966
0.45	5.320651520164	11.279243699417	-47.49643976354	-240.1049894524	16.765936316789	20.325089222998
0.475	5.5897954893724	10.029422830784	-53.48872444470	-239.5571044033	17.253743355782	18.40830326913
0.5	5.8261332613631	8.629634384158	-59.50784249775	-242.9022639480	17.696783761701	16.807619771956
0.525	6.0259010340449	7.0781915670737	-65.65104535175	-250.0996216662	18.104218149849	15.64699207808
0.55	6.1852676776342	5.371009700568	-72.01133958571	-260.7816306814	18.488598163884	15.079215093988
0.575	6.3002765766579	3.5018090079993	-78.66770022785	-274.0919560344	18.866657986071	15.292799652825
0.6	6.3667954246135	1.4626087360055	-85.67061550082	-288.4622389354	19.260286187533	16.519626232088
0.625	6.3804825951415	-0.755353425059	-93.02125223976	-301.3098329828	19.697693595932	19.042977819773
0.65	6.3367825443233	-3.160094952849	-100.6420473891	-308.6351064312	20.214779479586	23.205211196535
0.675	6.2309678548882	-5.756512757239	-108.3359603535	-304.4935973166	20.856674897951	29.413830812639
0.7	6.0582523619203	-8.542839945122	-115.7309784264	-280.3162260217	21.679404226678	38.144035230359
0.725	5.8140086934478	-11.50552475695	-122.2058036931	-224.0520225521	22.751548139251	49.934863027421
0.75	5.494134926231	-14.61201336859	-126.7920871223	-119.1164738112	24.155706930656	65.374818541645
0.775	5.0956292495374	-17.80079941174	-128.0483685172	56.84822029476	25.989443779518	85.071245918687
0.8	4.6174486951945	-20.96798683284	-123.9015051337	333.34565660693	28.365223433605	109.59566384451
0.825	4.0617477940817	-23.94952774555	-111.4536326635	748.38454230285	31.408640607438	139.3946565616
0.85	3.4356141624616	-26.49829640232	-86.75782970741	1349.5283967814	35.253938206429	174.65254969319
0.875	2.7534375262012	-28.25533287613	-44.57531329454	2194.1138353571	40.035426509497	215.08767369213
0.9	2.0400609031704	-28.71506880816	21.85689565818	3347.8122624941	45.872899425174	259.6580611654
0.925	1.3348580958689	-27.18531337706	120.9945382481	4880.3457655944	52.848457685562	306.1442535651
0.95	0.6968458651474	-22.74444984127	263.00386243825	6856.7796631146	60.971225672006	350.56547036722
0.975	0.21085202195862	-14.20090944638	459.49816410537	9322.4394764166	70.12518811795	386.36871749843
1	-0.054038750471	-0.63783754578	722.81045188812	12279.162252594	79.993596997856	403.30239474311

NOMBRE D'ITERATIONS NECESSAIRES: I= 39

Tableau IV-17

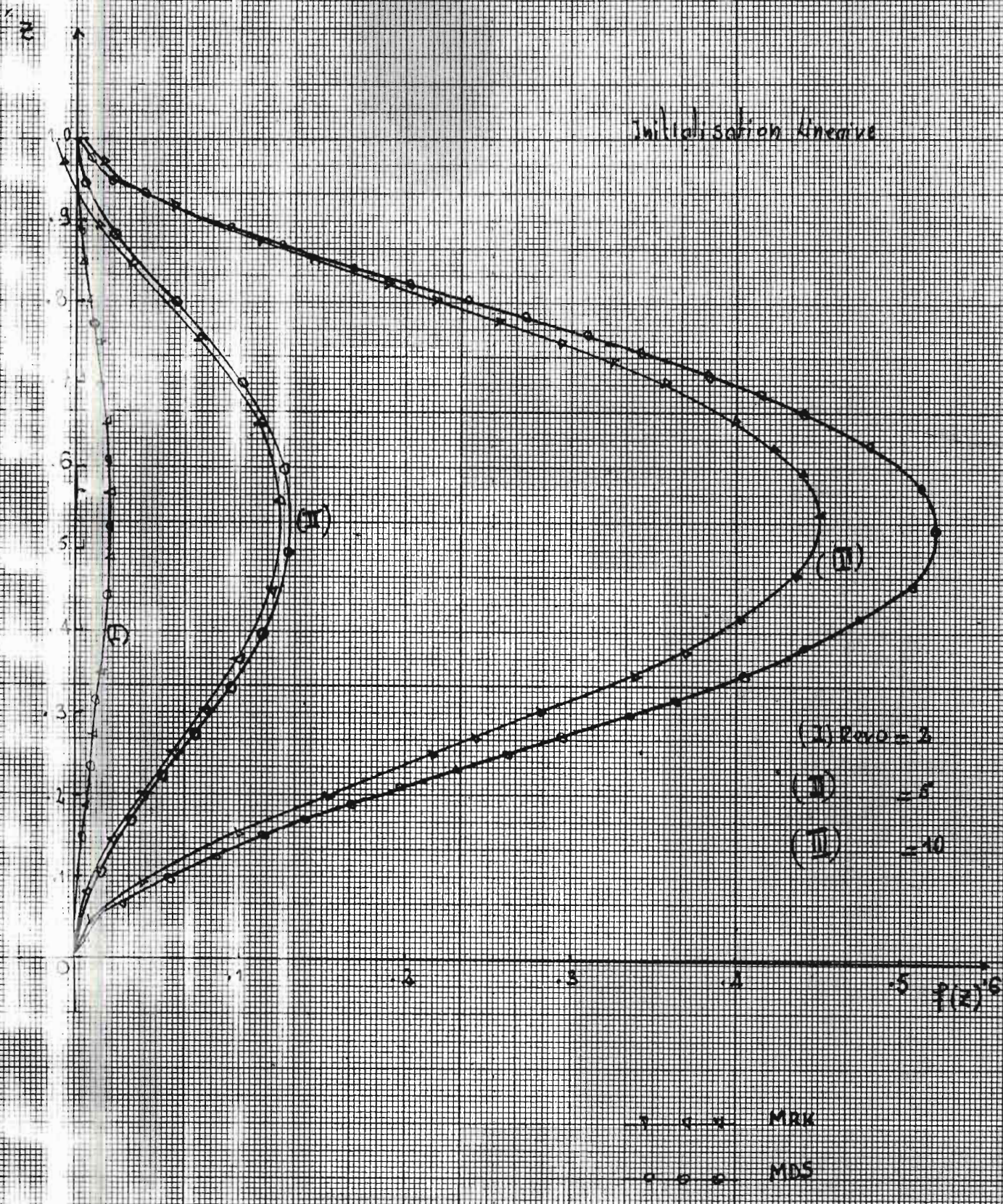


Figure 2 : Comparaison des resultats numeriques avec ceux de la methode de developpement en serie

Initialisation Lineaire

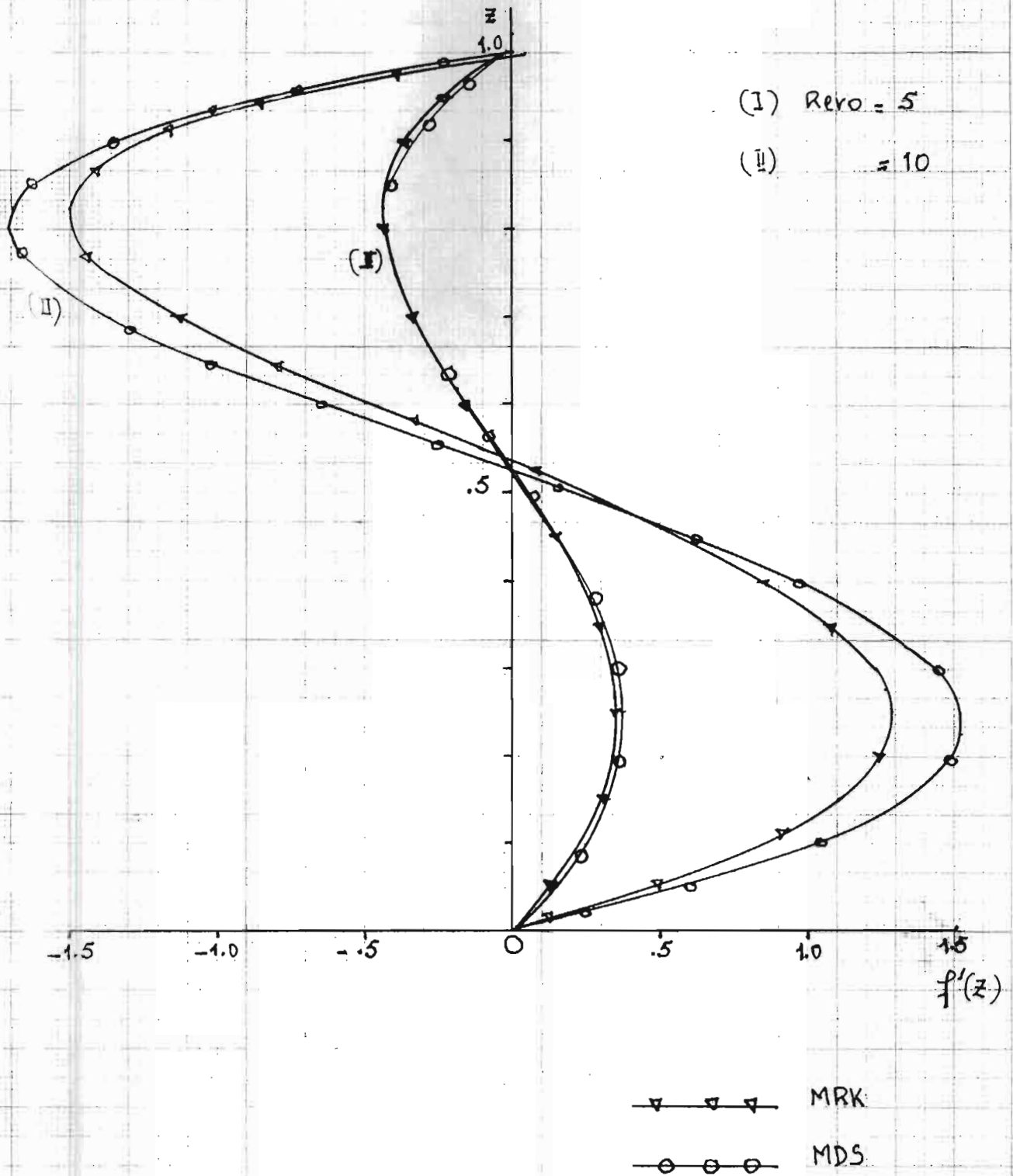
(I) $R_{\text{ero}} = 5$ (II) $= 10$ 

Figure 3 : Comparaison des resultats numeriques avec ceux de la methode de developpement en serie

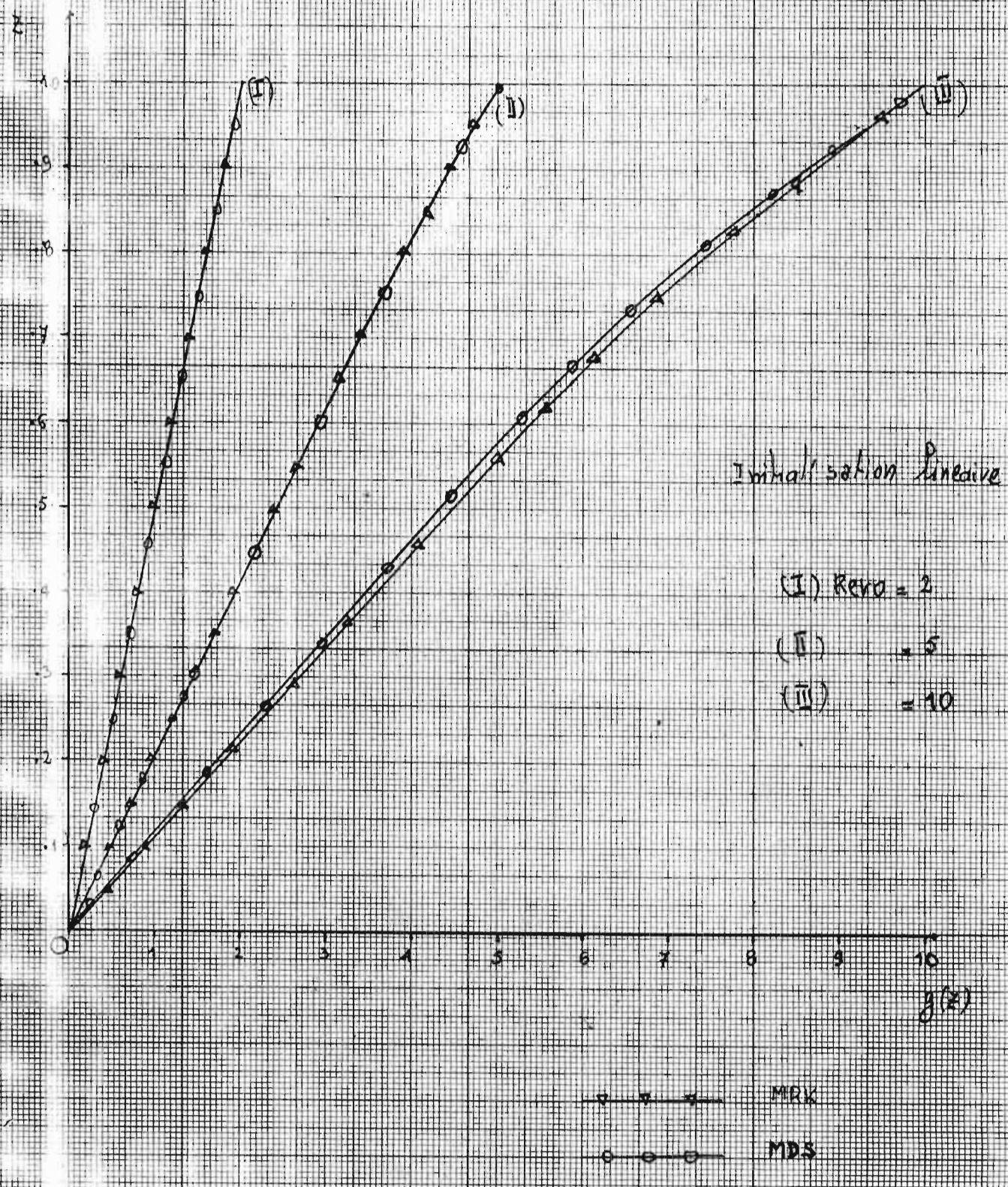


Figure 4 : Comparaison des resultats numeriques avec ceux de la methode de developpement en serie

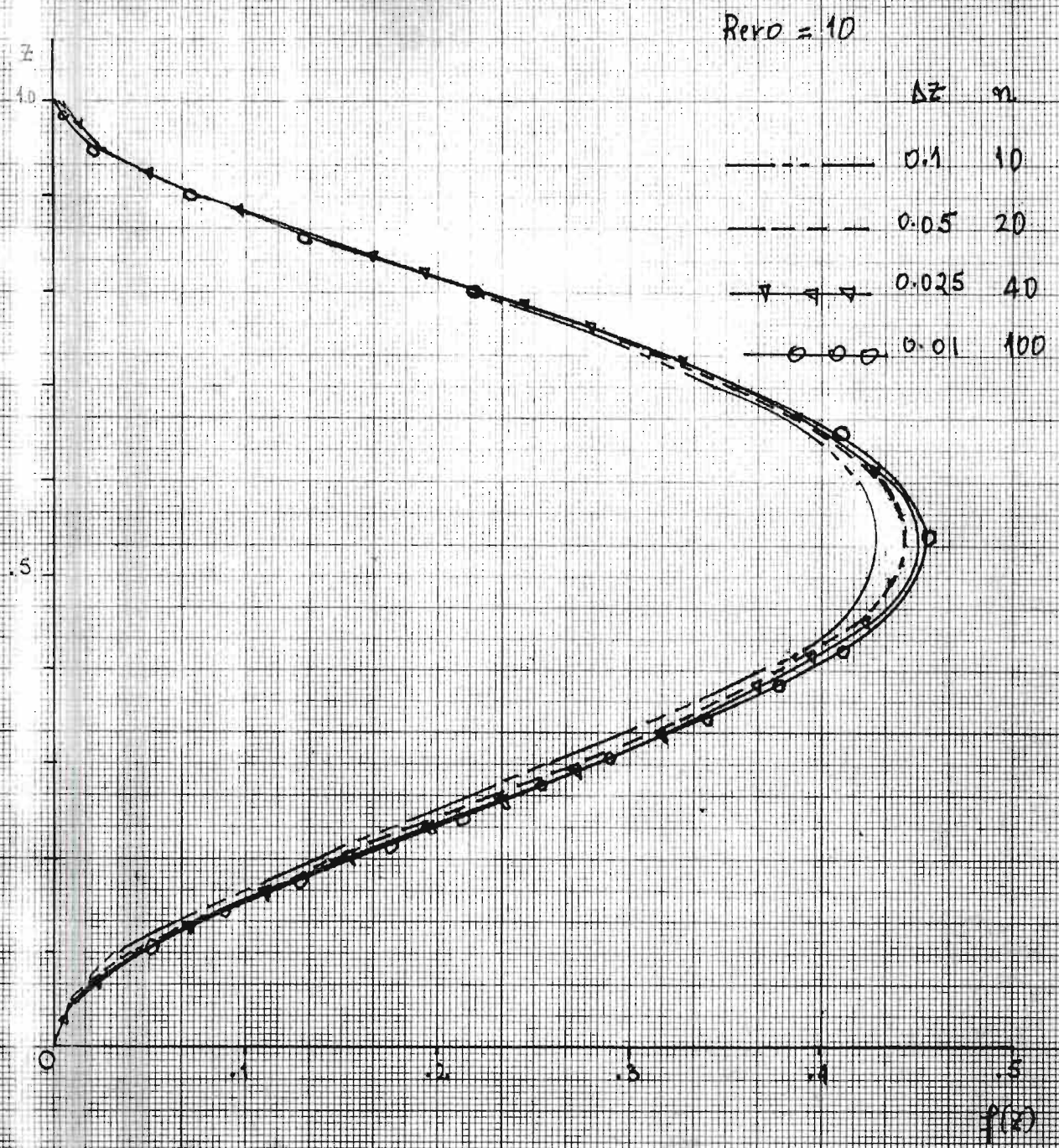


Figure 5 : Influence du pas Δz sur la fonction $f(z)$ (MRS)

Re ρ = 10

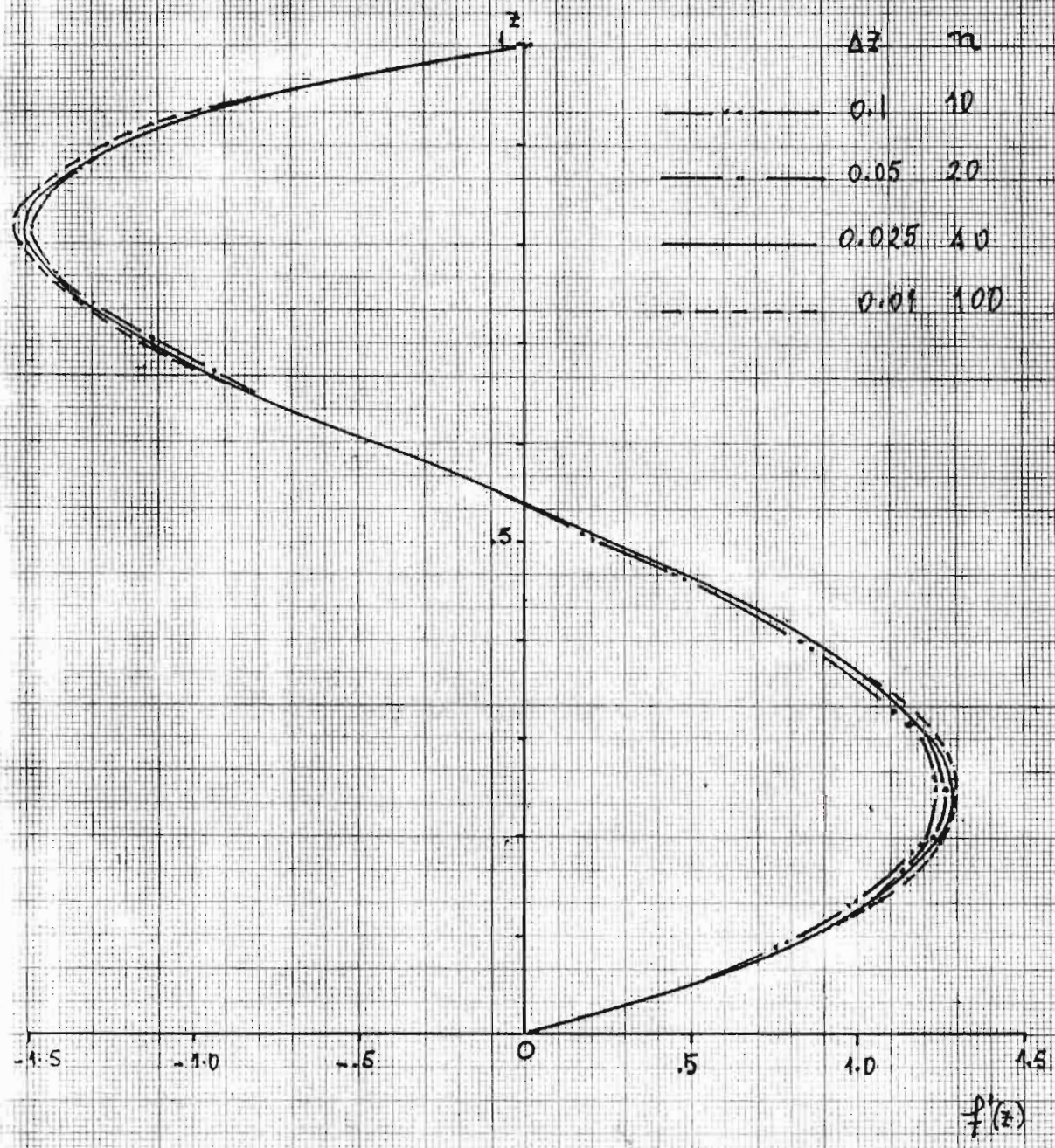


Figure 6 : Influence du pas Δz sur la fonction $f'(z)$ (MRK)

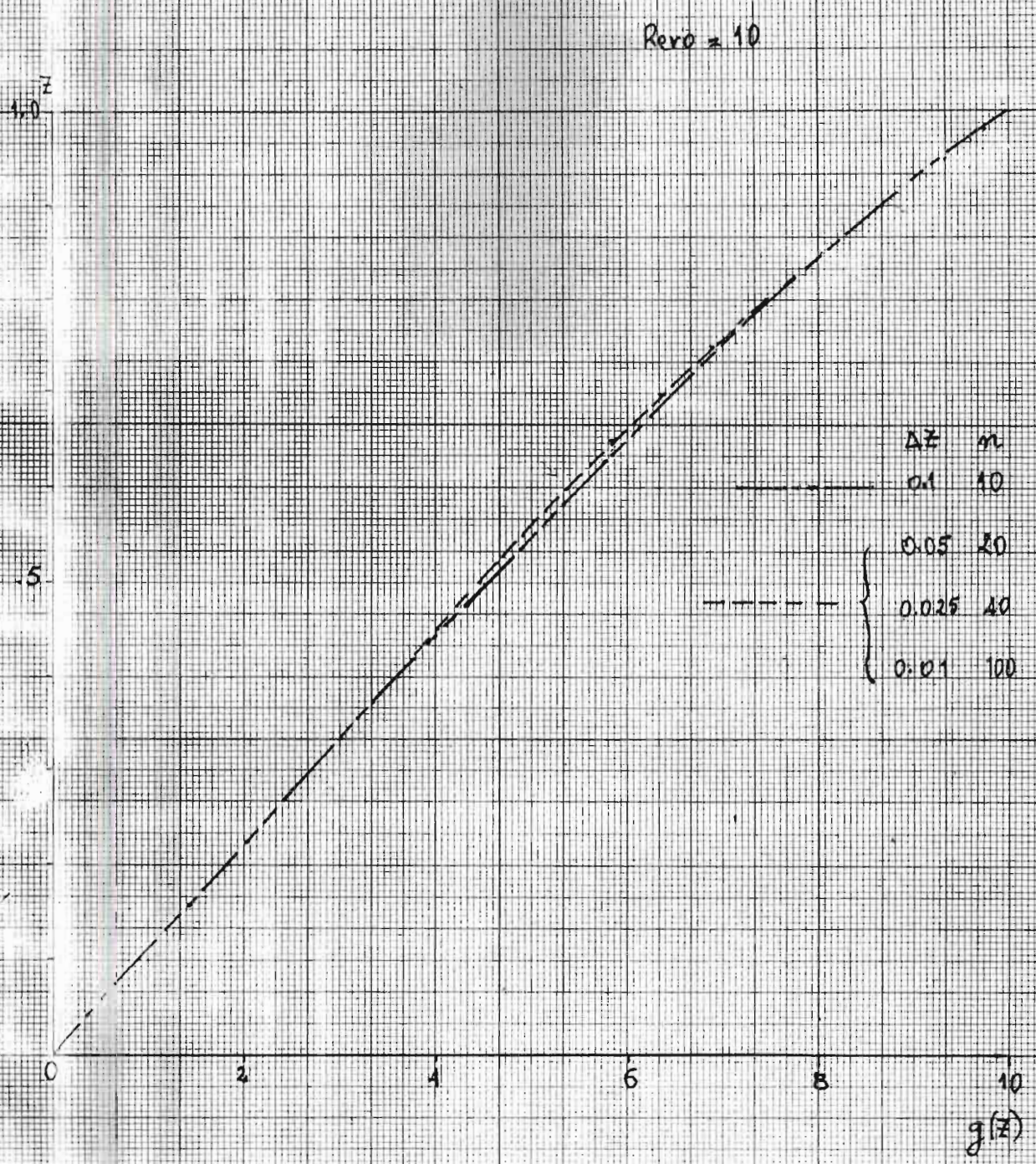


Figure 7 : Influence du pas Δz sur la fonction $g(z)$ (MRK)

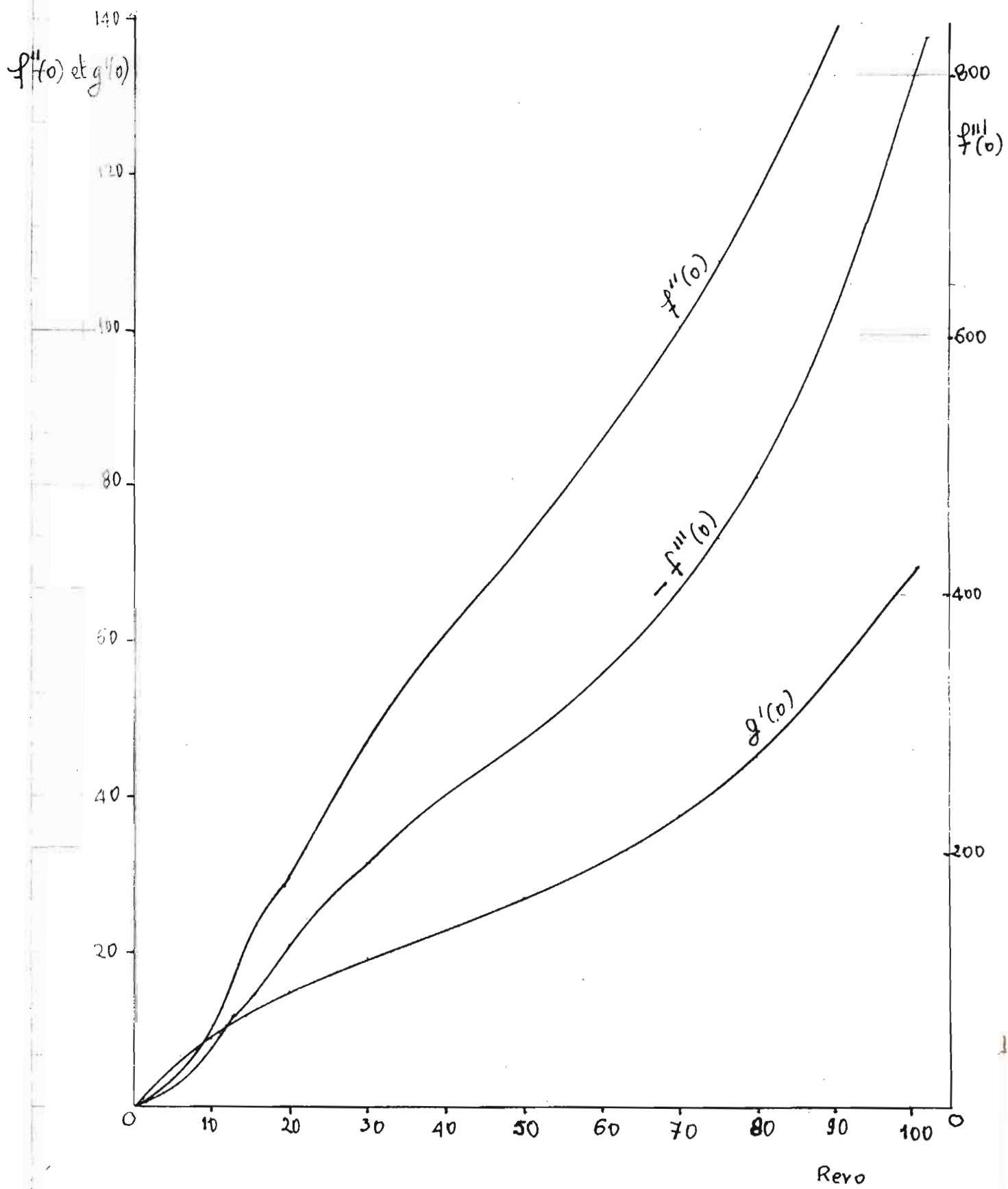


Figure 8 : Evolution de $f''(0)$, $g'(0)$ et $f'''(0)$ en fonction de Reynolds (MRK)

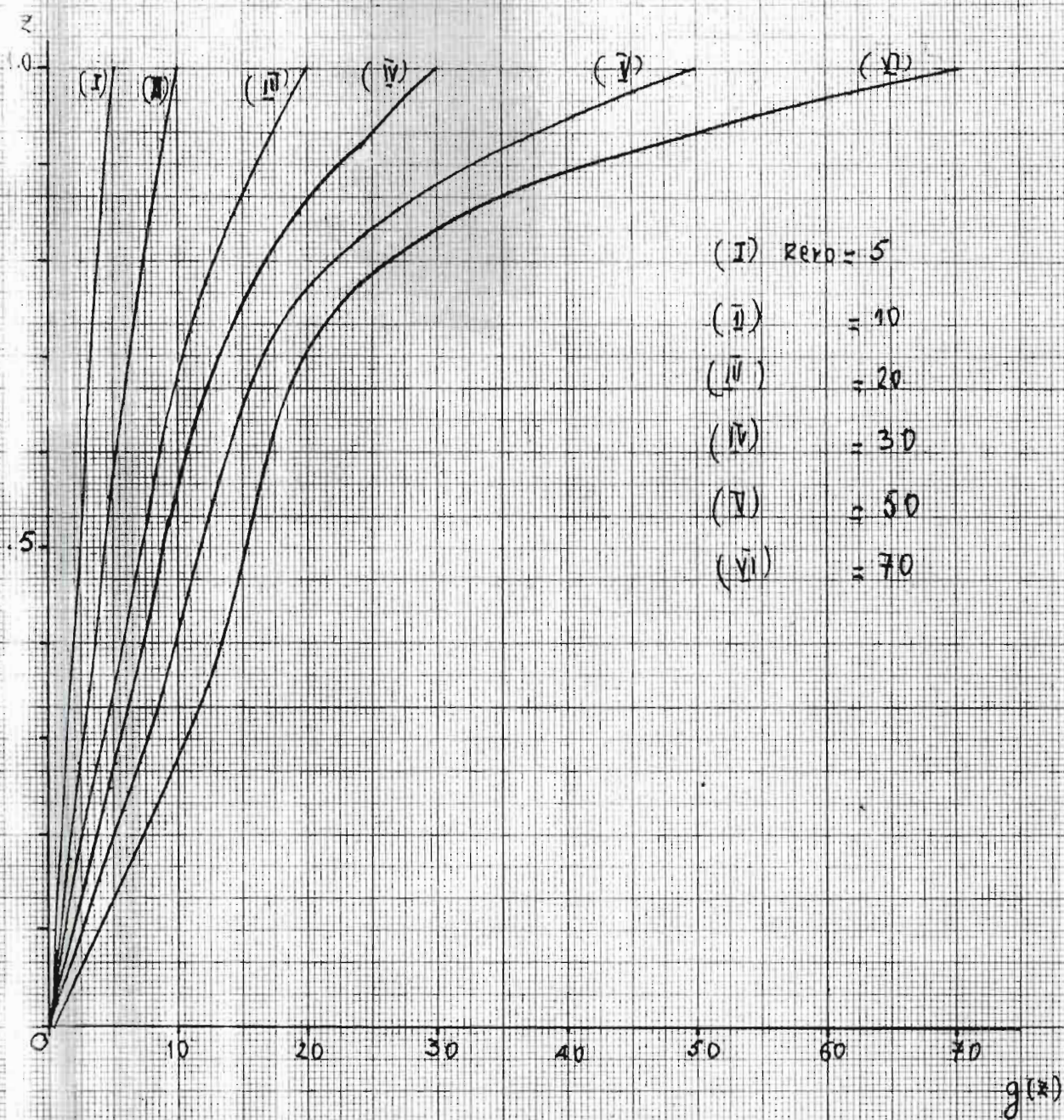


Figure 9 : Repartition de $g(z)$ en fonction des Reynolds.

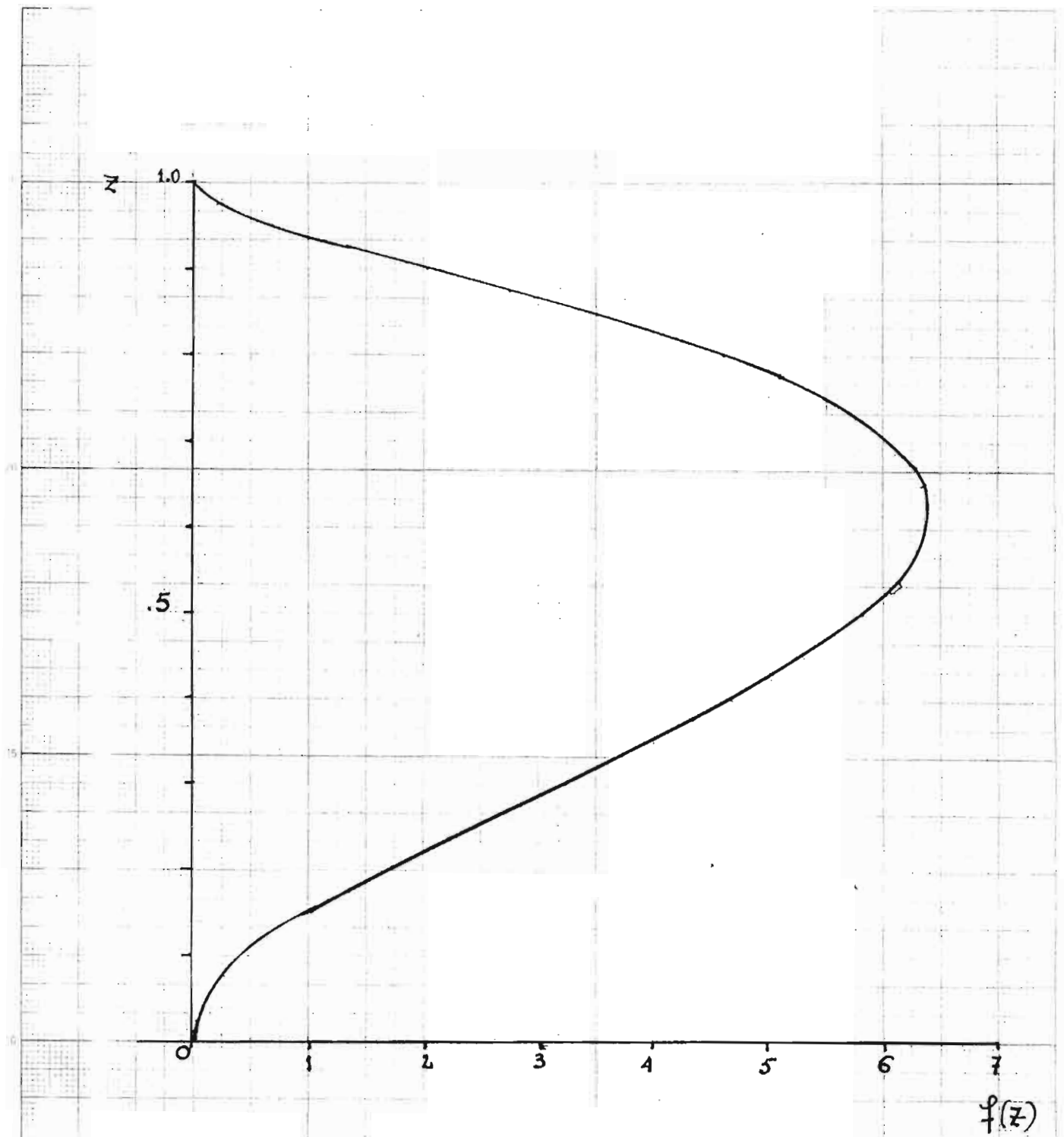


Figure 10 : Repartition de $f(z)$ pour Le Reynolds 80(MR12)

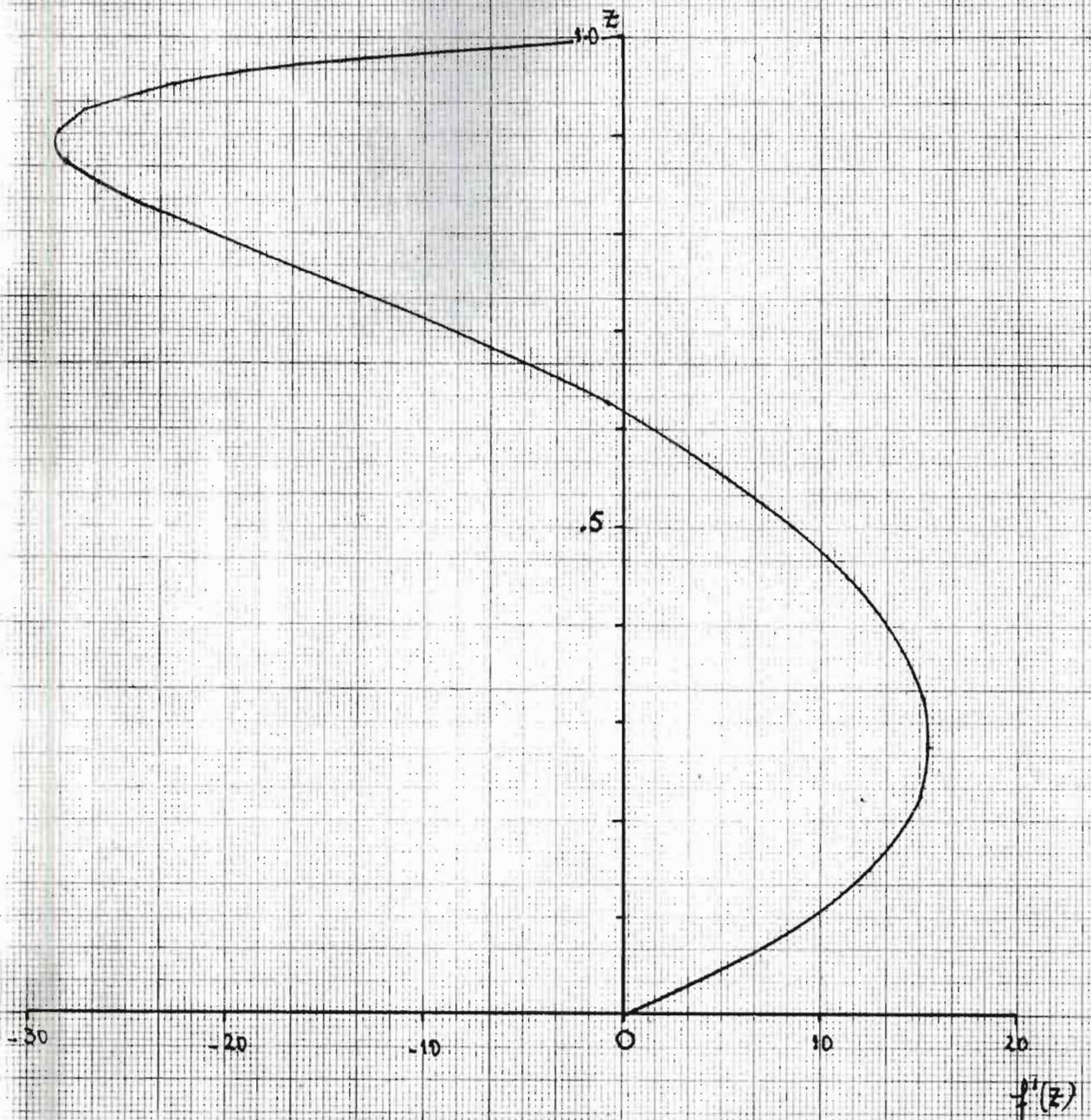


Figure 11 ; Repartition de $f'(z)$ pour Le Reynolds 80 (MRK)

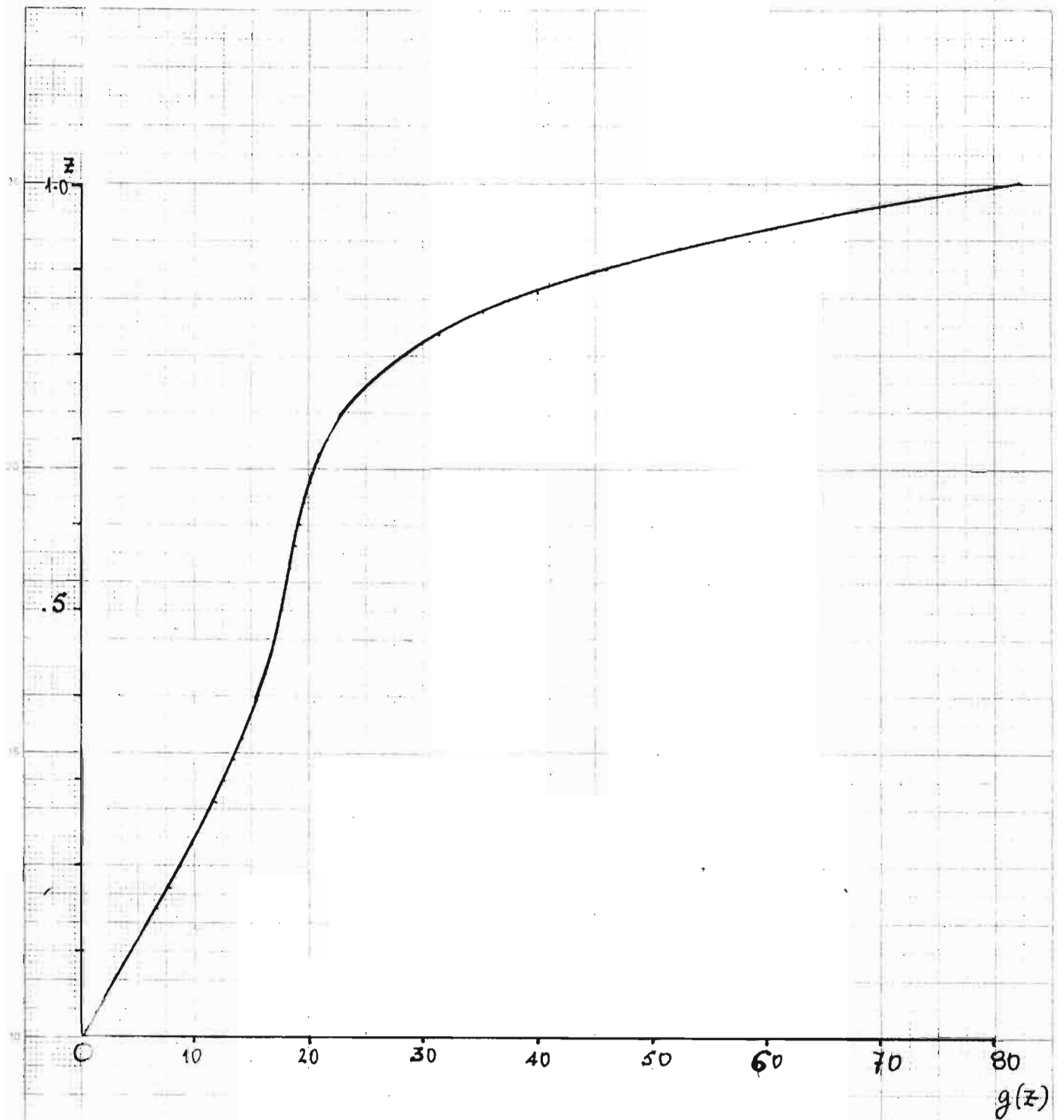


Figure 12 : Repartition de $g(z)$ pour le Reynolds 80 (MRK)

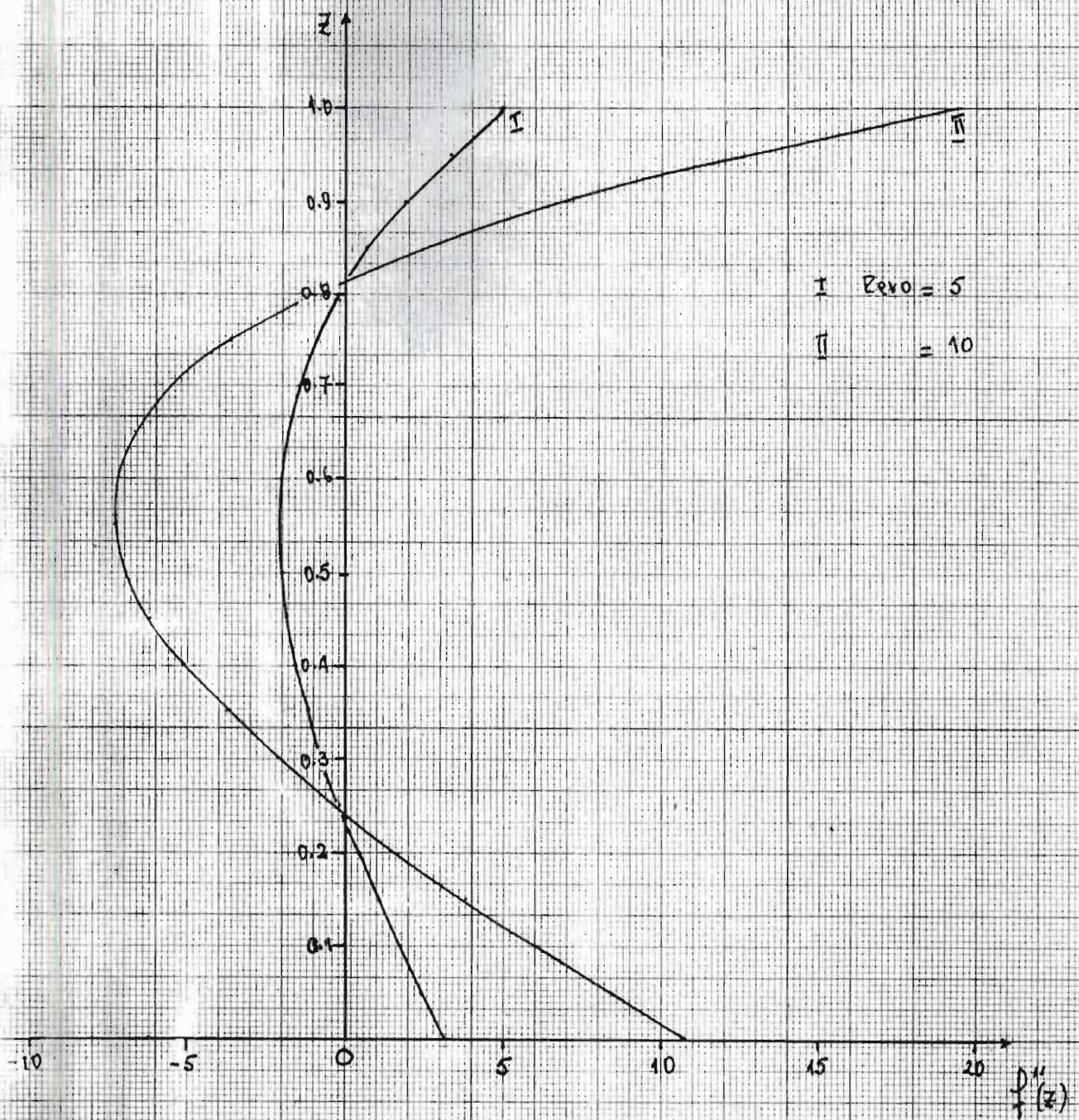


Figure 13 : Repartition de $f''(z)$ en fonction des Reynolds

δ_0

2

1

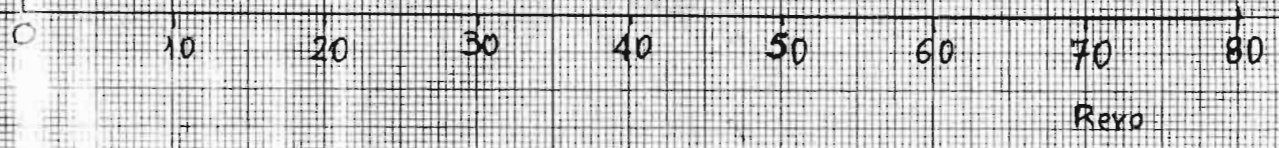


Figure 14 : Evolution de l'epaisseur de la couche limite au voisinage du disque fixe en fonction des Reynolds

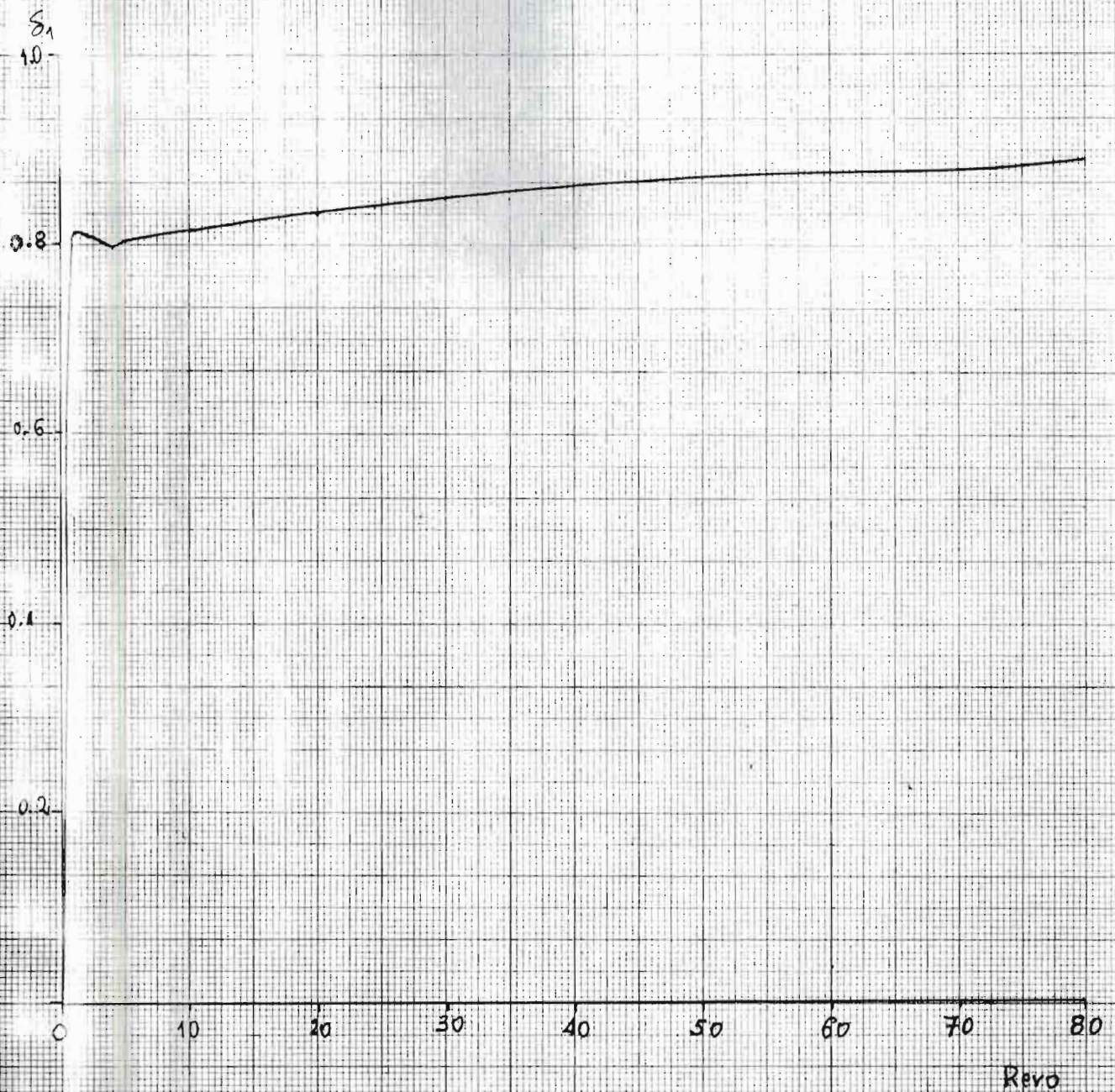


Figure 15 : Evolution de l'épaisseur de la couche limite
au voisinage du disque tournant en fonction des Reynolds

IV-2 DISCUSSION

Elle portera essentiellement sur :

- la validité des solutions
- les composantes de la vitesse
- l'influence du pas Δz sur les fonctions
- l'influence du critère d'arrêt ϵ
- l'influence de la précision de la machine
- l'évolution de l'épaisseur de la couche limite

1°) La méthode de Runge-Kutta présente avec la méthode des "tirs" afin d'améliorer la recherche des conditions manquantes à $z=0$, a permis d'atteindre des Reynolds de l'ordre de 80.

On note également pour les Reynolds inférieurs à 80, la sensibilité de la méthode aux conditions manquantes.

Ces conditions, soient $f''(0)$, $f'''(0)$, $g'(0)$ doivent être prises de plus en plus proche de la solution plus le Reynolds augmente (cf Tableaux IV-18, IV-19)

Pour de faibles variations des conditions manquantes le calcul peut soit diverger, soit conduire à des solutions qui diffèrent sur la 4^e décimale.

La vitesse de convergence est grande, pour les faibles Reynolds, lorsque les conditions manquantes sont proches de la solution.

Nous avons utilisé aux pages précédentes, la même

initialisation (cf. Tableaux $\bar{V}-2$ à $\bar{V}-17$) pour les Reynolds 0.1 à 13 et les calculs n'ont diverger qu'au delà du Reynolds 13.

Pour les Reynolds dépassant 80, les calculs divergent rapidement (au bout de quelques itérations) quelque soit l'initialisation (cf Tableaux $\bar{V}-18, 19$)

Etude à $Re_{00} =$	$f''(0)$, $f'''(0)$ et $g'(0)$ sont données en se basant sur les résultats à $Re_{00} =$	Caractéristiques du calcul par la MRK avec Tirs **
20	10	Converge
30	10	Diverge
30	20	converge
50	10, 20	Diverge
50	30	Converge
70	10, 20, 30	Diverge
70	50	Converge
75	70	Converge
80	10, 20, 30, 50, 70	Diverge
80	75	Converge
85, 90, 95	80	Diverge
100	10, 20, 30, 50, 70, 75, 80	Diverge
100	valeur fournie par le lissage des courbes de la fig.	diverge

Tableau $\bar{V}-18$

** Lorsque les calculs divergent, l'ordinateur affiche un message comme "ERREUR" puisque les résultats des produits (multiplication ou division) dépassent $10^{\pm 28}$ (over ou underflow)

En effet, pour les Reynolds 85 à 100, nous avons extrapolé pour trouver les valeurs respectives de $f''(0)$, $f'''(0)$ et $g'(0)$ à ces Reynolds par le lissage des courbes de la figure 8) par la méthode des moindres carrés *** (cf Tableau IV-19)

Re ₀	$f''(0)$	$f'''(0)$	$g'(0)$
50	74.37	-286	27.29
70	101.1	-402	37.99
75	109.1	-442.4	41.56
80	118.2	-490.9	45.66
85	128.6	-549.3	50.37
90	140.6	-619.1	55.80
95	154.5	-702.2	62.02
100	170.5	-800.2	69.13

Tableau IV - 19

*** Nous avons remplacé les courbes $f''(0)$, $f'''(0)$, $g'(0)$ en fonction de Re_0 de la figure 8 (et ce, pour $Re_0 \geq 50$) par des fonctions polynomiales de degré 3 (qui est le meilleur ajustement), dont les équations sont respectivement:

$$y = -45.62338 + 4.375012x - 5.686305 \times 10^{-2}x^2 + 3.472678 \times 10^{-4}x^3 \quad (\Sigma \text{erreurs au carré} = 4.184 \times 10^{-8})$$

$$y = 2.827333 \times 10^2 - 2.342716 \times 10^1 x + 3.558344 \times 10^{-1}x^2 - 2.298645 \times 10^{-3}x^3 \quad (\Sigma \text{erreurs au carré} = 4.220 \times 10^{-8})$$

$$y = -5.339040 + 1.147492x - 1.57621 \times 10^{-2}x^2 + 1.173431 \times 10^{-4}x^3 \quad (\Sigma \text{erreurs au carré} = 1.019 \times 10^{-8})$$

2°/ a/ On peut distinguer deux gammes de Reynolds :

- de 0 à 20 : caractérisée par une vitesse tangentielle quasiment linéaire.

- de 20 à 80 : caractérisée par un champ d'écoulement où la vitesse tangentielle qui présente une partie se rapprochant d'un palier positif au centre des deux disques. Le fluide a tendance à tourner en bloc dans cette zone comprise entre les couches limites^{***} qui se développent au voisinage des disques.

b/ . Au voisinage du disque fixe, $f'(z)$ est positive. Ainsi, la composante radiale u de la vitesse ($u = -\frac{r}{2} f'(z)$) est négative, ce qui veut dire que l'écoulement est dirigé vers l'intérieur. Elle s'annule (la composante radiale u) au voisinage du centre des disques : pas d'entraînement du fluide dans la direction radiale.

Au voisinage du disque tournant, $f'(z)$ étant négative, l'écoulement est vers l'extérieur.

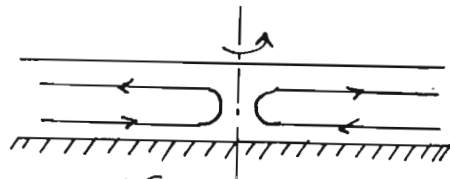


Fig 16

Direction de l'écoulement radial dans un plan

*** On définit l'épaisseur de la couche au voisinage du disque fixe et du disque tournant par la distance à la paroi où $f''(z) = 0$

- f (en relation avec la composante axiale w de la vitesse) est positive : le fluide est aspiré vers le haut
- Au voisinage du disque tournant, $g(z)$ tend vers $R\omega$: la composante tangentielle tend vers $r\omega$. Ce qui est à priori physiquement acceptable.

3°/

Nous avons pris pour nos calculs, $\Delta z = 0.025$.

Les résultats finaux diffèrent très peu pour différents pas Δz , - autant qu'ils soient inférieurs à 0.025 et ce, surtout pour les petits Reynolds.

Pour les grands Reynolds, si l'on prend $\Delta z = 0.1$, le temps de calcul se réduit considérablement mais les erreurs de troncature deviennent importantes et les résultats diffèrent considérablement si l'on passe de $\Delta z = 0.025$ à $\Delta z = 0.1$.

4°/ Dans nos calculs, nous avons fixé les critères d'arrêt pour f et f' - d'une part, et g d'autre part respectivement $\epsilon_1 = 0.1$ et $\epsilon_2 = 0.02$.

Le choix de ϵ_2 n'entre pas en ligne de compte pour les résultats finaux car l'erreur commise sur $g(1)$ est toujours inférieure à celle commise sur $f(1)$ et $f'(1)$ quel que soit le Reynolds considéré.

Le passage de $\epsilon_1 = 0.1$ à $\epsilon_1 = 0.01$ se produit sur une seule itération et les résultats ne diffèrent qu'à partir de la 4^e décimale.

5°/ Lorsque la précision passe de 14 chiffres significatifs à 4 chiffres significatifs, le nombre d'itérations varie peu et les résultats diffèrent à partir de la 3^e décimale. Ces différences résultent des erreurs de troncature importantes pour la précision 4.

D'ailleurs, les calculs divergent pour une précision de 2 chiffres significatifs.

6°/ L'évolution de la couche limite au voisinage du disque tournant est peu influencée par le Reynolds. Elle augmente faiblement lorsque Re_0 augmente (cf. fig 15)

Au voisinage du disque fixe, elle diminue quand Re_0 augmente et pour ceux tendant vers 80.

7°/

Lorsque Re_0 augmente, les moments des forces qui s'exercent sur les disques, lesquels sont proportionnels à $g'(0)$ et $g'(1)$, augmente aussi.

CONCLUSION

CONCLUSION

La méthode analytique, présentée, bien que fournissant une solution mathématiquement exacte ne donne des résultats convenables que pour des Reynolds faibles.

Il faut donc noter les limites d'application de la solution sous forme d'un développement en série, en raison du nombre limité de termes calculables.

Par contre, la méthode numérique de Runge Kutta, avec "Tirs", permet de trouver une solution numérique au problème pour des Reynolds de l'ordre de 80, au moyen d'un seul algorithme en changeant soit l'initialisation, soit le pas de calcul.

On pourrait aussi envisager un soufflage ou une aspiration uniforme à travers le disque fixe et poreux; et une vitesse angulaire $\Omega(t)$ quelconque, dépendante du temps, pour le disque tournant.

Une étude par la méthode des éléments finis et une étude expérimentale pourraient être intéressantes et servirient à mieux valider les résultats.

Cette étude nous aura permis de nous familiariser avec les techniques de traitements de systèmes d'équations différentielles non linéaires, que l'on rencontre toujours dans les études de l'écoulement d'un fluide régi par les équations de Navier-Stokes.

ANNEXE

ANNEXE

A. Réduction des équations de base

B1. Formulation de Runge Kutta

B2. ORGANIGRAMME SOMMAIRE DU PROGRAMME RUNGE

B3. ORGANIGRAMME DU SOUS PROGRAMME KUTTA

B4. ORGANIGRAMME DU SOUS PROGRAMME GAUSS

B5. ORGANIGRAMME DU SOUS PROGRAMME RUNGE KUTTA 4^e ORDRE

C. ORGANIGRAMME DU PROGRAMME : METHODE ITERATIVE DE NEWTON

D. LISTING DU PROGRAMME : METHODE DE RUNGE KUTTA AVEC "TIRS"

E. LISTING DU PROGRAMME : METHODE DES DIFFERENCES FINIES:

ANNEXE - A

Réduction des équations de base

Nous rappelons l'hypothèse de Von Kármán sur la composante axiale de la vitesse : w , soit $w = f(z)$.

De l'équation de continuité (I-5), nous tirons :

$$r \frac{\partial u}{\partial r} + u = -r \frac{\partial w}{\partial z} + w \frac{\partial r}{\partial z} \quad (A-1)$$

- Or $\frac{\partial r}{\partial z} = 0$ (le rayon r est indépendant de la distance axiale z)

Par suite, (A-1) devient :

$$\frac{\partial u}{\partial r} + \frac{u}{r} = - \frac{\partial w}{\partial z} \quad (A-2)$$

soit $\frac{\partial u}{\partial r} + \frac{u}{r} = - f'(z) \quad (A-3)$

(A-3) est une équation différentielle par rapport à r , linéaire, du 1^{er} ordre et -du 1^{er} degré, de la forme :

$$\frac{dy}{dx} + P(x)y = Q$$

où P est une fonction de la variable x et Q une fonction quelconque (-dans notre indépendance de la variable x)

- On a :

$$\frac{d}{dx} \left(y e^{\int P(x) dx} \right) = \frac{dy}{dx} e^{\int P(x) dx} + y P(x) e^{\int P(x) dx}$$

Soit :

$$\frac{d}{dx} (y e^{\int P(x) dx}) = \left(\frac{dy}{dx} + y P(x) \right) e^{\int P(x) dx}$$

$$\frac{d}{dx} (y e^{\int P(x) dx}) = Q e^{\int P(x) dx}$$

— d'où : $y e^{\int P(x) dx} = \int (Q e^{\int P(x) dx}) dx + \text{Constante}$

De la même manière (A-3) est de la forme :

$$\frac{\partial u}{\partial r} + P(r) u = Q$$

— avec $P(r) = \frac{1}{r}$ et $Q = -f'(z)$ (Q est indépendante de r).

Par conséquent :

$$u e^{\int \frac{dr}{r}} = \int (-f'(z) e^{\int \frac{dr}{r}}) dr + \text{une constante } f(r).$$

$$u e^{\log r} = -f'(z) \int e^{\log r} dr$$

$$ur = -\frac{r^2}{2} f'(z)$$

et finalement : $u = -\frac{r}{2} f'(z)$ (A-4)

Supposons que v est de la forme $v = rg(z)$

en tenant compte du fait que :

$$\text{à } z=1 \quad v = r a^2 \frac{\Omega}{\nu}$$

$$z=0 \quad v = 0$$

v est nécessairement de la forme $rg(z)$

Posons $u = -\frac{r}{2} f'(z)$, $v = rg(z)$ et $w = f(z)$ dans le système (I-5) - après élimination de la pression p entre les équations (I-5-1) et (I-5-3)

- élimination de p entre (I-5-1) et (I-5-3)

Dérivons l'équation (I-5-1) par rapport à z et l'équation (I-5-3) par rapport à r . Il vient:

$$\frac{\partial}{\partial z} \left(u \frac{\partial u}{\partial r} \right) + \frac{\partial}{\partial z} \left(w \frac{\partial u}{\partial z} \right) - \frac{\partial}{\partial z} \left(\frac{v^2}{r} \right) = -\frac{\partial^2 p}{\partial z \partial r} + \frac{\partial}{\partial z} \left[\frac{\partial^2 u}{\partial r^2} + \frac{\partial}{\partial r} \left(\frac{u}{r} \right) \right] + \frac{\partial^3 u}{\partial z^2} \quad (A-6)$$

et

$$\frac{\partial}{\partial r} \left(u \frac{\partial w}{\partial r} \right) + \frac{\partial}{\partial r} \left(w \frac{\partial w}{\partial z} \right) = -\frac{\partial^2 p}{\partial r \partial z} + \frac{\partial^3 w}{\partial r^3} + \frac{\partial}{\partial r} \left(\frac{1}{r} \frac{\partial w}{\partial r} \right) + \frac{\partial^3 w}{\partial r \partial z^2} \quad (A-7)$$

Soustrayons (A-6) de (A-7), nous obtenons:

$$\frac{\partial}{\partial z} \left(u \frac{\partial u}{\partial r} \right) + \frac{\partial}{\partial z} \left(w \frac{\partial u}{\partial z} \right) - \frac{\partial}{\partial z} \left(\frac{v^2}{r} \right) - \frac{\partial}{\partial r} \left(u \frac{\partial w}{\partial r} \right) - \frac{\partial}{\partial r} \left(w \frac{\partial w}{\partial z} \right) = \frac{\partial}{\partial z} \left[\frac{\partial^2 u}{\partial r^2} + \frac{\partial}{\partial r} \left(\frac{u}{r} \right) \right] + \frac{\partial^3 u}{\partial z^2} - \frac{\partial^3 w}{\partial r^3} - \frac{\partial}{\partial r} \left(\frac{1}{r} \frac{\partial w}{\partial r} \right) - \frac{\partial^3 w}{\partial r \partial z^2} \quad (A-8)$$

- Substitution de u, v, w dans (A-8)

$$\begin{aligned} \cdot u \frac{\partial u}{\partial r} &= \left(-\frac{r}{2} f'_z \right) \left(-\frac{1}{2} f'_z \right) = \frac{r}{4} (f'_z)^2 \\ \frac{\partial}{\partial z} \left(u \frac{\partial u}{\partial r} \right) &= \frac{\partial}{\partial z} \left(\frac{r}{4} (f'_z)^2 \right) = \frac{r}{2} f'_z f''_{z^2} \quad (A-9-1) \end{aligned}$$

$$\begin{aligned} \cdot w \frac{\partial u}{\partial z} &= f \left(-\frac{r}{2} f''_{z^2} \right) = -\frac{r}{2} f f''_{z^2} \\ \frac{\partial}{\partial z} \left(w \frac{\partial u}{\partial z} \right) &= -\frac{r}{2} \left(f'_z f''_{z^2} + f f'''_{z^2} \right) \quad (A-9-2) \end{aligned}$$

$$\cdot \frac{v^2}{r} = rg^2$$

$$\frac{\partial}{\partial z} \left(\frac{v^2}{r} \right) = 2rgg'_z \quad (\text{A-9-3})$$

$$\cdot u \frac{\partial w}{\partial r} = 0 \quad (\text{A-9-4})$$

$$\cdot w \frac{\partial w}{\partial z} = f f'_z \quad (\text{A-9})$$

$$\frac{\partial}{\partial r} \left(w \frac{\partial w}{\partial z} \right) = 0 \quad (\text{A-9-5})$$

$$\cdot \frac{\partial^2 u}{\partial r^2} = \frac{\partial^2}{\partial r^2} \left(-\frac{r}{2} f'_z \right) = -\frac{1}{2} \frac{\partial}{\partial r} \left(f'_z \right) = 0$$

$$\frac{\partial}{\partial r} \left(\frac{u}{r} \right) = \frac{\partial}{\partial r} \left(-\frac{1}{2} f'_z \right) = 0$$

$$\frac{\partial}{\partial z} \left[\frac{\partial^2 u}{\partial r^2} + \frac{\partial}{\partial r} \left(\frac{u}{r} \right) \right] = 0 \quad (\text{A-9-6})$$

$$\cdot \frac{\partial^3 u}{\partial z^3} = \frac{\partial^3}{\partial z^3} \left(-\frac{r}{2} f'_z \right) = -\frac{r}{2} f''''_z \quad (\text{A-9-7})$$

$$\cdot \frac{\partial^3 w}{\partial r^3} = 0 \quad (\text{A-9-8})$$

$$\frac{\partial}{\partial r} \left(\frac{1}{r} \frac{\partial w}{\partial r} \right) = \frac{\partial}{\partial r} \left(\frac{1}{r} \times 0 \right) \quad (\text{A-9-9})$$

$$\cdot \frac{\partial^3 w}{\partial r \partial z^2} = \frac{\partial}{\partial r} \left(\frac{\partial^2 w}{\partial z^2} \right) = 0 \quad (\text{A-9-10})$$

Avec les équations (A-8) et (A-9), il vient:

$$\frac{r}{2} f'_z f''_z - \frac{r}{2} \left[f'_z f''_z + f f'''_z \right] - 2rgg'_z = -\frac{r}{2} f''''_z,$$

$$-\frac{r}{2} f f'''_z - 2rgg'_z + \frac{r}{2} f''''_z = 0$$

$$\text{Finalement. } f''''_z - f f'''_z - 4gg'_z = 0 \quad (\text{A-10})$$

Substituons $u = -\frac{r}{2} \frac{f'}{fz}$, $v = rg$ et $w = f$ dans (I-5-2)

$$\cdot \frac{w \partial v}{\partial r} = -\frac{r}{2} \frac{f'}{fz} g \quad (A-11-1)$$

$$\cdot \frac{w \partial v}{\partial z} = r f g' \quad (A-11-2)$$

$$\cdot \frac{u v}{r} = \frac{(-\frac{r}{2} \frac{f'}{fz})(rg)}{r} = -\frac{r}{2} \frac{f'}{fz} g \quad (A-11-3) \quad (A-11)$$

$$\cdot \frac{\partial^2 v}{\partial r^2} = \frac{\partial^2}{\partial r^2} (rg) = \frac{\partial g}{\partial r} = 0 \quad (A-11-4)$$

$$\cdot \frac{\partial}{\partial r} \left(\frac{v}{r} \right) = \frac{\partial g}{\partial r} = 0 \quad (A-11-5)$$

$$\cdot \frac{\partial^2 v}{\partial z^2} = r g'' \quad (A-11-6)$$

Les équations (A-11) et (I-5-2) donnent:

$$-\frac{r}{2} \frac{f'}{fz} g + r f g' - \frac{r}{2} \frac{f'}{fz} g = r g'' \quad ,$$

$$-r \frac{f'}{fz} g + r f g' = r g''$$

$$\text{Finalement } f g' - \frac{f'}{fz} g - g'' = 0 \quad (A-12)$$

Nous aboutissons ainsi au système d'équations réduites suivantes

$$\begin{cases} f f''' + 4 g g' - f''^2 = 0 & (A-13-1) \\ f g' - \frac{f'}{fz} g - g'' = 0 & (A-13-2) \end{cases} \quad (A-13)$$

Avec les conditions aux limites:

$$\begin{cases} z=0 & f = f' = g = 0 & (A-14-1) \end{cases} \quad (A-14)$$

$$\begin{cases} z=1 & f = f' = 0 \text{ et } g = \text{Rero} & (A-14-2) \end{cases}$$

ANNEXE - B

METHODE DE RUNGE KUTTA
AVEC TIRS

ANNEXE-B1

Formulation Runge Kutta:

Dans le cadre de cette étude, nous utiliserons la formulation, 4^e ordre, compte tenu du fait, qu'elle offre une approximation suffisante pour cette analyse numérique.

La formulation centrale, Runge-Kutta, 4^e ordre est la suivante:

$$y_{i+1} = y_i + \frac{h}{6} (k_1 + 2k_2 + 2k_3 + k_4)$$

$$k_1 = f(x_i, y_i)$$

$$k_2 = f\left(x_i + \frac{1}{2}h, y_i + \frac{1}{2}hk_1\right)$$

$$k_3 = f\left(x_i + \frac{1}{2}h, y_i + \frac{1}{2}hk_2\right)$$

$$k_4 = f(x_i + h, y_i + hk_3)$$

— avec $h = x_{i+1} - x_i$

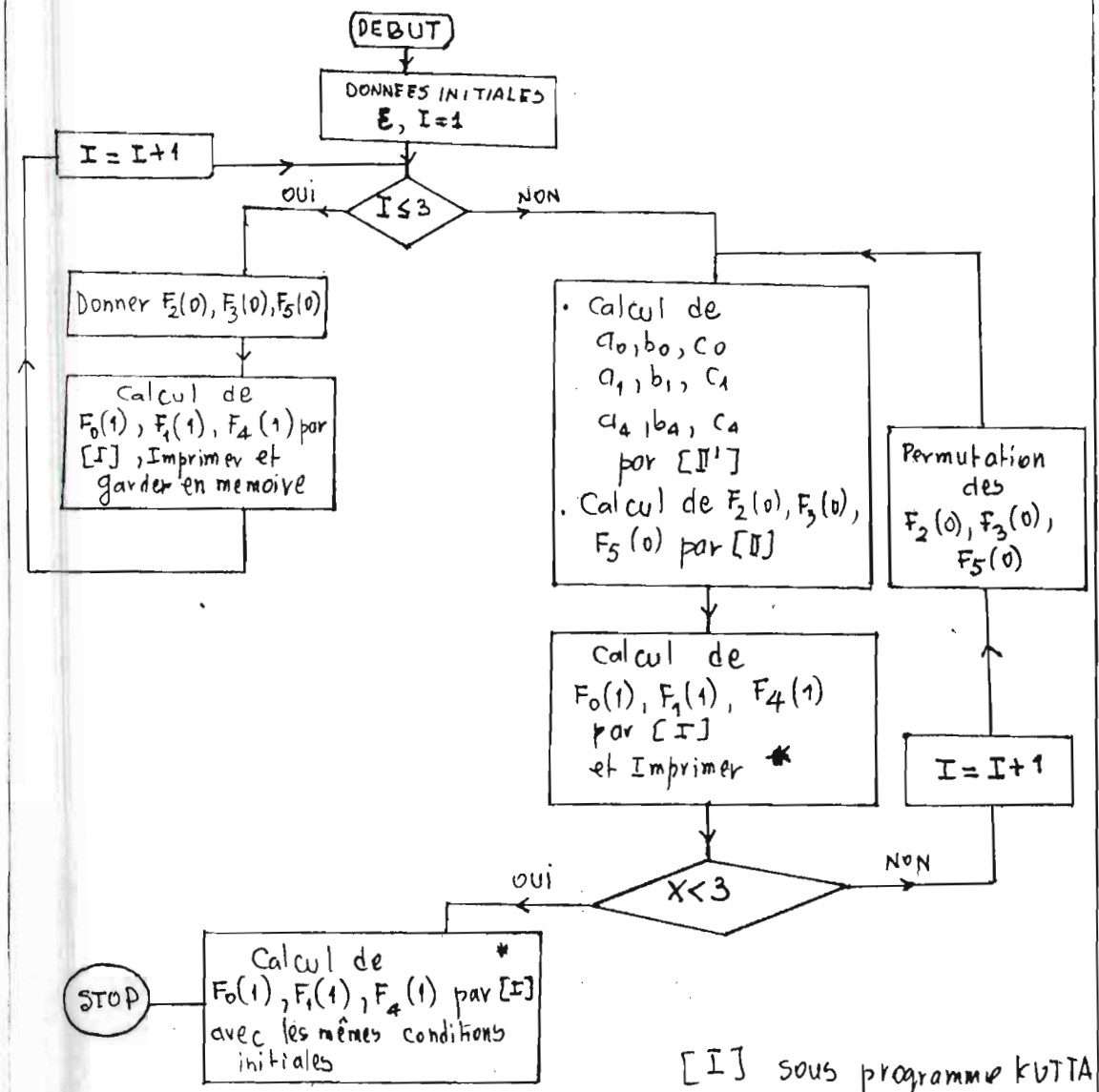
et $f(x, y) = \frac{dy}{dx} = y'$

ANNEXE B2

Méthode de Runge Kutta avec tirs :

Organigramme sommaire du programme

Principal (Runge)

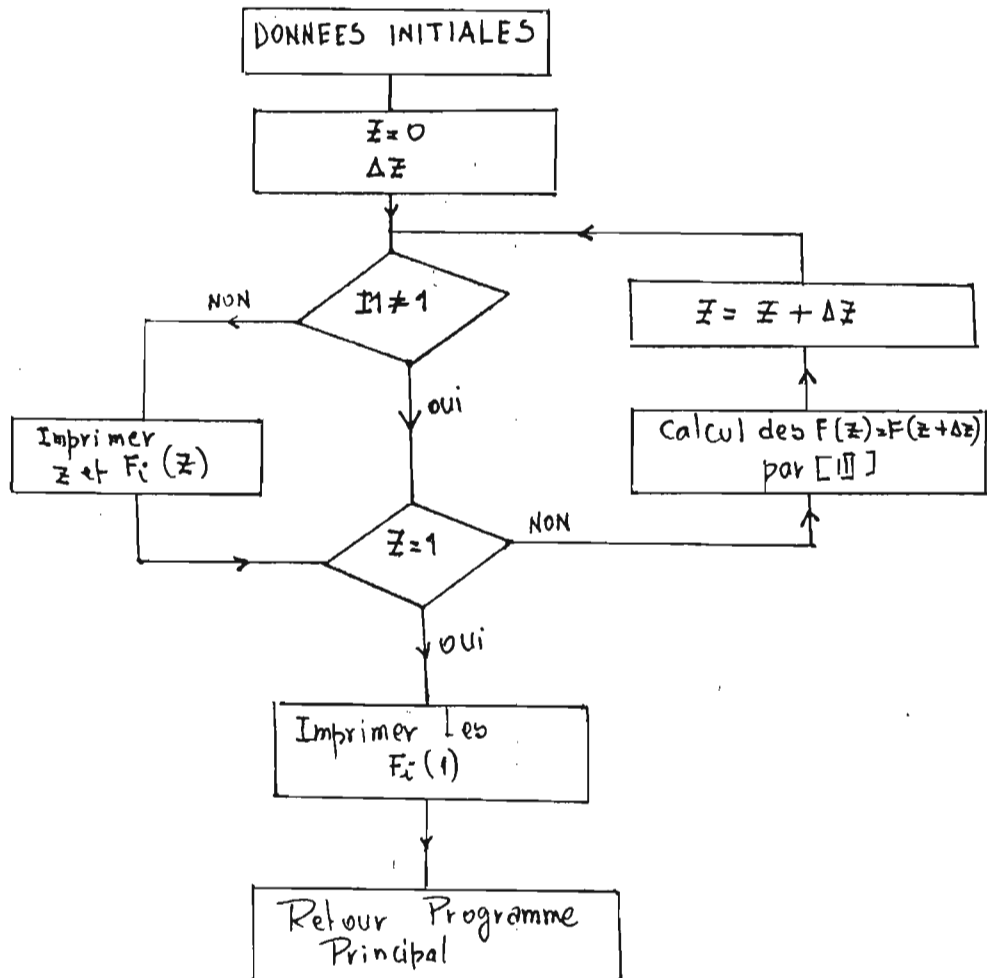


* Mettre flag (I1) pour imprimer ou non les résultats intermédiaires.
(voir organigramme page suivante)
I1 = 1 Imprimer
I1 ≠ 1 Ne pas imprimer

[I] sous programme KUTTA
[II] sous programme TIRS
[I'] sous programme GAUSS
x : erreur imposée sur f, f' et g en z=1

ANNEXE - B3

Methode de Runge Kutta avec tirs Organigramme du sous programme Kutta [1]

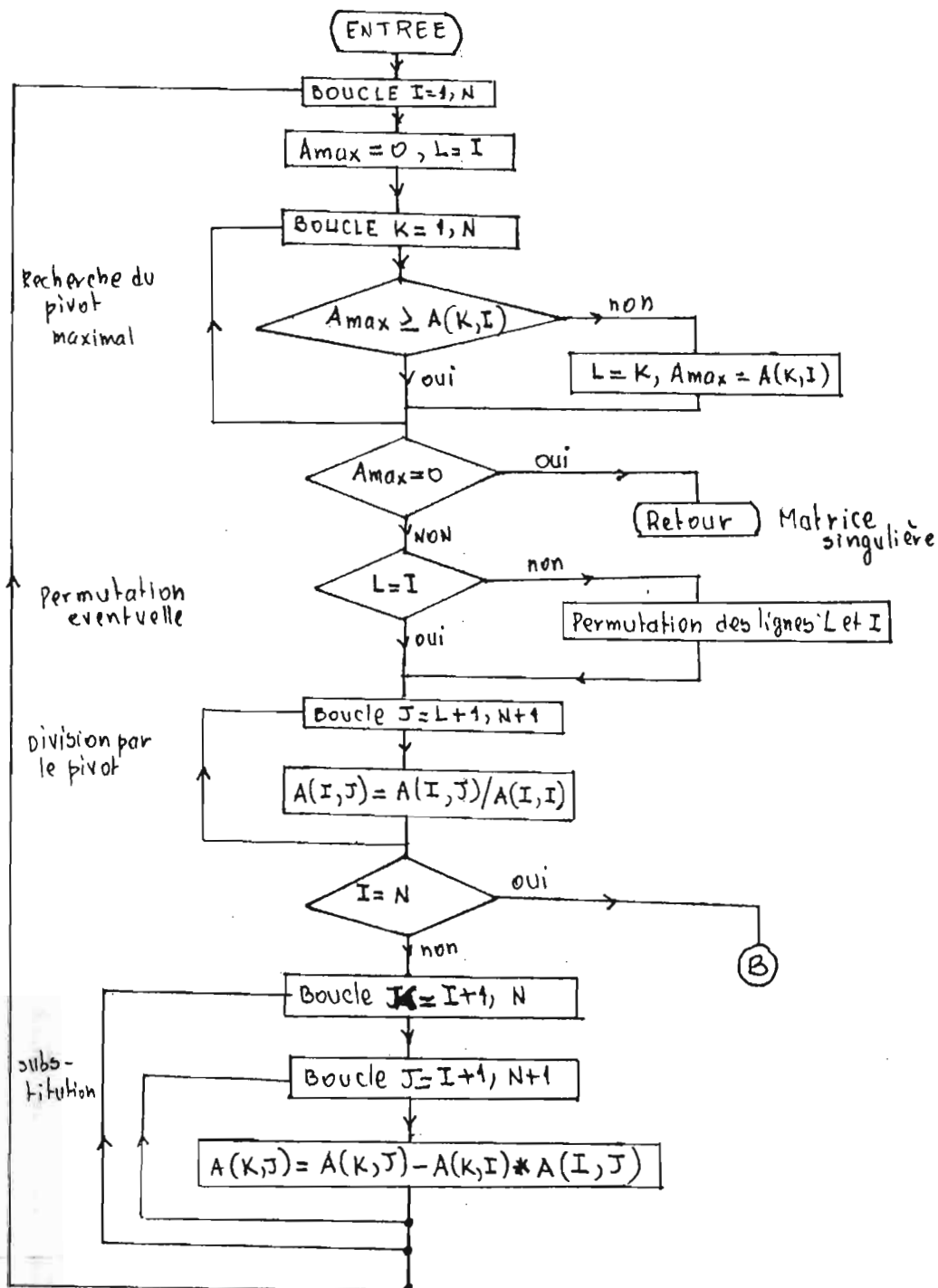


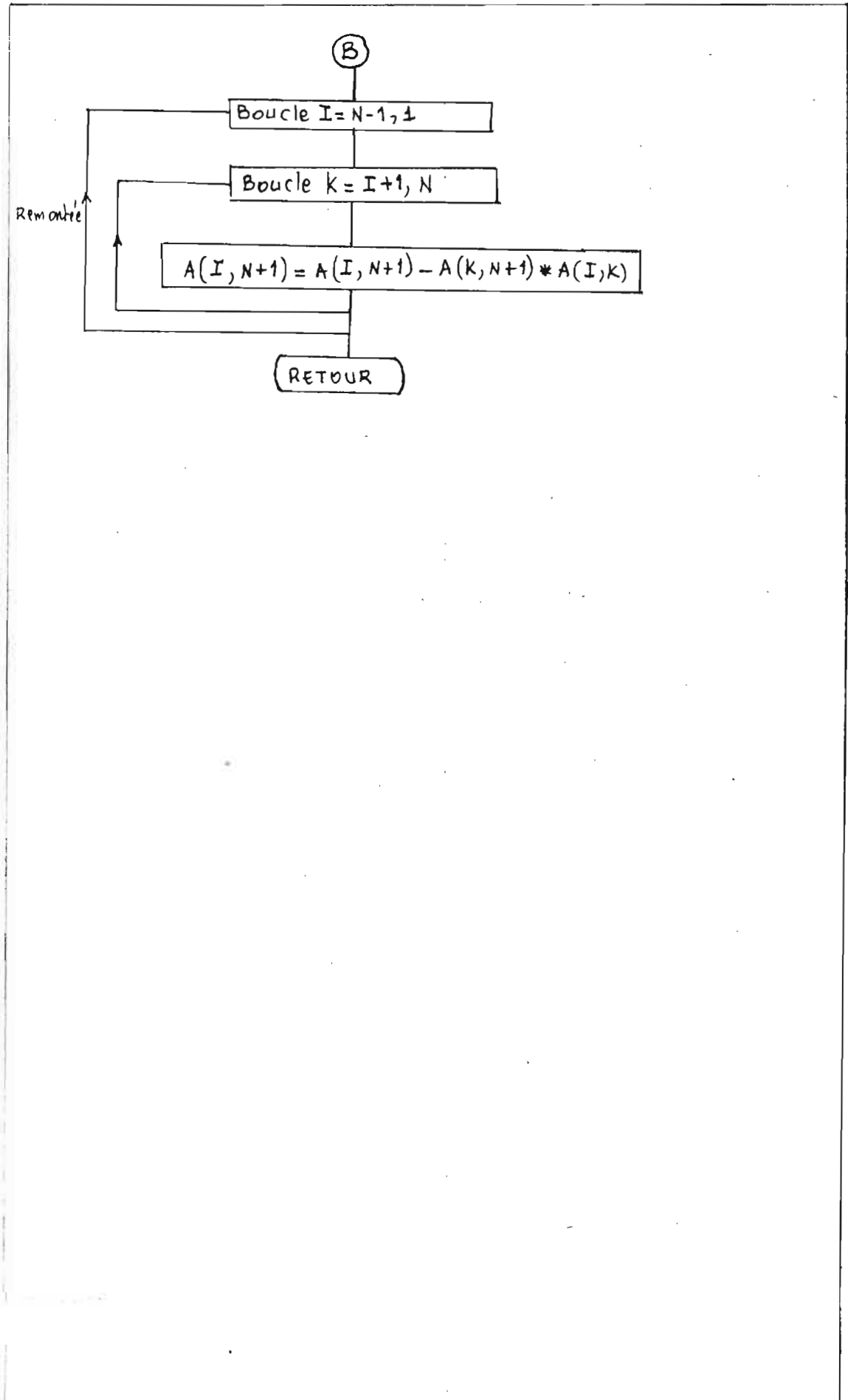
[1]: Par la méthode de Runge Kutta (4^e ordre)

ANNEXE_B4

Sous programme Gauss [II']

Resolution des systemes d'equations par
la methode de Gauss



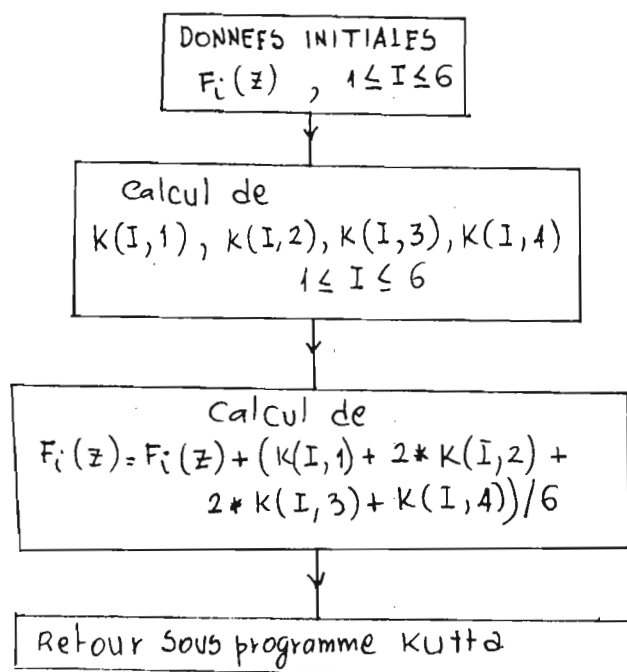


ANNEXE_B5

Methode de Runge Kutta avec tirs.

Organigramme sommaire du sous-programme [ii]:

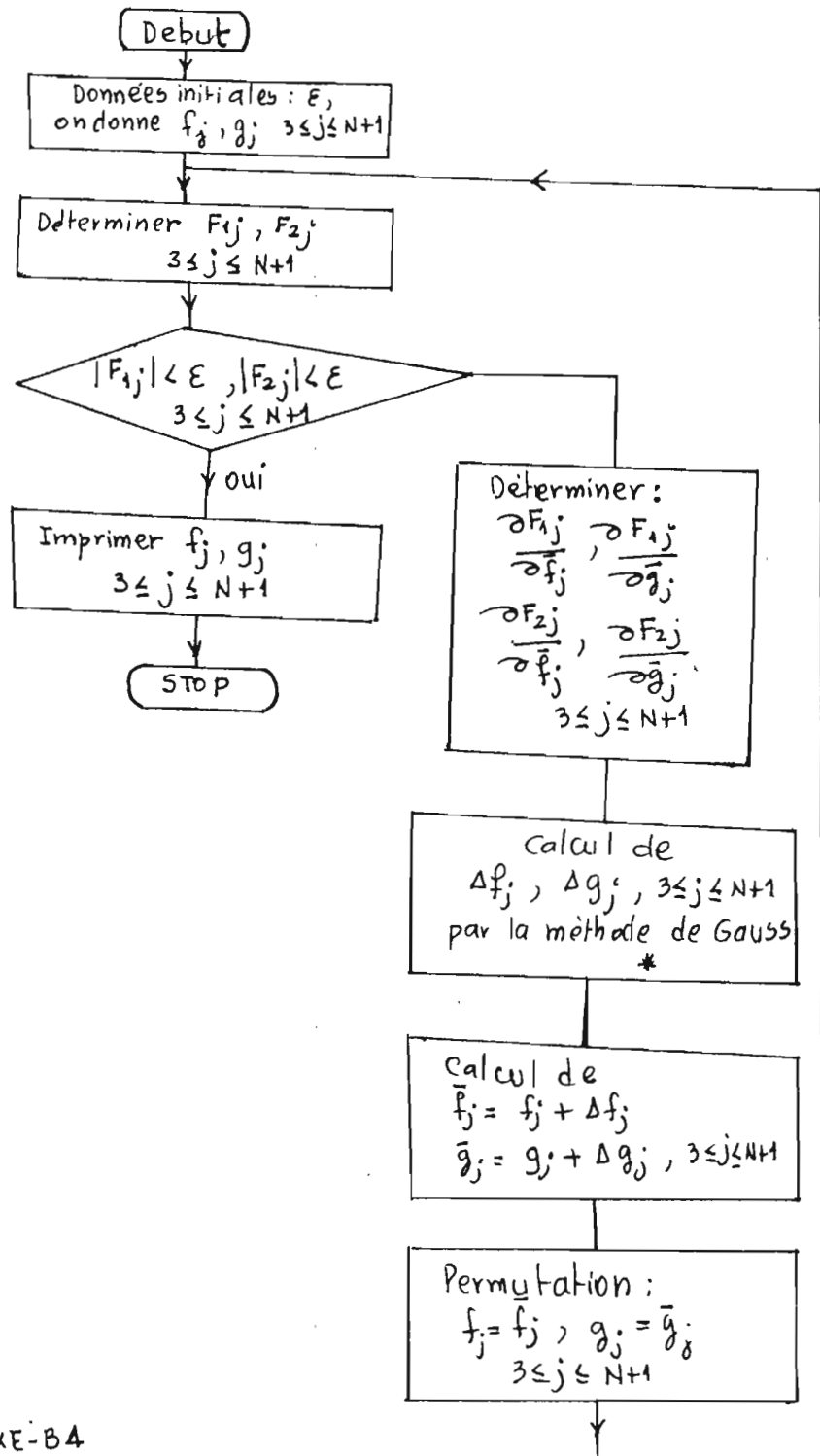
Runge Kutta 4^e ORDRE



ANNEXE_C

Méthode des différences finies:

Organigramme sommaire de la méthode itérative
de Newton



* Voir ANNEXE-B4

ANNEXE - D

LISTING DU PROGRAMME : METHODE
DE RUNGE KUTTA AVEC "TIRS"

```

00010 BEGIN
00020 REM METHODE RUNGE KUTTA EN STATIONNAIRE
00030 REM DESCRIPTION DES VARIABLES
00040 REM A...MATRICE DES COEFFICIENTS DANS LA RESOLUTION
00050 REM DES SYSTEMES D'EQUATIONS PAR LA METHODE GAUSS
00060 REM A9...PIVOT MAXIMAL DANS GAUSS
00070 REM B...MATRICES DES CONSTANTES DANS GAUSS
00080 REM C...MATRICE DES RESULTATS DANS GAUSS
00090 REM D...MATRICE DES FONCTIONS DU SYSTEMES AUX CONDITIONS
00100 REM INITIALES
00110 REM E...MATRICE DES FONCTIONS DU SYSTEMES AUX CONDI-
00120 REM TIONS FINALES
00130 REM E1...ERREUR QUE L'ON S'IMPOSE SUR f, f' EN Z=1
00140 REM (CRITERE D'ARRET)
00150 REM E2...ERREUR QUE L'ON S'IMPOSE SUR g EN Z=1 (CRITERE D'ARRET)
00160 REM F...MATRICE DES SIX FONCTIONS DE TRANSFORMATION DU
00170 REM SYSTEME: F(1), F(2), F(3), F(4), F(5), F(6) REPRESENTANT
00180 REM RESPECTIVEMENT f, f', f'', f''', g, g'
00190 REM H...PAS DE DISCRETISATION
00200 REM I...COMPTEUR GENERAL
00210 REM I1...VARIABLE DE TEST POUR IMPRESSION
00220 REM I2...COMPTEUR
00230 REM I3...COMPTEUR DANS GAUSS
00240 REM J...COMPTEUR GENERAL
00250 REM J2...COMPTEUR DANS GAUSS
00260 REM K...MATRICE DES COEFFICIENTS DE LA FORMULE DE
00270 REM RECURRENCE DE RUNGE KUTTA
00280 REM K1...VARIABLE D'INDEXATION DES ELEMENTS DE LA
00290 REM MATRICE K
00300 REM K2...COMPTEUR DANS GAUSS
00310 REM L...COMPTEUR
00320 REM L1...COMPTEUR DANS GAUSS
00330 REM M...COMPTEUR
00340 REM N...ORDRE DU SYSTEME D'EQUATIONS LINEAIRES DANS
00350 REM GAUSS
00360 REM N1...VARIABLE D'INDEXATION DANS GAUSS
00370 REM P...PRECISION DE LA MACHINE
00380 REM P1...COMPTEUR DANS GAUSS
00390 REM R...MATRICE POUR STOCKER LES ELEMENTS DE D
00400 REM R0...NOMBRE DE REYNOLDS
00410 REM T...VARIABLE TEMPORAIRE DE PERMUTATION DANS GAUSS
00420 REM S...MATRICE POUR STOCKER F(1), F(2), F(3)
00430 REM W...MATRICE DE FONCTIONS POUR LE CALCUL DES ELE-
00440 REM MENTS DE K
00450 REM X...MATRICE DES FONCTIONS POUR LA RESOLUTION
00460 REM DU SYSTEME DANS LA METHODE DES TIRS
00470 REM Y...MATRICE DES CONSTANTES POUR LA RESOLUTION DU
00480 REM SYSTEME D'EQUATIONS DANS LA METHODE DES TIRS
00490 REM Z...VARIABLE
00500 REM DEFINITION DES MATRICES
00510 DIM A(3,4), C(3,3), D(3,3), E(3,3), K(4,6), X(3,3), Y(3,3)
00520 DIM B(3), F(6), R(3), S(3), W(6)
00530 DIM A$(109, "-")

```

```

00540 REM PROGRAMME RUNGE
00550 PRINT "INTRODUIRE EN PREMIER LIEU UNE PRECISION DE LA ",
00560 PRINT "MACHINE DE 14"
00570 INPUT (0,ERR=00570) "PRECISION DE LA MACHINE",P
00580 PRECISION P
00590 PRINT "INTRODUIRE LES CRITERES D'ARRET"
00600 INPUT (0,ERR=00600) "CRITERE D'ARRET POUR f, f'",E1
00610 INPUT (0,ERR=00610) "CRITERE D'ARRET POUR g",E2
00620 INPUT (0,ERR=00620) "PAS DE DISCRETISATION",H
00630 PRINT "INTRODUIRE LES DONNEES INITIALES"
00640 CLOSE (6)
00650 OPEN (6) "LP"
00660 PRINT (6) "PRECISION P EST",P
00670 PRINT (6) "LES CRITERES D'ARRET SONT:", "E1=",E1," ",
00680 PRINT (6) "E2=",E2
00690 PRINT (6) "LE PAS DE DISCRETISATION EST:", "H=",H
00700 INPUT (0,ERR=00700) "NOMBRE DE REYNOLDS",R0
00710 PRINT (6) "R0=",R0
00720 PRINT (6) "LES DONNEES INITIALES(1eres APPROXIMATIONS) ",
00730 PRINT (6) "SONT"
00740 LET I=1
00750 INPUT (0,ERR=00750) "f'(0)=?",D(I,1)
00760 INPUT (0,ERR=00760) "f''(0)=?",D(I,2)
00770 INPUT (0,ERR=00770) "g'(0)=?",D(I,3)
00780 ON I-1 GOTO 00790,00810,00830
00790 PRINT (6) "-----1ere ITERATION-----"
00800 GOTO 00840
00810 PRINT (6) "-----2eme ITERATION-----"
00820 GOTO 00840
00830 PRINT (6) "-----3eme ITERATION-----"
00840 PRINT (6) "f'(0)=",D(I,1)
00850 PRINT (6) "f''(0)=",D(I,2)
00860 PRINT (6) "g'(0)=",D(I,3)
00870 LET R(1)=D(I,1)
00880 LET R(2)=D(I,2)
00890 LET R(3)=D(I,3)
00900 LET I1=0; REM FLAG D'IMPRESSION
00910 GOSUB 01220
00920 LET E(I,1)=F(1)
00930 LET E(I,2)=F(2)
00940 LET E(I,3)=F(5)
00950 LET I=I+1
00960 IF I<=3 THEN GOTO 00750
00970 GOSUB 01760
00980 GOSUB 01220
00990 LET S(1)=F(1)
01000 LET S(2)=F(2)
01010 LET S(3)=F(5)
01020 PRINT "AFFICHAGE DE L'ERREUR SUR f ET f' :",ABS(S(1)),
01030 PRINT " ",ABS(S(2))
01040 PRINT "AFFICHAGE DE L'ERREUR SUR g :",ABS((S(3)-R0)/R0)
01050 IF ABS((S(3)-R0)/R0)>E2 THEN GOTO 01070
01060 IF ABS(S(1))<=E1 AND ABS(S(2))<=E1 THEN GOTO 01170
01070 LET I=I+1
01080 PRINT I

```

```

01090 REM PERMUTATION
01100 LET D(1,1)=D(2,1),D(1,2)=D(2,2),D(1,3)=D(2,3)
01110 LET D(2,1)=D(3,1),D(2,2)=D(3,2),D(2,3)=D(3,3)
01120 LET D(3,1)=R(1),D(3,2)=R(2),D(3,3)=R(3)
01130 LET E(1,1)=E(2,1),E(1,2)=E(2,2),E(1,3)=E(2,3)
01140 LET E(2,1)=E(3,1),E(2,2)=E(3,2),E(2,3)=E(3,3)
01150 LET E(3,1)=S(1),E(3,2)=S(2),E(3,3)=S(3)
01160 GOTO 00970
01170 LET I1=1
01180 GOSUB 01220
01190 PRINT (6) a(1),A$
01200 PRINT (6) "NOMBRE D'ITERATIONS NECESSAIRES:", "I=", I
01210 END

01220 REM SOUS PROGRAMME KUTTA
01230 LET Z=0
01240 FOR J=1 TO 6
01250 LET F(J)=0
01260 NEXT J
01270 LET F(3)=R(1),F(4)=R(2),F(6)=R(3)
01280 IF I1<>1 THEN GOTO 01430
01290 PRINT Z,F(1),F(2),F(3),F(4),F(5),F(6)
01300 IF Z<>0 THEN GOTO 01390
01310 PRINT (6)
01320 PRINT (6)
01330 PRINT (6) a(1),A$
01340 PRINT (6) "!",a(3),"Z",a(6),"!",a(13),"f",a(24),"!",
01350 PRINT (6) a(31),"f'",a(41),"!",a(48),"f'",a(58),"!",
01360 PRINT (6) a(65),"f'",a(75),"!",a(82),"g",a(92),"!",
01370 PRINT (6) a(99),"g'",a(110),"!"
01380 PRINT (6) a(1),A$
01390 PRINT (6) "!",a(1),Z,a(6),"!",a(7),F(1),a(24),"!",a(25),
01400 PRINT (6) F(2),a(41),"!",a(42),F(3),a(58),"!",a(59),F(4),
01410 PRINT (6) a(75),"!",a(76),F(5),a(92),"!",a(93),F(6),
01420 PRINT (6) a(110),"!"
01430 IF Z=1 THEN GOTO 01470
01440 GOSUB 01480
01450 LET Z=Z+H
01460 GOTO 01280
01470 RETURN

```



```
01480 REM SOUS PROGRAMME RUNGE KUTTA 4e ORDRE
01490 LET H2=H/2
01500 LET K1=1
01510 FOR J=1 TO 6
01520 LET W(J)=F(J)
01530 NEXT J
01540 LET J=1
01550 LET I2=1
01560 LET K(K1,1)=W(2)*I2
01570 LET K(K1,2)=W(3)
01580 LET K(K1,3)=W(4)
01590 LET K(K1,4)=W(1)*W(4)+4*W(5)*W(6)
01600 LET K(K1,5)=W(6)
01610 LET K(K1,6)=W(1)*W(6)-W(2)*W(5)
01620 LET W(I2)=F(I2)+H2*K(K1,I2)*J
01630 LET I2=I2+1
01640 IF I2<=6 THEN GOTO 01620
01650 LET K1=K1+1
01660 IF K1<=3 THEN GOTO 01550
01670 LET J=J+1
01680 IF J<=2 THEN GOTO 01550
01690 LET F(1)=F(1)+H*(K(1,1)+K(4,1)+2*(K(2,1)+K(3,1)))/6
01700 LET F(2)=F(2)+H*(K(1,2)+K(4,2)+2*(K(2,2)+K(3,2)))/6
01710 LET F(3)=F(3)+H*(K(1,3)+K(4,3)+2*(K(2,3)+K(3,3)))/6
01720 LET F(4)=F(4)+H*(K(1,4)+K(4,4)+2*(K(2,4)+K(3,4)))/6
01730 LET F(5)=F(5)+H*(K(1,5)+K(4,5)+2*(K(2,5)+K(3,5)))/6
01740 LET F(6)=F(6)+H*(K(1,6)+K(4,6)+2*(K(2,6)+K(3,6)))/6
01750 RETURN
```

```
01760 REM SOUS PROGRAMME TIRS
01770 FOR L=1 TO 3
01780 FOR J=1 TO 3
01790 LET X(L,J)=D(L,J)
01800 LET Y(L,J)=E(L,J)
01810 NEXT J
01820 NEXT L
01830 LET L=1
01840 FOR J=1 TO 3
01850 LET B(J)=Y(J,L)
01860 FOR M=1 TO 3
01870 LET A(J,M)=X(J,M)
01880 NEXT M
01890 NEXT J
01900 LET A(1,4)=B(1),A(2,4)=B(2),A(3,4)=B(3)
01910 LET N=3
01920 GOSUB 02060
01930 LET C(L,1)=A(1,4),C(L,2)=A(2,4),C(L,3)=A(3,4)
01940 LET L=L+1
01950 IF L<=3 THEN GOTO 01840
01960 LET B(1)=0,B(2)=0,B(3)=R0
01970 FOR J=1 TO 3
01980 FOR M=1 TO 3
01990 LET A(J,M)=C(J,M)
02000 NEXT M
02010 NEXT J
02020 LET A(1,4)=B(1),A(2,4)=B(2),A(3,4)=B(3)
02030 GOSUB 02060
02040 LET R(1)=A(1,4),R(2)=A(2,4),R(3)=A(3,4)
02050 RETURN
```

```
02060 REM RESOLUTION DE SYSTEMES D'EQUATIONS LINEAIRES
02070 REM PAR LA METHODE DE GAUSS
02080 LET N1=N+1
02090 FOR I3=1 TO N
02100 REM RECHERCHE PIVOT MAXIMAL
02110 LET A9=0,L1=I3
02120 FOR K2=I3 TO N
02130 IF A9>=ABS(A(K2,I3)) THEN GOTO 02150
02140 LET L1=K2,A9=ABS(A(K2,I3))
02150 NEXT K2
02160 IF A9=0 THEN GOTO 02460
02170 REM PERMUTATION EVENTUELLE
02180 IF L1=I3 THEN GOTO 02250
02190 FOR J2=I3 TO N1
02200 LET T=A(I3,J2)
02210 LET A(I3,J2)=A(L1,J2)
02220 LET A(L1,J2)=T
02230 NEXT J2
02240 REM DIVISION PAR LE PIVOT
02250 LET P1=I3+1
02260 FOR J2=P1 TO N1
02270 LET A(I3,J2)=A(I3,J2)/A(I3,I3)
02280 NEXT J2
02290 IF I3=N THEN EXITTO 02370
02300 REM SUBSTITUTION
02310 FOR K2=P1 TO N
02320 FOR J2=P1 TO N1
02330 LET A(K2,J2)=A(K2,J2)-A(K2,I3)*A(I3,J2)
02340 NEXT J2
02350 NEXT K2
02360 NEXT I3
02370 REM REMONTEE
02380 FOR L1=2 TO N
02390 LET I3=N-L1+1
02400 LET P1=I3+1
02410 FOR K2=P1 TO N
02420 LET A(I3,N1)=A(I3,N1)-A(K2,N1)*A(I3,K2)
02430 NEXT K2
02440 NEXT L1
02450 GOTO 02480
02460 PRINT "MATRICE SINGULIERE"
02470 STOP
02480 RETURN
02490 CLOSE (6)
```

ANNEXE - E

LISTING DU PROGRAMME : METHO-
DE DES DIFFERENCES FINIES

00010 BEGIN
00020 REM ...METHODE DES DIFFERENCES FINIES EN STATIONNAIRE
00030 REM ...DESCRIPTION DES VARIABLES
00040 REM A...MATRICE DES COEFFICIENTS DANS LA METHODE DE NEWTON
00050 REM A0...PIVOT MAXIMALDANS GAUSS
00060 REM B...MATRICE DES FONCTIONS F1J ET F2J DANS LA METHODE DE NEWTON
00070 REM E...PRECISION
00080 REM F,G...MTRICES RESPECTIVES DES INCONNUES fj,gj
00090 REM H...LONGUEUR D'UN SEGMENT
00100 REM I...COMPTEUR
00110 REM J...COMPTEUR GENERAL
00120 REM J1...COMPTEUR DANS GAUSS
00130 REM K...COMPTEUR DANS GAUSS
00140 REM L...COMPTEUR DANS GAUSS
00150 REM M...ORDRE DU SYSTEME D'EQUATIONS LINEAIRES
00160 REM 1...VARIABLE D'INDEXATION DANS GAUSS
00170 REM N...NOMBRE DE SEGMENTS SUR LE SCHEMA EN DIFFERENCES FINIES
00180 REM P1...COMPTEUR DANS GAUSS
00190 REM R...MATRICE DES RESULTATS DANS GAUSS
00200 REM T...VARIABLE TEMPORAIRE DE PERMUTATION DANS GAUSS
00210 REM Z...VARIABLE


```

00220 REM PROGRAMME PRINCIPAL
00230 PRECISION 14
00240 REM DONNEES INITIALES
00250 INPUT "NOMBRE DE DIVISIONS",N,"CRITERE D'ARRET",E
00260 LET M=2*(N-1)
00270 REM DEFINITION DES MATRICES
00280 DIM A(2*(N+1),2*(N+1))
00290 DIM B(2*(N+1)),F(N+3),G(N+2),R(M)
00300 LET H=1/N
00310 OPEN (6) "LP"
00320 INPUT "NOMBRE DE REYNOLDS",R0
00330 PRINT (6) "R0=",R0
00340 PRINT (6) "LES 1eres APPROXIMATIONS fj,gj,3<=j<=N+1,SONT"
00350 PRINT "-----fj-----","-----gj-----"
00360 FOR J=3 TO N+1
00370 INPUT "fj,3<=j<=N+1",F(J),"gj3<=j<=N+1",G(J)
00380 PRINT (6) F(J)," ",G(J)
00390 NEXT J
00400 CLOSE (6)
00410 LET F(1)=F(3)
00420 LET F(2)=0
00430 LET F(N+2)=0
00440 LET G(2)=0
00450 LET G(N+2)=R0
00460 LET F(N+3)=F(N+1)
00470 PRINT "AFFICHAGE DES VALEURS DE B(J-2) ET B(N+J-3)"
00480 FOR J=3 TO N+1
00490 LET B(J-2)=F(J)*(F(J-2)-F(J+2))+2*(F(J+1)-F(J-1)))/(2*H**3)+2*G(J)*(G(J-
00490 : 1)-G(J+1))/H+(F(J-2)+F(J+2)-4*(F(J-1)+F(J+1))+6*F(J))/H**4
00500 LET B(N+J-3)=F(J)*(G(J+1)-G(J-1))/(2*H)+G(J)*(F(J+2)-F(J-2))+8*(F(J-1)-F
00500 : (J+1)))/(12*H)+(2*G(J)-G(J-1)-G(J+1))/H**2
00510 PRINT B(J-2),B(N+J-3)
00520 NEXT J
00530 FOR J=3 TO N+1
00540 IF ABS(B(J-2))<=E AND ABS(B(N+J-3))<=E THEN GOTO 00560
00550 EXITTO 00580
00560 NEXT J
00570 GOTO 00980

```

```

00580 REM DETERMINER DF1j/Dfj,DF1j/Dgj
00590 FOR J=3 TO N+1
00600 IF J=3 THEN GOTO 00660
00610 IF J=4 THEN GOTO 00640
00620 LET A(J-2,J-4)=F(J)/(2*H**3)+1/H**4
00630 LET A(N+J-3,J-4)=(-G(J))/(12*H)
00640 LET A(J-2,J-3)=(-F(J))/H**3-4/H**4
00650 LET A(N+J-3,J-3)=2*G(J)/(3*H)
00660 LET A(J-2,N+J-4)=2*G(J)/H
00670 LET A(N+J-3,N+J-4)=(-F(J))/(2*H)-1/H**2
00680 LET A(J-2,J-2)=(F(J-2)-F(J+2)+2*(F(J+1)-F(J-1)))/(2*H**3)+6/H**4
00690 LET A(J-2,N+J-3)=2*(G(J-1)-G(J+1))/H
00700 LET A(N+J-3,J-2)=(G(J+1)-G(J-1))/(2*H)
00710 LET A(N+J-3,N+J-3)=(F(J+2)-F(J-2)+8*(F(J-1)-F(J+1)))/(12*H)+2/H**2
00720 IF J=N+1 THEN GOTO 00830
00730 LET A(J-2,J-1)=F(J)/H**3-4/H**4
00740 LET A(J-2,N+J-2)=(-2)*G(J)/H
00750 LET A(N+J-3,J-1)=(-2)*G(J)/(3*H)
00760 LET A(N+J-3,N+J-2)=F(J)/(2*H)-1/H**2
00770 IF J=N THEN GOTO 00830
00780 LET A(J-2,J)=(-F(J))/(2*H**3)+1/H**4
00790 LET A(N+J-3,J)=G(J)/(12*H)
00800 LET A(1,N-1)=0
00810 IF J=N-1 THEN GOTO 00830
00820 LET A(N+J-3,N-1)=0
00830 NEXT J

```

```
00840 REM CALCUL Dfj,Dgj PAR LA METHODE DE GAUSS
00850 FOR J=1 TO 2*(N-1)
00860 LET A(J,2*N-1)=-B(J)
00870 NEXT J
00880 GOSUB 01120
00890 REM :fj*=fj+Dfj, gj*=gj+Dgj, fj*,gj*:solutions exactes
00900 REM CALCUL DE fj*,gj* ET PERMUTATION
00910 PRINT "AFFICHAGE DE fj*,gj* APRES LA PERMUTATION"
00920 FOR J=3 TO N+1
00930 LET F(J)=F(J)+R(J-2)
00940 LET G(J)=G(J)+R(N+J-3)
00950 PRINT F(J),G(J)
00960 NEXT J
00970 GOTO 00410
00980 REM IMPRESSION
00990 LET Z=0
01000 PRINT "Z", " ", "f", " ", "g"
01010 OPEN (6) "LP"
01020 PRINT (6) "Z", " ", "f", " ", "g"
01030 CLOSE (6)
01040 FOR J=2 TO N+2
01050 PRINT Z, " ", F(J), " ", G(J)
01060 OPEN (6) "LP"
01070 PRINT (6) Z, " ", F(J), " ", G(J)
01080 CLOSE (6)
01090 LET Z=Z+H
01100 END
```

```
01120 REM RESOLUTION DE SYSTEMES D'EQUATIONS LINEAIRES PAR LA METHODE DE GAUS
01120 S
01130 LET M1=M+1
01140 FOR I=1 TO M
01150 REM RECHERCHE PIVOT MAXIMAL
01160 LET A0=0,L=I
01170 FOR K=I TO M
01180 IF A0>=ABS(A(K,I)) THEN GOTO 01200
01190 LET L=K,A0=ABS(A(K,I))
01200 NEXT K
01210 IF A0=0 THEN GOTO 01570
01220 REM PERMUTATION EVENTUELLE
01230 IF L=I THEN GOTO 01300
01240 FOR J1=I TO M1
01250 LET T=A(I,J1)
01260 LET A(I,J1)=A(L,J1)
01270 LET A(L,J1)=T
01280 NEXT J1
01290 REM DIVISION PAR LE PIVOT
01300 LET P1=I+1
01310 FOR J1=P1 TO M1
01320 LET A(I,J1)=A(I,J1)/A(I,I)
01330 NEXT J1
01340 IF I=M THEN EXITTO 01420
```

```
01350 REM SUBSTITUTION
01360 FOR K=P1 TO M
01370 FOR J1=P1 TO M1
01380 LET A(K,J1)=A(K,J1)-A(K,I)*A(I,J1)
01390 NEXT J1
01400 NEXT K
01410 NEXT I
01420 LET R(M)=A(M,M1)
01430 REM REMONTEE
01440 FOR L=2 TO M
01450 LET I=M-L+1
01460 LET P1=I+1
01470 FOR K=P1 TO M
01480 LET A(I,M1)=A(I,M1)-A(K,M1)*A(I,K)
01490 NEXT K
01500 LET R(I)=A(I,M1)
01510 NEXT L
01520 PRINT "LES RESULTATS DE LA RESOLUTION DU SYSTEME D'EQUATIONS SONT"
01530 FOR I=1 TO M
01540 PRINT R(I)
01550 NEXT I
01560 GOTO 01590
01570 PRINT "MATRICE SINGULIERE"
01580 EXITTO 01600
01590 RETURN
```


BIBLIOGRAPHIE

[1] P. VAILLANT

'APPLICATION DE LA METHODE DES ELEMENTS FINIS AUX ECOULEMENTS RADIAUX'
(Thèse de Troisième Cycle) Université de VALANCIENNES et du HAINAUT CAMBRESIS.

[2] P. FLORENT, N. D. NGUYEN, D. VO NGOC

'Journal de Mécanique', Vol. 12, N° 4, Décembre 73

[3] DINH VO NGOC

'Notes personnelles'

[4] HERMANN SCHLICHTING

'Boundary Layer Theory' - 6^e édition
Mc Graw-Hill, 1968

[5] M.L. James, G.M. Smith, J.C. Wolford

'Applied Numerical Methodes for Digital Computation with Fortran'
International Textbook Company, 1967

[6] E. STIETEL

'INTRODUCTION A LA MATHEMATIQUE NUMERIQUE'
DUNOD, 1967

[7] James W. DAILY, DONALD R.F. HERLEMAN

'Fluid Dynamics'

ADDISON-WESLEY PUBLISHING COMPANY, INC.